

11-168

АЗӘРБАЙЧАН ССР ЕЛМЛӘР АКАДЕМИЈАСЫ  
АКАДЕМИЯ НАУК АЗЕРБАЙДЖАНСКОЙ ССР

---

# МӘРУЗӘЛӘР ДОКЛАДЫ

ТОМ XXV ЧИЛД

12

---

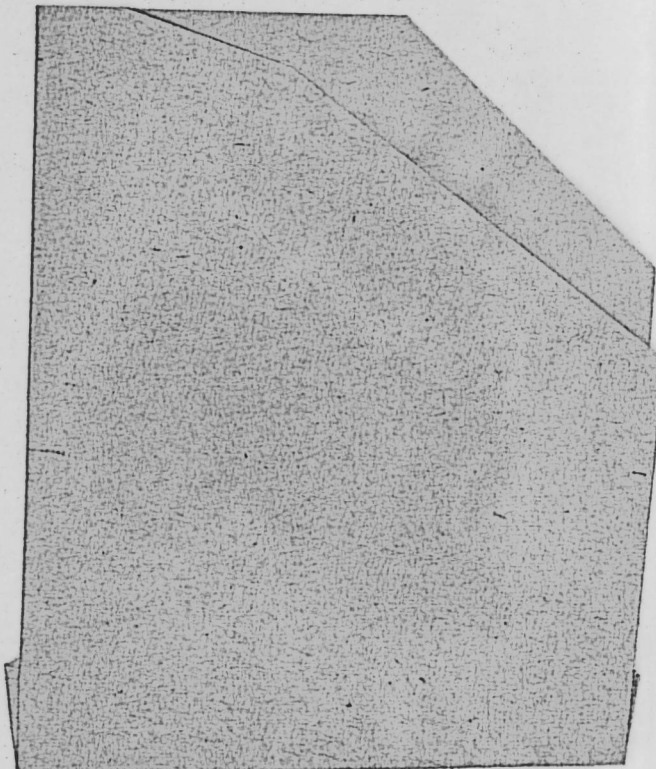
«ЕЛМ» НӘШРИЈАТЫ  
ИЗДАТЕЛЬСТВО «ЭЛМ»  
БАКЫ—1969—БАКУ

ЗЭРБАЙЧАН ССР ЕЛМЛЭР АКАДЕМИЈАСЫ  
АКАДЕМИЯ НАУК АЗЕРБАЙДЖАНСКОЙ ССР

# МЭ'РУЗЭЛЭР ДОКЛАДЫ

ТОМ XXV ЧИЛД

№ 12



• ЕДМ• НЭШРИЛДАТЫ  
ИЗДАТЕЛЬСТВО „ЭЛМ“  
БАКЫ—1969—БАКУ

Ф. Г. МАКСУДОВ

КРАТНОЕ РАЗЛОЖЕНИЕ ПО СОБСТВЕННЫМ ФУНКЦИЯМ  
ДИФФЕРЕНЦИАЛЬНЫХ ОПЕРАТОРОВ  
С НЕПРЕРЫВНОЙ ЧАСТЬЮ СПЕКТРА

(Представлено академиком АН Азербайджанской ССР З. И. Халиловым)

В данной работе две функции  $f(x)$  и  $g(x)$  из некоторого всюду плотного в  $L_2(0, \infty)$  множества одновременно разлагаются по собственным функциям дифференциального оператора (1)–(2) с коэффициентами Фурье, отличающимися друг от друга множителем  $\lambda$ . Это фактически есть кратная полнота собственных элементов оператора с непрерывной частью спектра. В случае операторов с дискретным спектром понятие кратной полноты введено М. В. Келдышем [1].

Рассмотрим дифференциальное уравнение

$$-y'' + ((px) + \lambda q(x) - \lambda^2)y = 0, \quad 0 \leq x < 0 \quad (1)$$

где  $p(x)$ ,  $q(x)$  — комплекснозначные функции, суммируемые на полуоси  $[0, \infty)$ ,  $\lambda$  — комплексный параметр. Присоединим к уравнению (1) граничное условие

$$y'(0, \lambda) - \theta y(0, \lambda) = 0, \quad (2)$$

где  $\theta$  — фиксированное комплексное число.

В пространстве  $L_2(0, \infty)$  рассмотрим несамосопряженный сингулярный дифференциальный оператор  $L_\lambda$ , порожденный дифференциальным уравнением (1) и граничным условием (2). Область определения  $D$  оператора  $L_\lambda$  определяется известным образом:

Спектр оператора  $L_\lambda$  в случае  $q(x) = 0$  исследован в работе М. А. Наймарка [2]. Там же найден вид однократного разложения по его собственным функциям.

Предположим, что при некотором  $\varepsilon > 0$  функции  $p(x)$  и  $q(x)$  удовлетворяют условиям

$$\int_0^\infty |p(x)| e^{\alpha x} dx < \infty; \quad \int_0^\infty |q(x)| e^{\alpha x} dx < \infty \quad (3)$$

Обозначим через  $D_\delta^+$  и  $D_\delta^-$  полуплоскости  $\{\lambda; \operatorname{Im} \lambda > -\delta\}$  и  $\{\lambda; \operatorname{Im} \lambda < \delta\}$ , где  $\delta$  — любое число.

РЕДАКЦИОННАЯ КОЛЛЕГИЯ: Р. Г. Исмаилов (главный редактор), Ш. А. Азизбеков, В. Р. Волобуев, Д. М. Гусейнов, И. А. Гусейнов, М. А. Дадашзаде (зам. главного редактора), М. А. Далин, Ч. М. Джуварлы, М. А. Кацкай (зам. главного редактора), С. М. Кулиев, М. Ф. Нагиев, М. А. Топчибашев, З. И. Халилов, Г. Г. Зейналов (ответственный секретарь).

Адрес: г. Баку, Коммунистическая, 10. Редакция «Докладов Академии наук Азербайджанской ССР».

п53058

Центральная научная  
БИБЛИОТЕКА  
Академии наук Киргизской ССР

Имеет место

**Теорема 1.** Пусть выполнены условия (3). Тогда уравнение (1) имеет два решения  $y_1(x, \lambda)$  и  $y_2(x, \lambda)$ , которые при каждом фиксированном значении  $x$  из интервала  $[0, \infty)$  являются голоморфными функциями от  $\lambda$  в полуплоскостях  $L_{\epsilon_1}^+$  и  $D_{\epsilon_1}^-$  соответственно.

При  $x \rightarrow \infty$  имеют место асимптотические формулы

$$\begin{aligned} y_1(x, \lambda) &= e^{ix\lambda} [1 + O(1)], \\ y'_1(x, \lambda) &= e^{ix\lambda} [i\lambda + O(1)], \\ y_2(x, \lambda) &= e^{-ix\lambda} [1 + O(1)], \\ y'_2(x, \lambda) &= e^{-ix\lambda} [-i\lambda + O(1)]; \end{aligned} \quad (4)$$

равномерно относительно  $\lambda$  в областях  $D_{\epsilon_1}^+$  и  $D_{\epsilon_1}^-$ , где  $\epsilon_1 < \epsilon$ .

Далее, при  $\lambda \rightarrow \infty$  в областях  $D_{\epsilon_1}^+$  или  $D_{\epsilon_1}^-$ , имеют место асимптотические формулы:

$$\begin{aligned} y_1(x, \lambda) &= e^{ix\lambda} \left[ \eta_1 + O\left(\frac{1}{\lambda}\right) \right], \\ y'_1(x, \lambda) &= e^{ix\lambda} \left[ i\lambda\eta_1 + O\left(\frac{1}{\lambda}\right) \right], \\ y_2(x, \lambda) &= e^{-ix\lambda} \left[ \eta_2 + O\left(\frac{1}{\lambda}\right) \right], \\ y'_2(x, \lambda) &= e^{-ix\lambda} \left[ -i\lambda\eta_2 + O\left(\frac{1}{\lambda}\right) \right]; \end{aligned} \quad (5)$$

равномерно относительно  $x$  из интервала  $[0, \infty)$ .

Асимптотические формулы (4), (5) позволяют найти собственные значения оператора  $L_\lambda$ . Его не вещественные собственные значения определяются из следующих уравнений

$$A_1(\lambda) = y'_1(0, \lambda) + \theta y_1(0, \lambda) = 0, \text{ если } Im\lambda > 0. \quad (6)$$

$$A_2(\lambda) = y'_2(0, \lambda) + \theta y_2(0, \lambda) = 0, \text{ если } Im\lambda < 0. \quad (7)$$

При  $Im\lambda = 0$  из асимптотических формул (4) следует, что  $y_1(x, \lambda)$ ,  $y_2(x, \lambda)$  линейно независимы и при  $x \rightarrow \infty$ ,

$$|y_1(x, \lambda)| \rightarrow 1, \quad |y_2(x, \lambda)| \rightarrow 1.$$

Поэтому никакие их линейные комбинации не принадлежат  $L_2(0, \infty)$ . Следовательно, оператор  $L_\lambda$  на вещественной оси не имеет собственных значений. Согласно теореме 1 функции  $y_1(x, \lambda)$  и  $y_2(x, \lambda)$ , голоморфны на действительной оси  $\lambda$ . Поэтому нули этих функций не имеют предельных точек на действительной оси.

Из асимптотических формул (5), (6) и (7) следует, что нули функций  $A_1(\lambda)$  и  $A_2(\lambda)$  образуют ограниченное множество и их предельные точки могут находиться лишь на прямых  $Im\lambda = -\frac{1}{2}\epsilon$  и  $Im\lambda = \frac{1}{2}\epsilon$  соответственно.

Следовательно, имеет место

**Теорема 2.** Пусть выполняется условие (3). Тогда оператор может иметь только конечное число собственных значений и ни одна из них не лежит на вещественной оси  $\lambda$ .

Теперь, пусть число  $\lambda$ ,  $Im\lambda \neq 0$  не является собственным значением оператора  $L_\lambda$  и пусть  $y(x, \lambda)$  является решением дифференциального уравнения (1) с начальным условием  $y(0, \lambda) = 1$ ,  $y'(0, \lambda) = 0$ .

С помощью специальных решений  $y(x, \lambda)$ ,  $y_1(x, \lambda)$ ,  $y_2(x, \lambda)$  построим ядро  $k(x, \zeta, \lambda)$  резольвенты  $R_\lambda$  оператора  $L_\lambda$ . Можно доказать, что

$$k(x, \zeta, \lambda) = \begin{cases} k^+(x, \zeta, \lambda), & \text{если } \lambda \in D_0^+ \\ k^-(x, \zeta, \lambda), & \text{если } \lambda \in D_0^- \end{cases}, \quad (9)$$

где

$$k^+(x, \zeta, \lambda) = \begin{cases} \frac{1}{A_1(\lambda)} y_1(x, \lambda) y(\zeta, \lambda) & \zeta < x \\ \frac{1}{A_1(\lambda)} y_1(\zeta, \lambda) y(x, \lambda) & \zeta > x \end{cases} \quad (10)$$

$$k^-(x, \zeta, \lambda) = \begin{cases} \frac{1}{A_2(\lambda)} y_2(x, \lambda) y(\zeta, \lambda) & \zeta < x \\ \frac{1}{A_2(\lambda)} y_2(\zeta, \lambda) y(x, \lambda) & \zeta > x \end{cases}$$

Поскольку  $y(x, \lambda)$  является целой аналитической функцией параметра  $\lambda$ , то из теоремы 1 вытекает, что ядро  $k(x, \zeta, \lambda)$  порождает ограниченный интегральный оператор, определенный во всем  $L_2(0, \infty)$  при этом, когда  $Im\lambda \rightarrow 0$  норма резольвенты  $R_\lambda$  в смысле  $L_2(0, \infty)$  неограниченно возрастает. Следовательно, вся вещественная ось принадлежат непрерывному спектру оператора  $L_\lambda$ . Итак, нами доказана

**Теорема 3.** Пусть выполняются условия (3). Тогда оператор имеет лишь конечное число невещественных собственных значений, расположенных в полуплоскостях  $D_0^+$ ,  $D_0^-$ , а его непрерывный спектр совпадает с вещественной осью. Далее, если  $\lambda$  не принадлежит спектру оператора  $L_\lambda$ , то резольвента его есть ограниченный интегральный оператор с ядром  $K(x, \zeta, \lambda)$  типа Карлемана

$$\int_0^\infty |K(x, \zeta, \lambda)|^2 dx, \quad \int_0^\infty |K(x, \zeta, \lambda)|^2 d\zeta < \infty$$

**Теорема 4.** Для достаточно больших  $\lambda$  ядро резольвенты  $k(x, \zeta, \lambda)$  оператора  $L_\lambda$  удовлетворяет неравенству

$$|k(x, \zeta, \lambda)| < \frac{c}{|\lambda|} \quad (12)$$

равномерно относительно  $x, \zeta$ , из квадранта  $0 \leq x, \zeta < \infty$ , где  $c$  — постоянное число.

Теперь используя оценку (12) и представления (9), (10) и (11), найдем вид кратного разложения по собственным функциям оператора  $L_\lambda$ . Для простоты будем предполагать, что собственные функции оператора  $L_\lambda$  простые. Пусть  $\lambda_n, \lambda_{n-1}, \dots, \lambda_1$  собственные значения оператора  $L_\lambda$ , расположенные в полуплоскости  $L_0^+$ ,  $\lambda_1, \lambda_2, \dots, \lambda_N$ , собственные значения, расположенные в полуплоскости  $L_0^-$ . Обозначим через  $y(x), y(x), \dots, y_{-1}(x), y_1(x), y_2(x), \dots, y_N(x)$  соответствующие им собственные функции.

Обозначим через  $M$  совокупность всех финитных в окрестности нуля и бесконечности функций, имеющих достаточное число производных.

Лемма. Пусть  $f, g \in M$ , и пусть функции  $p(x), q(x)$  имеют производную до второго порядка, тогда при  $\lambda \rightarrow \infty$

$$\int_0^\infty k(x, \zeta, \lambda)(f + \lambda g)dx = -\frac{g}{\lambda} + O\left(\frac{1}{\lambda^2}\right) \quad (13)$$

$$\int_0^\infty \lambda k(x, \zeta, \lambda)(f + \lambda g)dx = \frac{f + qg}{\lambda} + g + O\left(\frac{1}{\lambda^2}\right) \quad (14)$$

Методом контурного интегрирования и с помощью приведенных выше предложений можно доказать основную теорему.

Теорема 5. Пусть дважды дифференцируемые на  $[0, \infty)$  функции  $p(x)$  и  $q(x)$  удовлетворяют условию (3), функции  $A_1(\lambda)$ ,  $A_2(\lambda)$  не имеют нулей на вещественной оси  $\lambda$ , собственные значения оператора  $L_\lambda$  являются простыми нулями функции  $A_1(\lambda)$ ,  $A_2(\lambda)$ . Тогда всякую пару функции  $f(x)$ ,  $\psi(x)$ , где  $\psi(x) = f(x) + q(x)g(x)$  можно одновременно разложить по собственным функциям оператора  $L_\lambda$  и эти разложения имеют следующий вид:

$$g(x) = \sum_{k=-N_1}^{N_1} \frac{a_k y_k(x)}{\int_0^\infty [q(x) + 2\lambda_k] |y_k(x)|^2 dx} + \int_{-\infty}^\infty \frac{\Phi(\lambda) y(x, \lambda) d\lambda}{A_1(\lambda) A_2(\lambda)}, \quad (15)$$

$$\psi(x) = \sum_{k=-N_1}^{N_1} \frac{\lambda_k a_k y_k(x)}{\int_0^\infty [q(x) + 2\lambda_k] |y_k(x)|^2 dx} + \int_{-\infty}^\infty \frac{\lambda \Phi(\lambda) y(x, \lambda) d\lambda}{A_1(\lambda) A_2(\lambda)}, \quad (16)$$

где

$$a_k = \frac{1}{\pi} \int_0^\infty y_k(x) (f + \lambda_k g) dx,$$

$$\Phi(\lambda) = \frac{F_1(\lambda)}{\lambda} + F_2(\lambda),$$

$$F_1(\lambda) = \frac{1}{\pi} \int_0^\infty f(x) y(x, \lambda) dx$$

$$F_2(\lambda) = \frac{1}{\pi} \int_0^\infty g(x) y(x, \lambda) dx.$$

Интегралы в правой части формул (15), (16) сходятся абсолютно и равномерно относительно  $x$  из интервала  $[0, \infty)$ .

В заключение работы заметим, что в случае, когда  $A_1(\lambda)$  и  $A_2(\lambda)$  обращаются в нуль на вещественной оси  $\lambda$ , то у оператора  $L_\lambda$  появляются спектральные особенности и в этом случае в разложении (15) и (16) контур интегрирования  $(-\infty, +\infty)$  заменяется другим специальным контуром.

Нами рассмотрен также вопрос о кратной полноте системы собственных и присоединенных функций для случая уравнения любого

четного порядка. Эти исследования будут опубликованы в следующей статье.

Автор благодарен М. Г. Гасымову за плодотворные совместные обсуждения полученных результатов.

#### ЛИТЕРАТУРА

1. Келдыш М. В. ДАН СССР. 77, № 1, 1951, 11–14. 2. Наймарк М. А. Труды Московск. матем. об-ва, № 3, 18 1954, 180–270.

Институт математики и механики

Поступило 21. IV 1969

Ф. Г. Магсудов

Кәсилмәз спектрә малик олан диференциал операторларының мәхсуси функцијаларына көрә ажрылыш

#### ХУЛАСЭ

Мәгаләдә кәсилмәз спектрә малик олан (1) – (2) операторунун мәхсуси функцијаларының икى гат тамлығы мәсәләсиндән бәйс едилмишdir. Башга сөзлә,  $L_2(0, \infty)$  фәзасының һәр јердә сых чохлуғундан көтүрүлмүш икى  $f(x)$  вә  $g(x)$  функцијаларының (1) вә (2) операторунун мәхсуси функцијаларына көрә ejni заманда ажрыла билмәси көстәрилмишdir. Бу ажрылышда функцијаларын Фурје әмсаллары бирбүриндән  $\lambda$  вурғу илә фәргләнир.

НЕФТЕПРОМЫСЛОВАЯ МЕХАНИКА

З. Г. КЕРИМОВ, М. Г. КОПЕЙКИС

**ИССЛЕДОВАНИЕ КРУТИЛЬНЫХ АВТОКОЛЕБАНИЙ  
БУРИЛЬНОЙ КОЛОННЫ**

(Представлено академиком АН Азербайджанской ССР А. Х. Мирзаджанзаде)

В практике бурения нефтяных и газовых скважин часто наблюдаются скачкообразные изменения скоростей напряжений и т. п. бурильной колонны.

Отмеченное можно объяснить автоколебательным режимом работы колонны бурильных труб, о возможности возникновения которого указывается в литературе [4].

В [1] приводятся экспериментальные снятые осциллограммы, подтверждающие релаксационный характер колебаний алмазного долота.

Известно, что релаксационные автоколебания механических систем обусловлены нелинейностью системы. В данном случае момент трения между долотом и разбуриваемой породой носит нелинейный характер, что и является причиной возникновения релаксационных автоколебаний системы бурильной колонны — долото.

Представляет определенный интерес определение параметров автоколебаний бурильной колонны с целью выбора рационального режима бурения и компоновки низа бурильной колонны.

Предполагается, что скважины вертикальны и заполнены глинистым раствором, бурильная колонна с утяжеленной бурильной трубой (УБТ) рассматривается как однородный стержень с сосредоточенной массой в нижнем сечении. Верхнее сечение бурильной колонны вращается ротором с постоянной угловой скоростью  $\omega_0$ .

По мере вращения верхнего сечения бурильной колонны в ней накапливаются потенциальная энергия, а долото остается в покое, пока момент внутренних сил в УБТ не превзойдет момент трения между долотом и забоем. При достижении равенства моментов происходит отрыв долота от породы и из-за нелинейного характера зависимости момента трения от относительной скорости трущихся поверхностей происходит скачкообразное увеличение скорости вращения долота, что сопровождается падением напряжения.

Приведенная постановка задач о крутильных колебаниях бурильной колонны имеет вид:

$$\frac{\partial^2 \varphi}{\partial t^2} = a^2 \frac{\partial^2 \varphi}{\partial x^2} - 2\nu \frac{\partial \varphi}{\partial t} \quad (0 < x < l) \quad (1)$$

$$a^2 = \frac{GI_0}{I}.$$

$$\frac{\partial \varphi(0; t)}{\partial t} = \omega_0 \quad (2)$$

$$I_2 \frac{\partial^2 \varphi(l; t)}{\partial t^2} = -GI_0 \frac{\partial \varphi(l; t)}{\partial x} - M \left[ \frac{\partial \varphi(l; t)}{\partial t} \right] \quad (3)$$

$$M \left[ \frac{\partial \varphi(l; t)}{\partial t} \right] = M_1 l \left[ \frac{\partial \varphi(l; t)}{\partial t} \right]$$

$$l \left[ \frac{\partial \varphi(l; t)}{\partial t} \right] = \begin{cases} 1 & \text{при } \frac{\partial \varphi(l; t)}{\partial t} = 0 \\ \beta < 1 & \text{при } \frac{\partial \varphi(l; t)}{\partial t} \neq 0 \end{cases}$$

Начальные условия будут нулевыми, т. е.

$$\varphi(x; 0) = \frac{\partial \varphi(x; 0)}{\partial t} = 0, \quad (4)$$

где  $\varphi(x; t)$  — угол закручивания;

$G$  — модуль сдвига;

$I_0$  — полярный момент инерции сечения труб;

$I$  — момент инерции бурильной колонны относительно оси симметрии, отнесенный к единице длины;

$I_2$  — момент инерции утяжеленных бурильных труб;

$M_1$  — момент трения между долотом и породой;

$l$  — длина бурильной колонны;

$\nu$  — коэффициент сопротивления жидкости.

Границное условие (3) составлено исходя из предположения, что скорость вращения нижнего сечения бурильной колонны не меняет знака, это подтверждается исследованиями ряда авторов [1, 2].

Введем безразмерные переменные

$$\bar{\varphi} = \frac{a}{\omega l} \varphi; \quad \bar{t} = \frac{a}{l} t; \quad \bar{x} = \frac{x}{l} \quad (5)$$

Тогда системы (1)–(4) приводятся к виду:

$$\frac{\partial^2 \bar{\varphi}}{\partial \bar{t}^2} = \frac{\partial^2 \bar{\varphi}}{\partial \bar{x}^2} - \nu \frac{\partial \bar{\varphi}}{\partial \bar{t}} \quad (6)$$

$$\frac{\partial \bar{\varphi}(0; \bar{t})}{\partial \bar{t}} = 1$$

$$\frac{\partial \bar{\varphi}(1; \bar{t})}{\partial \bar{t}} = I_1(\bar{s}) \cdot \bar{s} \left( \frac{\partial \bar{\varphi}}{\partial \bar{x}}; M_1 \right)$$

$$\bar{s} \left( \frac{\partial \bar{\varphi}}{\partial \bar{x}}; M_1 \right) = x_1 \int_0^1 \left\{ - \frac{\partial \bar{\varphi}(1; \bar{\tau})}{\partial \bar{x}} - x_2 l \left[ \frac{\partial \bar{\varphi}(1; \bar{\tau})}{\partial \bar{\tau}} \right] \right\} d\bar{\tau}$$

$$x = \frac{2\omega l}{a}; \quad x_1 = \frac{GI_0 l}{I_2 a^2} = \frac{I_1}{I_2}; \quad I_1 = I!$$

$$x_2 = \frac{M_1 a}{GI_0 \omega_0}$$

Единичная функция  $I_1(\bar{s})$  вводится в связи с предположением о низменности знака скорости вращения УБТ. До сих пор, пока  $\bar{s}\left(\frac{\partial\phi}{\partial x}; M_1\right) < 0$  и соответственно  $I_1(\bar{s}) = 0$ , происходит накопление потенциальной энергии и ниж колонны находится в покое, т. е. скорость его вращения равна нулю и  $e\left[\frac{\partial\phi(1; \bar{t})}{\partial\bar{t}}\right] = 1$ . При  $s\left(\frac{\partial\phi}{\partial x}; M_1\right) > 0$  и  $I_1(s) = 1$  начинается вращение долота, здесь  $I\left[\frac{\partial\phi(1; \bar{t})}{\partial\bar{t}}\right] = \beta$ .

При решении задачи (6) принимается  $x = 0,5$  и в (3)  $\beta = 0,5$ . Реализуя метод прямых при  $h = \frac{1}{n}$ , получим систему уравнений:

$$\left. \begin{aligned} \frac{d^2\bar{\phi}_i}{d\bar{t}^2} &= n^2[(\bar{\phi}_{i+1} - \bar{\phi}_i) - (\bar{\phi}_i - \bar{\phi}_{i-1})] - x \frac{d\bar{\phi}_i}{d\bar{t}} \quad (i = 1; 2 \dots, n-1) \\ \frac{d\bar{\phi}_0}{d\bar{t}} &= 1; \quad \frac{d\bar{\phi}_n}{d\bar{t}} = I_1(s)s\left(\frac{\partial\phi}{\partial x}; M_1\right) \\ s\left(\frac{\partial\phi}{\partial x}; M_1\right) &= x_1 \int_0^{\bar{t}} [-(\bar{\phi}_n - \bar{\phi}_{n-1})n - x_2 I\left(\frac{d\bar{\phi}_n}{d\bar{t}}\right)] d\bar{\tau} \end{aligned} \right\} \quad (7)$$

Блок-схема моделирования на АВМ представлена на рис. 1. На рис. 2 представлено решение (7) для нижнего сечения бурильной колонны ( $n = 5$ ) при  $x_1 = 10$ ;  $x_2 = 0,5$ .

Следует отметить, что на приведенных рисунках угол поворота

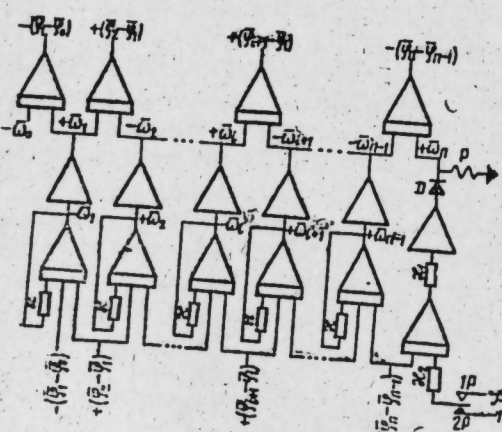


Рис. 1.

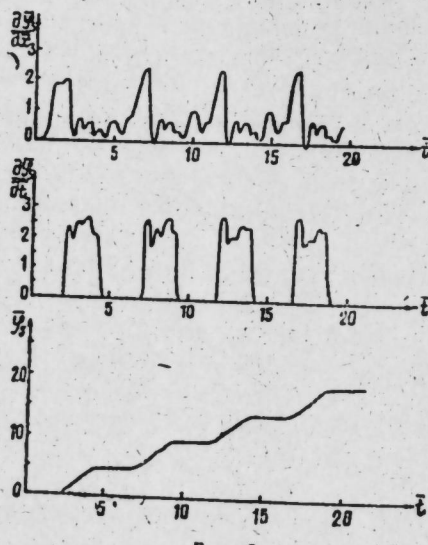


Рис. 2.

бурильной колонны  $\phi(x; t)$ , тангенциальное напряжение  $\tau(x; t)$  в точке труб, максимально удаленной от оси симметрии бурильной колонны, угловая скорость  $\frac{d\phi(x; t)}{dt}$  и время представлены в безразмерном виде и их легко вычислить по формулам:

$$\begin{aligned} \phi(\bar{x}_1; \bar{t}) &= \frac{l\omega_0}{a} \bar{\phi}_1 \\ \tau(\bar{x}_1; \bar{t}) &= \frac{GR\omega_0}{a} \frac{d\bar{\phi}_1(\bar{t})}{d\bar{x}} \\ \frac{d\phi}{dt} &= \omega_0 \frac{d\bar{\phi}_1(\bar{t})}{d\bar{t}} \\ t &= \frac{l}{a} \bar{t}. \end{aligned} \quad (8)$$

Из приведенного решения  $x_1 = 10$ ;  $x_2 = 0,5$  видно, что в начале бурения происходит увеличение напряжения (накапливается потенциальная энергия в бурильной колонне) и угловая скорость на забое равна нулю. Затем, когда момент внутренних сил превышает момент трения между долотом и породой, происходит скачок угловой скорости, превышающий  $\omega_0$ , бурильная колонна раскручивается и напряжение уменьшается, что влечет за собой дальнейшее уменьшение скорости вращения вплоть до нуля. Момент трения возрастает и вновь происходит накопление потенциальной энергии. Процесс повторяется. Как видно из рис. 2, изменения напряжения по своему характеру относятся к случаю несимметричного цикла.

Аналогичные решения были получены при  $x_1 = 10; 15; 20; 25$ ; и  $x_2 = 0; 0,5; 0,1; 0,2; 0,3; 0,4; 0,5; 0,6; 0,7; 0,8; 0,9; 1,0; 1,5; 1,75; 2,0$ . Результаты их обобщены в виде графика, приведенного на рис. 3,

где представлена зависимость максимального значения  $\frac{d\phi}{dx}$  в нижнем сечении бурильной колонны от  $x_1$  и  $x_2$ .

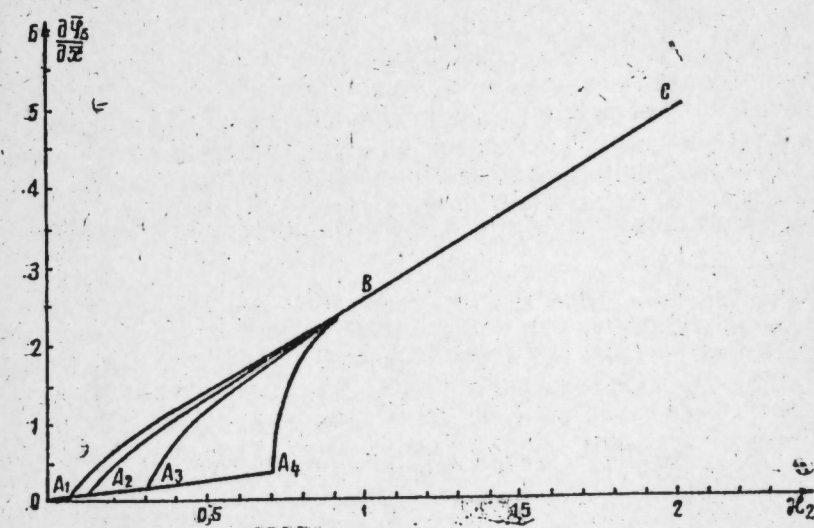


Рис. 3.

Кривые  $OA_1BC$ ,  $OA_2BC$ ,  $OA_3BC$  и  $OA_4BC$  построены при значениях  $x_1$ , соответственно равных 25; 20; 15; 10.

На участках  $OA_1$  не наблюдается процесс автоколебаний.

Например, при  $x_1 = 10$ ,  $x_2 = 0,5$  процесс колебаний УБТ представлен на рис. 4. Как видно из рис. 4 со временем процесс колебаний затухает и  $\tau$  приближается к постоянному значению, в первом случае 0,25, во втором — 0,35. Напряжение, соответствующее этому значению, согласно (8) будут

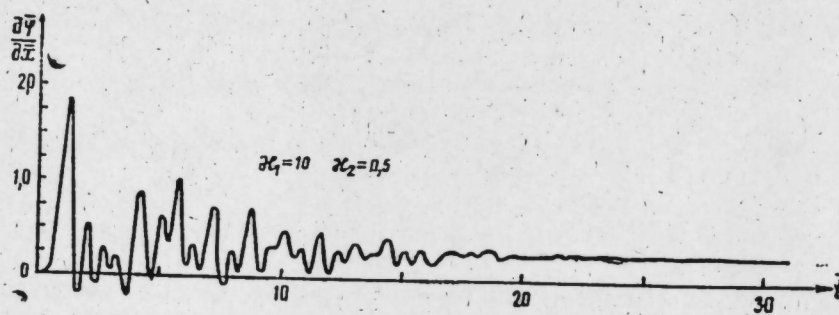


Рис. 4.

$$\tau = \frac{GR\omega_0}{a} \cdot 0,25;$$

Если учесть здесь  $\omega_0$ , выражение через  $x_2$ , получим

$$\tau = \frac{M_1 R}{I_0} \frac{0,25}{x_2} = 0,5 \frac{M_1 R}{I_0}.$$

Это значение напряжения совпадает со статическим напряжением при вращении бурильной колонны с постоянной угловой скоростью при моменте трения:

$$M = \beta M_1 = 0,5 M_1,$$

что говорит о вполне приемлемой точности решения такого рода задач на АМВ.

Точки  $A_1$  являются критическими. Здесь происходит самовозбуждение системы, сопровождающееся устойчивым циклом колебаний, т. е. имеют место автоколебания.

График, приведенный на рис. 3, построен в безразмерных параметрах. Это позволяет в зависимости от скорости вращения ротора, длины и поперечных размеров бурильной колонны и УБТ, материала бурильных труб, осевой нагрузки, коэффициента трения между долотом и забоем скважины определить максимальное тангенциальное напряжение, возникающее в забойной части бурильной колонны.

Пример:

Задано:

$$l = 5 \cdot 10^3 \text{ м}; q = 256 \text{ н/м}; R_{11} = 5,7 \cdot 10^{-2} \text{ м}; R_{12} = 4,7 \cdot 10^{-2} \text{ м};$$

$$l_1 = 100 \text{ м}; q_1 = 980 \text{ н/м}; R_{21} = 7,3 \cdot 10^{-2} \text{ м}; R_{22} = 3,7 \cdot 10^{-2} \text{ м};$$

$$G = 8 \cdot 10^{10} \text{ н/м}^2; f = 0,4; \omega_0 = 10 \frac{\text{рад}}{\text{сек}}$$

$q$ ;  $q_1$  — вес погонного метра соответственно бурильной колонны и утяжеленных бурильных труб;  
 $R_{11}$ ;  $R_{21}$  — внешний радиус соответственно бурильной колонны и утяжеленных бурильных труб.

$R_{11}$ ;  $R_{22}$  — внутренний радиус соответственно бурильной колонны и УБТ.

Вычислим:

$$I_0 = \frac{F}{2} (R_{11}^2 + R_{12}^2) = 891 \cdot 10^{-8} \text{ м}^4;$$

$$I = \frac{q(R_{11}^2 + R_{12}^2)}{2g} = 712 \cdot 10^{-4} \text{ н/сек}^2;$$

$$I_1 = Il = 356 \text{ н·м·сек}^2; a^2 = \frac{I_1 G}{I} = 10^7 \frac{\text{м}^2}{\text{сек}^2}; a = 3160 \frac{\text{м}}{\text{сек}}$$

$$M_1 = \frac{2}{3} f q_1 R_{21} l_1 = 955 \text{ н·м.}$$

По этим данным:

$$x_1 = 20; x_2 = 0,4.$$

Из графика, приведенного на рис. 3, находим  $\frac{d\varphi}{dx} = 5,6$ .

Тогда максимальное тангенциальное напряжение определяется по (8):

$$\tau = \frac{GR_{11}\omega_0 \frac{d\varphi}{dx}}{a} = 14 \cdot 10^6 \text{ н/м}^2$$

или  $\tau \approx 140 \text{ кг/см}^2$ .

По полученной величине тангенциального напряжения можно определить коэффициент запаса прочности. Для рассмотренного примера запас прочности, подсчитанный по методике, изложенной в [3], равен 1,6.

#### ЛИТЕРАТУРА

1. Кувыкин С. И., Караганов Н. Р., Хамзин Ш. Х. Об усталостном характере износа алмазов при бурении. НХ, № 9, 1958.
2. Симкин В. Я. Методика моделирования крутильных и продольных колебаний бурильных труб на математических машинах непрерывного действия. Труды ЦКЮ МГ и ОН СССР, № 1961.
3. Сакроян А. Е. Основы расчета бурильных колонн. Госполиттехиздат, 1961.
4. Владиславлев В. С. Разрушение пород при бурении скважин. Госполиттехиздат, 1958.

Азерб. Ин-т нефти и химии  
им. М. Азизбекова

Поступило 16. VI 1969

3. Н. Кәримов, М. Г. Копејкис

#### Газыма кәмәринин буручу авторәгсләринин тәдгиги

#### ХУЛАСӘ

Мәгаләдә кәснечи типли газыма аләти илә ротор үсулунда газыма заманы газыма кәмәриндә яранан буручу авторәгсләрдән бәйс олунмушдур. Мәсәлә һиперболик типли дифференциал тәнилиниң үчүнчү нөв гејри-хәтти сәрһәд мәсәләсінин һәллинә кәтирилмишидир.

Системи характеристизә едән параметрләrin кениш интервалда дәйишил гијмәтләри үчүн газыма кәмәринин ашағы һиссәсіндә яранан динамик қәркинликләrin әјриләри гурулмушдур ки, бу да мөһәммәлек шәртини өдәмәклә расионал газыма режиминин сечилмәсінә имкан бермишидир.

ХИМИЯ И ТЕХНОЛОГИЯ

Р. Г. ИСМАЙЛОВ, Г. М. МАМЕДАЛИЕВ, С. М. АЛИЕВ,  
Ф. Д. РЗАЕВА, Н. А. ПОЛЯКОВА

ПОЛИМЕРИЗАЦИЯ НЕПРЕДЕЛЬНЫХ СОЕДИНЕНИЙ ЖИДКИХ  
ПРОДУКТОВ ПИРОЛИЗА В ПРИСУТСТВИИ ИНИЦИATOROв  
ПОД ДАВЛЕНИЕМ

Ранее нами [1—4] был исследован процесс радикальной полимеризации непредельных соединений жидких продуктов пиролиза при атмосферном давлении и температуре 80—150°C.

Представляло изучить процесс полимеризации непредельных соединений продуктов пиролиза при более высоких температурах и под давлением. Получение результаты приводятся в настоящей статье.

ЭКСПЕРИМЕНТАЛЬНАЯ ЧАСТЬ

В качестве сырья была использована фракция 120—190°C, выделенная из смолы пиролиза газов, на укрупненной атмосферно-вакуумной ректификационной установке.

Фракция (120—190°C) содержала непредельных—50%, ароматических—50%, парафины и нафтены отсутствуют.

Опыты по полимеризации проводились на лабораторной установке в проточном реакторе под давлением.

Таблица 1

Влияние давления на полимеризацию непредельных соединений фр. (120—190°C)

Условия: температура—140°C, количество гидроперекиси изопропилбензола—2% на сырье, время полимеризации—3 ч

Давление, atm	Выход полимера, вес. %		Свойства полимеров	
	на фракцию (120—190°C)	на непредельные углеводороды	температура размягчения, °C	[η]
5	22,0	44	90	0,05
10	26,2	52,4	100	0,05
15	27,0	54,0	105	0,05
20	29,1	57,0	107	0,05
25	29,3	58,6	110	0,05
30	30,5	61,0	111	0,06

Было изучено влияние давления и температуры на выход, температуру размягчения и характеристическую вязкость полимеров. Полученные данные приведены в табл. 1, 2.

Таблица 2

Влияние температуры на полимеризацию непредельных соединений фр. 120—190°C под давлением в присутствии гидроперекиси изопропилбензола

Условия: давление—20 atm, время полимеризации 3 ч, количество инициатора—2%

Температура, °C	Выход полимера в вес. %		Свойства полимеров	
	на фракцию (120—190°C)	на непредельные углеводороды	температура плавления, °C	[η]
140	29,1	58,8	97,0	0,05
160	30,5	61,0	100,0	0,05
180	32,9	65,8	91,0	0,04
200	33,8	67,6	90,0	0,04
220	34,0	68,0	90,0	0,03

Как видно, при давлении 20 atm, температурах 140°C и выше процесс полимеризации протекает с большой скоростью и через 3 ч конверсия непредельных углеводородов достигает 60% и более. Такая же глубина конверсии непредельных в случае, когда процесс полимеризации проводится при температуре 80°C и атмосферном давлении, достигается за 40—50 ч.

Полученные полимеры характеризуются температурой размягчения по методу "кольцо и шар" 90—110°C и характеристикой вязкостью бензола ~0,03—0,05 (м. в. ~3—5 тыс.).

Из других инициаторов, использованных в работе, моногидроперекись динопропилбензола и гидроперекись 1,1 дифенилэтана по своей активности существенно не отличается от гидроперекиси изопропилбензола. Выход полимеров в присутствии этих инициаторов составляет 27—30%, температура размягчения их 108—115°C, характеристическая вязкость 0,05—0,07.

Выводы

1. Изучена полимеризация непредельных соединений фр. (120—190°C) смолы пиролиза газов в присутствии инициаторов под давлением.

2. Показано, что при температуре 140—200°C и давлении 5—30 atm заметно ускоряется процесс полимеризации и конверсия непредельных соединений за 3 ч достигает 60—68%. Полученные полимеры характеризуются низким молекулярным весом (3—5 тыс.) и температурой размягчения 90—115°C.

ЛИТЕРАТУРА

1. Мамедалиев Ю. Г., Мамедалиев Г., М. Алиев С. М., Рзаева Ф. Д. Авторское свид. № 138 377. Бюлл. избр. № 10, 1961. 3. Мамедалиев Ю. Г., Мамедалиев Г. М., Алиев С. М., Рзаева Ф. Д., Мархевка В. М. "Азерб. хим. журн.", № 1, 1962. 3. Мамедалиев Ю. Г., Мамедалиев Г. М., Алиев С. М., Рзаева Ф. Д., Симашко В. В., Власова Н. Д., Щипаков Л. М. АН СССР. Ин-т нефтехимического синтеза им. А. В. Топчигеса. 1964. 4. Исмайлов Р. Г., Алиев С. М., Мамедалиев Г. М., Рзаева Ф., Саркисов В. М. Химия и технология топлив и масел, 1965, № 3.

ИНХП им. Ю. Г. Мамедалиева

Поступило 16. VI 1969

Маје пиролиз мәңсулларынын тәркибинә дахил олан  
дојмамыш карбоидрокенләрин инициатор иштиракы  
илә тәэзиг алтында полимерләшмәси

ХУЛАСӘ

Тәдгигатда пиролиз газларындан алынан гатранын 120—190°C фраксијасынын инициатор (кумолун һидропероксиди вә с.) иштиракы илә тәэзиг алтында полимерләшмәси өјрәнилмишdir. 140—200°C-дә 5—30 атмосфер тәэзиг алтында полимерләшмә просеси сүр'этләнир вә дојмамыш бирләшмәләрин конверсијасы 3 saat мүддәтиндә 60—68%-э чатыр.

Алынан полимерләр ашағы молекуллу (3—5 мин), јумшалма температуру исә 95—115°C олур.

ФИЗИЧЕСКАЯ ХИМИЯ

Э. А. КЯЗИМОВ

**К ВОПРОСУ О ВЛИЯНИИ КОЭФФИЦИЕНТА РАСПРЕДЕЛЕНИЯ  
НА РАЗДЕЛЕНИЕ В ГАЗОВОЙ ХРОМАТОГРАФИИ**

(Представлено академиком АН Азербайджанской ССР М. А. Далиним)

Успехи хроматографии в настоящее время весьма очевидны, наглядной иллюстрацией чему служат многочисленные анализы сложных смесей продуктов, получаемых как в процессе производства на заводских установках, так и в лабораториях исследовательских институтов. Следует, однако, отметить, что несмотря на все свои успехи хроматографические методы далеко не исчерпали себя и привлекают внимание многочисленных исследований, работающих в области физической химии.

Как известно, основой хроматографического разделения смеси продуктов является многократно повторяющийся процесс сорбции—десорбции происходящий в гетерогенной системе. Одним из важных факторов, влияющих на процесс сорбции—десорбции является распределение анализируемых продуктов в двух фазах гетерогенной системы.

Целью настоящего исследования являлось изучение влияния состава газовой фазы на коэффициенты распределения продуктов между неподвижной (твердой) и подвижной (газовой) фазами, а следовательно и влияние состава газа на хроматографические процессы.

Аппаратурой для экспериментов служил стандартный хроматограф „Цвет-1“. На колонке размерами  $100 \times 0,4$  см, заполненной силикагелем МС-А-1, при температуре 74°C и скорости газа-носителя азота  $1,75 \text{ см}^3/\text{мин}$  измерялись времена удерживания трех индивидуальных соединений (бензола, этилового спирта метилэтилкетона), относящихся в различным классам углеводородов. Затем времена удерживания этих продуктов измерялись при тех же условиях, только лишь газ-носитель азот проходил через барботер с ацетоном, находящимся при температуре 25°C. В табл. 1 приводятся результаты проделанных опытов. Как видно из результатов таблицы времена удерживания анализируемых продуктов уменьшаются от 4 до 13 раз при насыщении азота парами ацетона, что позволяет резко сократить время их анализа. Этот эффект вызван изменением коэффициента распределения паров анализируемых и продуктов между газовой и твердой фазой в хроматографической колонке.

Таблица 1  
Время удерживания продуктов,  
элюируемых (A) чистым азотом и (B) азотом,  
насыщенным парами

Продукты	Абсолютные времена удерживания, мин	
	A	B
Бензол	19,0	4,75
Этиловый спирт	25,5	4,90
Метилэтилкетон	66,5	5,05

Интересно проследить как изменяется в подобном случае величина коэффициента распределения для каждого из исследованных продуктов.

Как известно [1], коэффициент распределения определяется по следующей формуле:

$$K = (V_g/V_t) (1/R_f - 1) \dots \dots \dots \dots \dots \dots \dots \quad (1)$$

где  $V_g$  и  $V_t$  — объемы газовой и твердой фаз соответственно, а  $R_f$  — фактор запаздывания.

Фактор запаздывания в свою очередь определяется по формуле:

$$R_f = t_g/t_b \dots \dots \dots \dots \dots \dots \dots \quad (2)$$

где  $t_g$  и  $t_b$  — времена, необходимые для прохождения через колонку газа-носителя и анализируемого вещества соответственно.

Объем  $V_g$  найден умножением объемной скорости газа-носителя на время неадсорбирующегося газа и равен  $8,23 \text{ см}^3$ .

Объем  $V_t$  найден при вычитании объема  $V_g$  из общего объема пустой колонки и проводящих газовых линий и равен  $5,11 \text{ см}^3$ . Ре-

Таблица 2  
Коэффициенты распределения  $K$  и факторы запаздывания  $R_f$

Продукты	A		Б	
	$R_f$	$K$	$R_f$	$K$
Бензол	0,25	4,83	0,99	1,63
Этиловый спирт	0,18	7,43	0,96	1,68
Метилэтилкетон	0,07	21,4	0,93	1,73

\* A—газ-носитель азот

Б—газ-носитель азот с парами ацетона.

зультатом обработки экспериментальных данных является табл. 2, в которой представлены коэффициенты распределения исследованных продуктов.

Как видно из результатов табл. 2, коэффициенты распределения уменьшаются при насыщении парами ацетона от 3 до 12 раз. Уменьшение коэффициента распределения позволяет применять твердые адсорбенты с развитой поверхностью для анализа не только газовых, но и жидких продуктов при умеренной температуре опыта.

Следует отметить, что изменение концентрации паров ацетона в

газе-носителе даст возможность плавно регулировать коэффициент распределения в обнаруженных пределах, а следовательно и произвольно регулировать скорость хроматографического разделения.

## Выводы

1. Поставлен вопрос о роли коэффициента распределения между двумя фазами гетерогенной системы в хроматографическом анализе.

2. Показана возможность осуществления ускоренного хроматографического анализа.

3. Выявлены предпосылки произвольного регулирования скорости анализа в зависимости от состава подвижной фазы.

4. Показана возможность анализа жидких продуктов на колонках с твердым адсорбентом при относительно низких температурах.

## ЛИТЕРАТУРА

Ногаре С. Д., Джувет Р. С. Газожидкостная хроматография, стр. 76. Изд-во «Недра». Л., 1966.

Институт нефтехимических процессов

Поступило 3. VII 1968

Е. Э. Казымов

Газ-хроматографијасында айрылма жајылма әмсалынын тәсириниң һағында

## ХУЛАСӘ

Мәгаләдә газ-хроматографијасында жајылма әмсалынын ролундан бәһс едилмишdir. Бу мәгсәдлә һәрәкәтдә олан газ фазасынын тәркиби асетон бухары илә дојдурулмуш азот газ дашијычысы васитәсилендә дәјишилмишdir. Нәмин шәрантдә анализ едилән маддәләрин концентрасијасы газ фазасында бирдән-бирә чохалмыш, лакин жајылма әмсалынын гијмети азалмышдыр. Азотун асетон бухары илә дојдурулмасында жајылма әмсалынын азалмасы мұхтәлиф маддәләр үчүн мұхтәлиф олуб, 3—12 дәфә дәјишилмишdir. Бу һалда, сәрбәст маддәләрин хроматографик анализинин сүр'ети 4—13 дәфә азалмыш вә бунуна әлагәдар хроматографик анализин сүр'етини истәнилән гәдәр тәнзимләмәјин мүмкүнлүjү ашкар едилмишdir. Бундан башта, мәгаләдә маје маддәләрин бәрк адсорбентдә, нисбәтән ашағы температурда анализ олуна билмәсі имканы көстәрилмишdir.

НЕОРГАНИЧЕСКАЯ ХИМИЯ

А. А. МАМБЕТОВ, М. И. НАБИЕВ

ИССЛЕДОВАНИЕ УСЛОВИЙ ОБРАЗОВАНИЯ, СОСТАВА  
И ФИЗИКО-ХИМИЧЕСКИХ СВОЙСТВ ВИСМУТОВЫХ КИСЛОТ,  
ОБРАЗУЮЩИХСЯ ПРИ РН-9,3 и 11,5

(Представлено академиком АН Азербайджанской ССР Г. Б. Шахтахтинским)

Наши исследования показали, что в процессе потенциометрического титрования гидрогель  $\text{Bi}_2\text{O}_3 \cdot n\text{H}_2\text{O}$  образуется как в слабокислых, так и щелочных средах. В данной работе приводятся результаты исследования состава и физико-химических свойств гидрогеля трехокиси висмута, осажденной при  $\text{pH}=9,3$  и 11,5.

Гидрат окиси висмута представляет собой объемистый белого цвета аморфный осадок состава  $\text{Bi}_2\text{O}_3 \cdot n\text{H}_2\text{O}$  [1].

Состав гидрогелей  $\text{Bi}_2\text{O}_3 \cdot n\text{H}_2\text{O}$ , осажденных при  $\text{pH}=9,3$  и 11,5 исследовали под раствором  $\text{NaCl}$  от концентрации 5–36%. Давление пара насыщенного раствора  $\text{NaCl}$  при температуре 25° довольно высокое (около 21 мм.  $\text{Hg}$ . ст.). Следовательно, при изотермическом обезвоживании этим раствором не может происходить диссоциация гидратов [2].

Результаты анализов жидкой и твердой фаз тройной системы  $\text{Bi}_2\text{O}_3 - \text{H}_2\text{O} - \text{NaCl}$  двух проб графически изображены на диаграммах (рис. 1а и б).

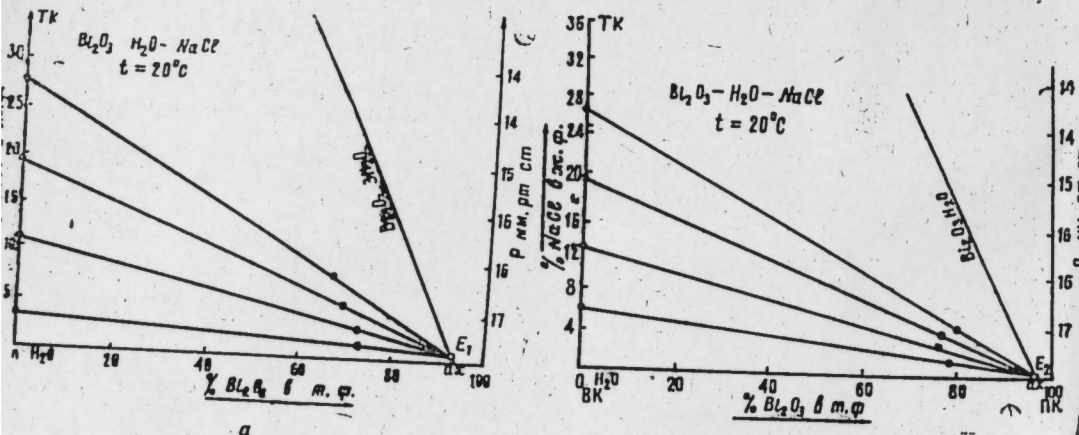


Рис. 16

На осях ординат отложены процентные содержания хлористого натрия в жидких фазах, а на осях абсцисс—процентное содержание  $\text{Bi}_2\text{O}_3$  в остатках. Катеты треугольников отвечают двум бинарным системам  $\text{H}_2\text{O}-\text{NaCl}$ – $\text{H}_2\text{O}-\text{Bi}_2\text{O}_3$ , а гипотенузы—бинарной системе  $\text{Bi}_2\text{O}_3-\text{NaCl}$ .

Эти диаграммы относятся к таким системам, где два компонента тройной системы образуют соединения состава окисель–вода (в форме гидрата). Причем, эти соединения в условиях опыта не меняют своего состава. Кроме этого они с третьим компонентом ( $\text{NaCl}$ ) не образуют твердых растворов.

На этих диаграммах прямые составов остатков пересекаются в одной точке соответственно  $E_1$ ,  $E_2$  и лежат внутри треугольников. Эти точки показывают существование соединений, состоящих из трехокиси висмута и воды.

Для установления истинного состава этих гидрогелей графическим методом, от вершин треугольников, отвечающих 100% содержанию хлористого натрия в жидких фазах, через точки пересечений прямых составов остатков, провели прямые до пересечения с основаниями треугольников. Эти прямые являются гипотенузами составов соединений, существующих в твердых фазах. Точки  $a_1$ ,  $a_3$  показывают соотношения трехокиси висмута и воды в этих соединениях.

Точки  $E_1$ – $E_2$ , подтверждающие существование гидратов трехокиси висмута, лежат не на самих абсциссах, а несколько выше. Это объясняется тем, что хлористый натрий с гидратами трехокиси висмута не образует твердых растворов, а адсорбируется ими. Величина адсорбции хлористого натрия соответственно равна ординатам точек  $E_1$ ,  $E_2$ , т. е.,  $Y_1$  и  $Y_2$ .

Если исключить из состава твердой фазы адсорбированное количество хлористого натрия, тогда точкой  $E_1$  (рис. 1а) устанавливается существование гидрата состава  $\text{Bi}_2\text{O}_3 \cdot 3\text{H}_2\text{O}$ , соответствующего кислоте  $\text{H}_3\text{BiO}_3$ ; точкой  $E_2$  (рис. 1, б)— $\text{Bi}_2\text{O}_3 \cdot \text{H}_2\text{O}$ , соответствующего  $\text{HBiO}_2$ .

Точность этих данных проверена нами, а также и аналитическим методом, путем совместного решения уравнений прямых, пересекающихся в одной точке по отношению  $x$  и  $y$ , т. е. координаты точек

$$E_1 \text{ формулами: } y = \frac{100 \cdot ac(c^1 - b^1) - a^1 \cdot b^1(c - b)}{a(100 - c)(c^1 - b^1) - a^1(100 - c^1)(c - b)}$$

$C$  и  $C^1$ —процентное содержание хлористого натрия в жидких фазах, найденных анализом;  $b$  и  $b^1$ —процентные содержания хлористого натрия в твердых фазах, найденных анализом;  $a$  и  $a^1$ —процентные содержания безводной трехокиси висмута в твердых фазах, найденные анализом;  $y$ —процентное содержание хлористого натрия, адсорбированного твердой фазой (ось ординат точки  $E$ );  $x$ —процентное содержание безводной трехокиси висмута в твердой фазе (ось абсцисс точки  $E$ ).

После чего химически связанный водой найденных гидратов вычис-

лялся формулой  $W = \frac{100[100 - (x + y)]}{x + [100 - (x + y)]}$ , где  $x$ —процентное содержа-

ние  $\text{Bi}_2\text{O}_3$  в твердых фазах, найденное аналитическим и графическим методами.  $y$ —процентное содержание хлористого натрия, адсорбированного твердой фазой, найденное аналитическим и графическим методами;  $W$ —процентное содержание химически связанный водой в твердых фазах.

Эти данные составлены в таблице и (1а и б), которые также подтверждают существование двух гидратов трехокиси висмута  $\text{Bi}_2\text{O}_3 \cdot 3\text{H}_2\text{O}$  и  $\text{Bi}_2\text{O}_3 \cdot \text{H}_2\text{O}$ .

НЕОРГАНИЧЕСКАЯ ХИМИЯ

А. А. МАМБЕТОВ, М. И. НАБИЕВ

ИССЛЕДОВАНИЕ УСЛОВИЙ ОБРАЗОВАНИЯ, СОСТАВА  
И ФИЗИКО-ХИМИЧЕСКИХ СВОЙСТВ ВИСМУТОВЫХ КИСЛОТ,  
ОБРАЗУЮЩИХСЯ ПРИ РН-9,3 и 11,5

(Представлено академиком АН Азербайджанской ССР Г. Б. Шахтахтинским)

Наши исследования показали, что в процессе потенциометрического титрования гидрогель  $\text{Bi}_2\text{O}_3 \cdot n\text{H}_2\text{O}$  образуется как в слабокислых, так и щелочных средах. В данной работе приводятся результаты исследования состава и физико-химических свойств гидрогеля трехокиси висмута, осажденной при  $\text{pH}=9,3$  и 11,5.

Гидрат окиси висмута представляет собой объемистый белого цвета аморфный осадок состава  $\text{Bi}_2\text{O}_3 \cdot n\text{H}_2\text{O}$  [1].

Состав гидрогелей  $\text{Bi}_2\text{O}_3 \cdot n\text{H}_2\text{O}$ , осажденных при  $\text{pH}=9,3$  и 11,5 исследовали под раствором  $\text{NaCl}$  от концентрации 5–36%. Давление пара насыщенного раствора  $\text{NaCl}$  при температуре 25° довольно высокое (около 21 мм. рт. ст.). Следовательно, при изотермическом обезвоживании этим раствором не может происходить диссоциация гидратов [2].

Результаты анализов жидкой и твердой фаз тройной системы  $\text{Bi}_2\text{O}_3 - \text{H}_2\text{O} - \text{NaCl}$  двух проб графически изображены на диаграммах (рис. 1а и б.).

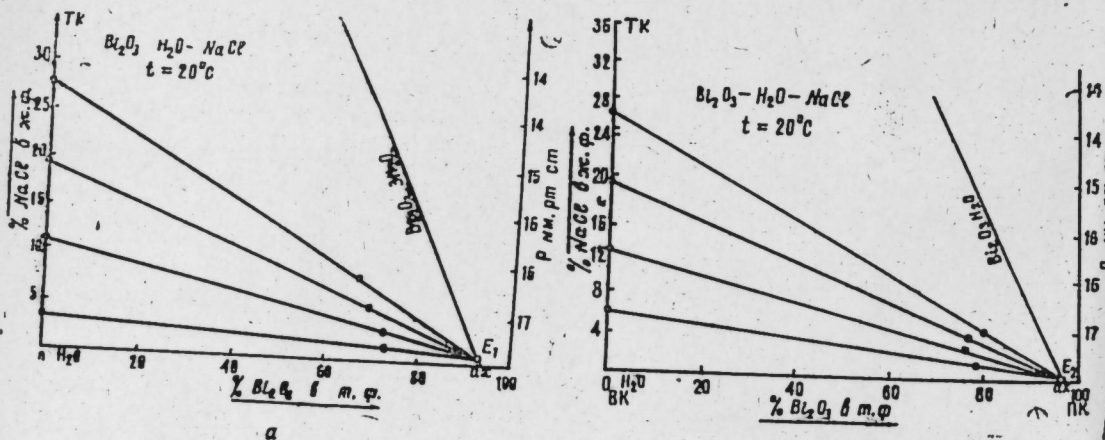


Рис. 16

На осях ординат отложены процентные содержания хлористого натрия в жидких фазах, а на осях абсцисс—процентное содержание  $\text{Bi}_2\text{O}_3$  в остатках. Катеты треугольников отвечают двум бинарным системам  $\text{H}_2\text{O}-\text{NaCl}$ – $\text{H}_2\text{O}-\text{Bi}_2\text{O}_3$ , а гипотенузы—бинарной системе  $\text{Bi}_2\text{O}_3-\text{NaCl}$ .

Эти диаграммы относятся к таким системам, где два компонента тройной системы образуют соединения состава окисль—вода (в форме гидрата). Причем, эти соединения в условиях опыта не меняют своего состава. Кроме этого они с третьим компонентом ( $\text{NaCl}$ ) не образуют твердых растворов.

На этих диаграммах прямые составов остатков пересекаются в одной точке соответственно  $E_1$ ,  $E_2$  и лежат внутри треугольников. Эти точки показывают существование соединений, состоящих из трехокиси висмута и воды.

Для установления истинного состава этих гидратов графическим методом, от вершин треугольников, отвечающих 100% содержанию хлористого натрия в жидких фазах, через точки пересечений прямых составов остатков, провели прямые до пересечения с основаниями треугольников. Эти прямые являются гипотенузами составов соединений, существующих в твердых фазах. Точки  $a_1$ ,  $a_2$  показывают соотношения трехокиси висмута и воды в этих соединениях.

Точки  $E_1$ – $E_2$ , подтверждающие существование гидратов трехокиси висмута, лежат не на самих абсциссах, а несколько выше. Это объясняется тем, что хлористый натрий с гидратами трехокиси висмута не образует твердых растворов, а адсорбируется ими. Величина адсорбции хлористого натрия соответственно равна ординатам точек  $E_1$ ,  $E_2$ , т. е.,  $Y_1$  и  $Y_2$ .

Если исключить из состава твердой фазы адсорбированное количество хлористого натрия, тогда точкой  $E_1$  (рис. 1а) устанавливается существование гидрата состава  $\text{Bi}_2\text{O}_3 \cdot 3\text{H}_2\text{O}$ , соответствующего кислоте  $\text{H}_3\text{BiO}_3$ ; точкой  $E_2$  (рис. 1, б)— $\text{Bi}_2\text{O}_3 \cdot \text{H}_2\text{O}$ , соответствующего  $\text{HBiO}_2$ .

Точность этих данных проверена нами, а также и аналитическим методом, путем совместного решения уравнений прямых, пересекающихся в одной точке по отношению  $x$  и  $y$ , т. е. координаты точек

$$E_1 \text{ формулами: } y = \frac{100 \cdot ac(c^1 - b^1) - a^1 \cdot b^1(c - b)}{a(100 - c)(c^1 - b^1) - a^1(100 - c^1)(c - b)}.$$

$C$  и  $C^1$ —процентное содержание хлористого натрия в жидких фазах, найденных анализом;  $b$  и  $b^1$ —процентные содержания хлористого натрия в твердых фазах, найденных анализом;  $a$  и  $a^1$ —процентные содержания безводной трехокиси висмута в твердых фазах, найденные анализом;  $y$ —процентное содержание хлористого натрия, адсорбированного твердой фазой (ось ординат точки  $E$ );  $x$ —процентное содержание безводной трехокиси висмута в твердой фазе (ось абсцисс точки  $E$ ).

После чего химически связанный водой найденных гидратов вычис-

лялся формулой  $W = \frac{100[100 - (x + y)]}{x + [100 - (x + y)]}$ , где  $x$ —процентное содержание  $\text{Bi}_2\text{O}_3$  в твердых фазах, найденное аналитическим и графическим методами.  $y$ —процентное содержание хлористого натрия, адсорбированного твердой фазой, найденное аналитическим и графическим методами;  $W$ —процентное содержание химически связанной воды в твердых фазах.

Эти данные составлены в таблице и (1а и б), которые также подтверждают существование двух гидратов трехокиси висмута  $\text{Bi}_2\text{O}_3 \cdot 3\text{H}_2\text{O}$  и  $\text{Bi}_2\text{O}_3 \cdot \text{H}_2\text{O}$ .

Таблица 1

№ № проб.	% NaCl в жидкой фазе	% Bi <sub>2</sub> O <sub>3</sub> в твер- дой фазе	Состав твердой фазы		% H <sub>2</sub> O в твердой фазе		Состав гидрогеля	
			% Bi <sub>2</sub> O <sub>3</sub> найдено графическим методом	% адсорб. NaCl найдено графическим методом	% H <sub>2</sub> O найдено графическим методом	% H <sub>2</sub> O найдено аналитичес- ким мето- дом	аналитичес- ким мето- дом	аналитичес- ким мето- дом
			найдено аналитичес- ким мето- дом	найдено аналитичес- ким мето- дом	найдено аналитичес- ким мето- дом	найдено аналитичес- ким мето- дом	найдено аналитичес- ким мето- дом	найдено аналитичес- ким мето- дом
1	3,31	1,67	73,21	89,4	0,95	Ср. 0,92	10,55	10,6
2	7,42	2,62	72,51					
3	11,31	3,66	71,61					
4	15,51	4,50	70,38					
5	19,36	5,66	68,21					
6	23,02	7,01	66,24					
7	27,89	8,15	66,03					
1	3,01	1,00	78,00					
2	6,22	1,81	78,21					
3	9,81	2,20	76,64					
4	12,82	3,18	76,03					
5	16,02	3,96	77,79					
6	19,85	4,21	76,44					
7	24,41	3,60	83,92					
8		27,02	80,21					

Кривая нагревания висмутовых кислот (рис. 2, а и б), полученная на пирометре Курнакова, характеризуется началом эндотермического эффекта (рис. 2, а) при 180 и 300°, связанным с выделением воды (гигроскопической, структурно-связанной). Эндотермическим эффектом при 430°, 525 и 600°, связанным с выделением химически связанный воды, эндотермическим эффектом и при 660 связанным с разложением висмутовой кислоты, эндоэффектом при 725° С, связанным с плавлением вещества [3].

Кривая нагревания H<sub>3</sub>BiO<sub>2</sub> (рис. 2, б) характеризуется началом эндо-

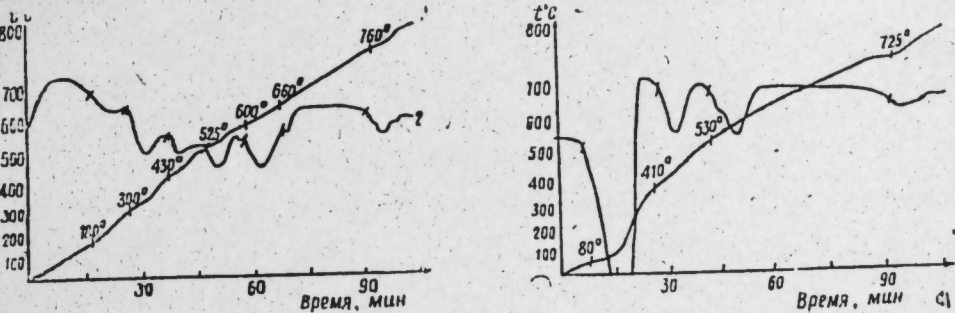


Рис. 2.

термического эффекта при 80°C, связанным с выделением воды (гигроскопической, структурно-связанной) эндотермическим эффектом при 410°, связанным с выделением химически связанный воды, эндоэффектом при 530°, связанным с разложением висмутовой кислоты эндоэффектом при 725 С, связанным с плавлением вещества. Полученные соединения подвергнуты рентгеноископическому анализу на установке УРС-5 и на Cu K- $\alpha$ -излучении.

#### Выводы

1. Изучен процесс дегидратации гидрогелей трехокиси висмута, осажденных при температуре 0°C и pH=9,3; 11,5 изотермическим и термографическим методами.

2. Установлено, что препарат гидрогеля трехокиси висмута, осажденный при pH=9,3 под насыщенным раствором хлористого натрия дегидратируется до образования ортоворисмутовой кислоты H<sub>3</sub>BiO<sub>3</sub>, а препарат, осажденный при pH=11,5 также дегидратируется до образования метависмутовой кислоты H<sub>2</sub>BiO<sub>2</sub>.

#### ЛИТЕРАТУРА

1. Реми. Курс неорганической химии, т. 1, 1963. 2. Данильченко А. Т. Изв. Крымск. пед. ин-та, т. XII, 1947. 3. Берег Л. Г. Введение в термографию. М., 1961. Азербайджанский с/х ин-т

Поступило 10. XII 1968

Э. А. Мамбетов, М. И. Нәбиев

Мүһитин pH-ы 9,3 вә 11,5 олдуугда әмәлә кәлән бисмут түршүларының тәркиби вә физики-кимјәви хассаларинин тәдгиги

#### ХУЛАСӘ

pH=9,3 вә 11,5 олдуугда ( $t=0^{\circ}\text{C}$ ) чөкдүрүлмүш бисмут 3-оксидидрокелиниң деидратлашма процеси изотермик вә термографик үсулларла тәдгиг едилмишидир.

Мүэйянләшдирилмишdir ки, рН=9,3 олдугда чөкдүрүлмүш бисмут 3-оксид һидрокенили дојмуш  $\text{NaCl}$  дузу мәһлүлүнде деңидратлашараг ортобисмутат туршусу ( $\text{H}_3\text{BiO}_3$ ), рН=11,5 заманы исә метабисмутат туршусу ( $\text{HVO}_2^3$ ) әмәлә кәтирир.

Ортобисмутат, метабисмутат туршулары термографик вә рентгенографик үсулларла тәдгиг едиләрәк айынлашдырылышыр ки, онлар мүстәгил бирләшмәләрdir.

Ф. Т. КУЛИЕВ, И. В. АНАНЬИН, О. Б. БАБАЗАДЕ

**К ВОПРОСУ ИЗУЧЕНИЯ РАЗЛОМОВ ЗЕМНОЙ КОРЫ  
ПО МАКРОСЕЙСМИЧЕСКИМ ДАННЫМ**

(Представлено академиком АН Азербайджанской ССР А. А. Ализаде)

Метод изучения разломов земной коры по макросейсмическим данным впервые описан в работе [1]. В ней известные разломы северо-восточной части Азербайджана выявлены по графикам изменения интенсивности землетрясений от эпицентрального расстояния.

Для области Большого Кавказа [2] зоны разломов оконтурены на основе коэффициентов затухания интенсивности землетрясений.

В настоящей статье приводятся приемы выявления разломов с использованием графиков изменения интенсивности и коэффициентов затухания по данным землетрясений в Нижне-Куриńskiej впадине.

Сведения о трех сильных землетрясениях [3—5], произошедших в исследуемой области, сведены в таблицу.

Землетрясение	Дата	Время, ч, мин сек	Координаты очага			$M$	Примечание
			$\varphi^{\circ}N$	$\lambda^{\circ}E$	$h, \text{ км}$		
1. Сабирабад-ское	13.08 1959 г.	00.33.11	39,8	48,2		4 $^{1/2}$	По данным с/с Тикси $M = 5^{1/2}$ $J_0 \approx 8$ баллов
2. Имишлиин-ское	15.05 1964 г.	08.05.48	39,8	48,0	25	4 $^{3/4}$	По макроданным: $\varphi$ то же, $\lambda = 48,1$ $h = 35-40$ , $K = 14$ . Сила в эпицентре не менее 7 баллов
3. Имишлиин-ское	15.05 1965 г.	18.43.09	40,1	48,1	30—40	4	По макроданным $\varphi = 39,9$ ; $\lambda = 48,1$ . $h = 20-30$ , $K = 13$ . Сила в эпицентре до 7 баллов

Следует отметить, что при обследовании землетрясений производился тщательный сбор макроданных в каждом населенном пункте от зон максимальной бальности и вплоть до неощущимых. На основании этих сведений впоследствии статистически определялся следний балл сейсмического воздействия по каждому пункту как среднее значение по весам из полученных значений. Пункты одинакового сотрясения оконтуривались изолинией в одну зону. Таким образом карта изосейзической областии отображает суммарный сейсмический эффект на поверхности сотрясенной области.

Для того, чтобы использовать ее для целей изучения строения земной коры, необходимо исключить искажающее влияние инженерно-геологических (грунты, воды и т. д.), орографических и других условий каждого населенного пункта, а также типов сооружений.

Другими словами, следует значения интенсивности землетрясения во всех пунктах, отнесенные к первому этажу определенной категории зданий, привести к единым грунтовым и орографическим условиям. И только после этого полученную картину распределения сейсмического эффекта можно считать как отображающую главным образом геологическое строение сотрясенной области („рентгенограмма“ строения).

Изучаемая область характеризуется сравнительно однообразным инженерно-геологическим и орографическим условиями. В связи с этим определенные значения сейсмического балла каждого обследованного пункта особых изменений почти не претерпели.

Для землетрясения № 2 и № 3 проведены более или менее очертанные изосейсты, которые имеют примерно одинаковые формы. Поэтому на рис. 1 для иллюстрации характера распространения сейсмического эффекта в Нижне-Куринской впадине приводятся изосейсты землетрясения 1965 г.

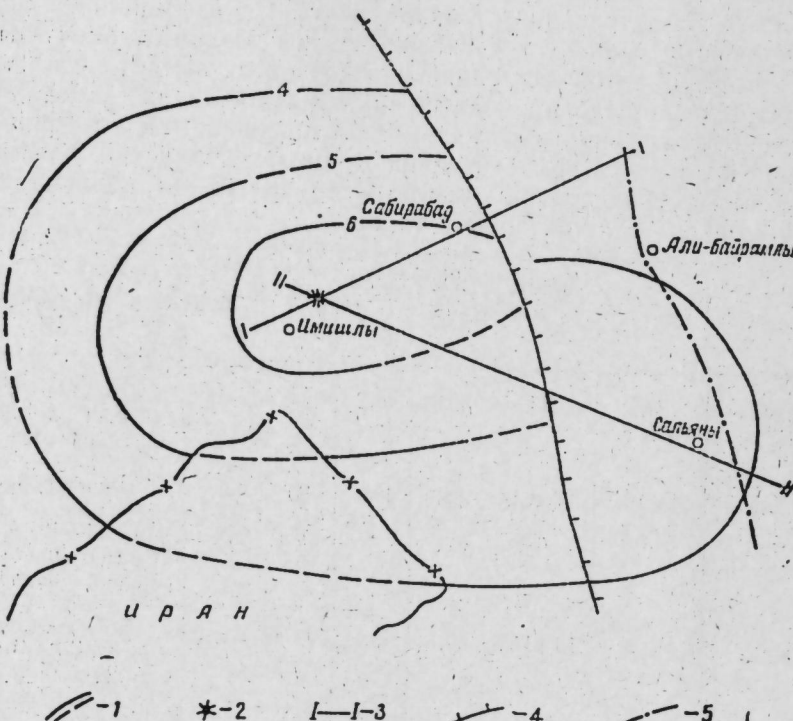


Рис. 1. Схема изосейст Имишлинского землетрясения 1965 г.: 1—изосейсты; 2—эпицентр; 3—профиль; 4—Лагич-Кызылагачский глубинный разлом; 5—разрывное нарушение с амплитудой до 1000 м.

Из формы изосейст землетрясений 1964 и 1965 г. г. (рис. 1.) видно, что известный в литературе глубинный Лагич-Кызылагачский разлом [6] по своему простианию неодинаково экранировал энергию землетрясений.

Факт обнаружения разлома достаточно наглядно виден на графиках изменения интенсивности (рис. 2) на профиле по резкому спаду

балльности на участке  $P_1$  соответствующем зоне названного разлома. Здесь же наблюдаются повышенные значения коэффициентов затухания интенсивности землетрясений, вычисленные по общепринятой формуле: [7]:

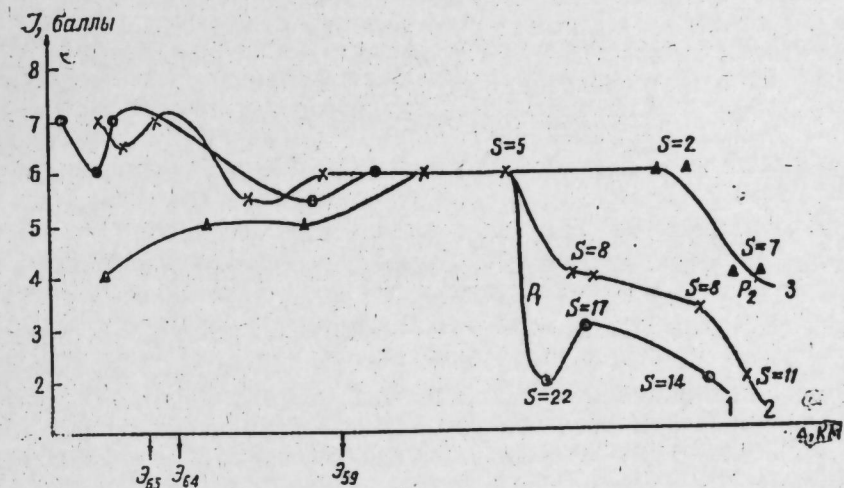


Рис. 2. Графики изменения интенсивности землетрясений с расстоянием: 1—график по профилю 1-1 для землетрясения 1965 г.; 2—то же для землетрясения 1964 г.; 3—то же для землетрясения 1959 г.; Э<sub>59</sub>, Э<sub>64</sub> и Э<sub>65</sub>—эпицентры их; S—коэффициент затухания интенсивности землетрясений.

$$S = \frac{J_0 - J_1}{\lg V \left( \frac{\Delta}{h} \right)^2 + 1},$$

где  $J_0$  — максимальный балл;  $J_1$  — балл на эпицентральном расстоянии  $\Delta$  и  $h$  — глубина очага.

Для определения пространственного расположения разлома были построены схемы-разрезы (как показано на рис. 3), которые изучались в совокупности с упомянутыми графиками и коэффициентами.

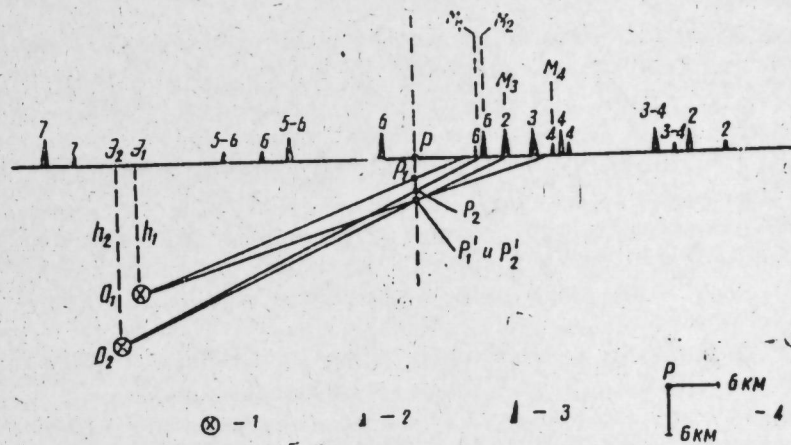


Рис. 3. Схема определения глубины заложения начала погребенного разлома: 1—очаг землетрясения; 2, 3—пункты с характеристикой балльности; Р—проекция по данным землетрясения 1964 и 1965 гг. соответственно;  $h$ —глубина разлома.

На рис. 3 приводится схема-разрез вдоль профиля I—I (рис. 1) с данными землетрясений 1964 и 1965 гг.

Точки на графиках (рис. 2) соответствуют трехугольничкам (пункты) вдоль дневной поверхности на схеме.

С целью анализа аномального участка ( $M_1-M_4$ ), каждый очаг ( $O_1$  и  $O_2$ ) соединен лучами с пунктами  $M_1$  и  $M_4$ ,  $M_2$  и  $M_3$  соответственно для землетрясений 1964 и 1965 гг.,  $P$ —обозначена проекция, заведомо известного погребенного разлома.

Из подобия трехугольников  $O_2 \mathcal{E}_2 M_2$  и  $P P_2 M_2$

$$\text{следует } \frac{O_2 \mathcal{E}_2}{\mathcal{E}_2 M_2} = \frac{P_2 P}{P M_2},$$

$$\text{где } O_2 \mathcal{E}_2 = h_1 = 35 \text{ км}$$

$\mathcal{E}_2 M_2$ —расстояние от эпицентра до пункта.

$M_2 - \Delta_2$  (4 км) и  $P M_2$ —расстояние от разлома до  $M_2$  вдоль профиля (8,0 км). Отсюда  $P_2 P = \frac{h_2}{\Delta_2} \cdot 8,0 = 6,2 \text{ км}$ .  $P_2 P$ —определя-

ет глубину проникновения сейсмического луча от очага  $O_2$  до пункта  $M_2$  (для простоты расчетов кривизной сейсмических лучей пренебрегаем). В точке  $M_2$  аномальный спад балльности не наблюдается (рис. 3).

Следовательно, начало разлома залегает глубже 6,2 км. Из подобия треугольников  $O_2 \mathcal{E}_2 M_3$  и  $P P_2 M_3$  следует  $\frac{O_2 \mathcal{E}_2}{\mathcal{E}_2 M_3} = \frac{P_2 P}{P M_3}$ ,

$$\text{или } P_2 P = \frac{h_2}{\Delta_3} \cdot P M_3;$$

где  $\mathcal{E}_2 M_3$ —эпицентральное расстояние до  $M_3$  (46 км) и  $P M_3$ —10 км. Отсюда  $P_2 P = 7,6 \text{ км}$ .  $P_2 P$ —определяет глубину проникновения луча  $O_2 M_3$ .

В точке  $M_3$  наблюдается резкое изменение интенсивности от 6 баллов в соседней точке на расстоянии 4 км до двух.

То же самое характеризует изменение коэффициента затухания интенсивности от 5 до 22.

Следовательно, начало разлома залегает выше 7,6 км. Аналогично из подобия треугольников  $O_1 \mathcal{E}_1 M_1$  и  $P P_1 M_1$ , а также  $O_1 \mathcal{E}_1 M_4$  и  $P P_1 M_4$  получаем, что начало разлома залегает глубже 4,5 км, но выше 8 км.

Таким образом начало разлома  $P_n$  залегает в интервале глубин: 6,2 км  $< P_n < 7,6 \text{ км}$ .

За глубину начала разлома принято среднее значение найденного интервала—6,9 км. По данным ГСЗ на этом участке глубина заложения начала разлома, выявленного по сейсмическим критериям [8, 9], составляет около 7 км.

По макроданным можно определить и глубину проникновения разлома построениями, подобными изложенным выше.

Однако по данным имеющихся землетрясений сделать это невозможно, так как глубины очагов (25 и 35 км) примерно одного порядка с глубиной проникновения изучаемого разлома (по данным ГСЗ около 32 км).

В правой части графиков (рис. 2) ( $P_2$ ) для землетрясений 1959 и

1964 гг. обнаруживается влияние другого известного тектонического разрыва с амплитудой до 1000 м [6]. Он отстоит от первого восточнее на расстоянии около 30 км, примерно параллельно ему. Резкому спаду интенсивности в его зоне соответствуют повышенные значения коэффициентов затухания—от 2 до 7 по данным землетрясения 1959 г. и от 8 до 11—1964 г.

Учитывая то, что ошибка при определении среднего балла по действующей сейсмической шкале ГОСТ 62.9—52 [10] лежит в пределах 0,5 балла, можно резкий спад интенсивности на 0,5—1,0 балла на сравнительно небольших гипоцентрических расстояниях считать также одним из критериев наличия разлома (об этом будут свидетельствовать повышенные значения  $S$ ).

Поэтому наблюдающиеся по данным всех трех землетрясений в левой части графиков еще две зоны повышенного поглощения (коэффициент затухания отличается от соседних пунктов в 3—4 раза) полагаются также обусловленными разломами.

Аналогичные построения и анализ привели к следующим значениям глубин заложения начала и проникновения разломов.

Для первой зоны (справа от эпицентров землетрясений 1964 и 1965 гг.) начало разлома не глубже 7 км и прослеживается до глубины 20 км. Для второй зоны (слева от эпицентров)—разлом начинается с глубины 6 км и прослеживается до глубины 18 км. На графике изменения интенсивности землетрясений 1964 и 1965 гг. наблюдается плавное спадание балльности с расстоянием вдоль профиля II-II и влияние Лагич-Кызылагачского разлома не замечается. Коэффициент затухания лежит в сравнительно узком интервале значений  $S_{cp.} \approx 6-7$ .

Построения и расчеты показывают, что в зоне пересечения разлома с профилем II-II он начинается с глубины более 12—13 км.

В заключении отметим, что точность определения глубин очага, координат эпицентра, балльности в пунктах и т. д. во многом предопределяют точность конечных результатов. В нашем случае она не превышает  $\pm(1-2 \text{ км})$ .

## ЛИТЕРАТУРА

1. Рагимов Ш. С. Изучение разломов в земной коре по макросейсмическим данным. Изв. АН СССР, серия геогр., № 7, 1964.
2. Ананьев И. В. О сейсмическом эффекте близких землетрясений на Восточном Кавказе. Труды Ин-та физики земли АН СССР, № 33 200, 1964.
3. Веденская Н. А. и др. Бюллетень сильных землетрясений СССР за 1959 г. Труды Ин-та физики земли АН СССР, № 22, 189, 1962.
4. Кулиев Ф. Т. и др. Имишлинское землетрясение в ноябре 1964 г. ДАН Азерб. ССР\*, т. XX, № 10, 1967.
5. Кулиев Ф. Т. и др. Имишлинское землетрясение в мае 1965 г. ДАН Азерб. ССР\*, т. XX, № 6, 1967.
6. Тектоническая карта Азербайджанской ССР. М., 1968.
7. Шебалин Н. В. Методы использования инженерно-сейсмогеологических данных при сейсмическом районировании. В кн. «Сейсмическое районирование СССР». М., 1968.
8. Базадзе О. Б. О выявлении и трактовании глубинных разломов в земной коре на профилях ГСЗ в Азербайджане. ДАН Азерб. ССР\*, т. XXIII, № 8, 1967.
9. Раджабов М. М., Базадзе О. Б. Об отражено-дифрагированных волнах, регистрируемых при глубинном сейсмическом зондировании земной коры. Изв. АН СССР, серия «Физика Земли», № 3, 1966.
10. Медведев С. В. Инженерная сейсмология. Стройиздат, 1962.

Ф. Т. Гулиев, И. В. Анавин, О. Б. Бабазадэ

Макросејсмик мә'луматлара әсасын Іер габығында  
чатларын өјрәнилмәси мәсәләсүнә даир

ХУЛАСӘ

Мәгаләдә Ашағы Күр чөкәклийндә зәлзәлә тезлијинин (интенсивијинин) еписентрдән олан мәсафәдән асылы дәјиши мәсәләсүндән вә зәлзәләрин сөнмә әмсалындан истифадә едилемәси јолу илә чатларын ашқара салынmasы үсулларындан бәһс олунышшудур.

Элдә едилемиш нәтичәләр башга (дәринлик сејсмик зондламасы, қеолокија) мә'луматлара кифајэт гәдәр ујғун кәлир. Бу да тәклиф олунан методиканы макросејсмик мә'луматлар топламыш һәр һансы башга саһә үчүн дә истифадә етмәјә имкан верир.

АЗЭРБАЙЧАН ССР ЕЛМЛӘР АКАДЕМИЈАСЫНЫН МӘ'РҮЗӘЛӘРИ  
ДОКЛАДЫ АКАДЕМИИ НАУК АЗЕРБАЙДЖАНСКОЙ ССР

ТОМ XXV

№ 12

1969

УДК 551. 41

ГЕОЛОГИЯ. НЕФТИ

В. А. ГОРИН

ПОЯСА АЛЛОХТОНОВ И РАЗЛОМЫ  
СКРУЧИВАНИЯ ЗЕМЛИ

(Представлено академиком АН Азербайджанской ССР М. А. Кашиевым)

Исследования рельефа дна океанов, проведенные за последние годы, дали чрезвычайно интересный материал по механизму развития Земли.

Как показывают исследования, механизм формирования нашей планеты представляет собой сочетание пульсационных (вертикальных) движений с горизонтальным смещением отдельных поясов земной коры в результате скручивания северного и южного полушарий относительно большого круга Земли.

На связь глубинных разломов с горизонтальными движениями земной коры уже указывалось нами и другими исследователями [2, 3, 4, 6, 7].

Как вытекает из данных геотектурных и морфоструктурных исследований [1, 2, 5, 7], земная кора в настоящий геологический период является разделенной на ряд материковых глыб, перемещающихся по подкоровому слою с различной скоростью по определенным направлениям в зависимости от координат их положения и тех напряжений, которые возникали в земной коре в предыдущие геологические эпохи.

В относительно более раннюю фазу развития в земной коре образовались меридиональные глубинные разломы, на месте которых впоследствии возникли "Срединные океанические хребты". В последующую фазу тектогенеза вследствие разницы в скоростях вращения северного и южного полушарий образовались спиралевидно опоясывающие весь земной шар широтные сдвиговые разломы (рисунок).

В соответствии с тектоническими движениями по этим разломам "Срединные океанические хребты" были дугообразно изогнуты в северных и южных широтах и в разной степени разорваны и смещены.

Так, например, горизонтальное смещение по отдельным блокам для Срединного Атлантического хребта составляет 3000 км и 700 км — для выделенного нами Арктического-Урало-Срединно-Индийского.

Образование системы меридиональных и широтных разломов скручивания было основной причиной разделения первозданного континента на материки и его расплазания по направлению с юго-запада на северо-восток.

Изучение механизма распознания первозданного континента позволило установить особенности формирования будущих Океанических хребтов во времени и пространстве. Эти особенности определяются прежде всего относительно разными скоростями перемещения земной коры и залегающего под ней подкорового слоя, с которым генетически связаны Срединные океанические хребты.

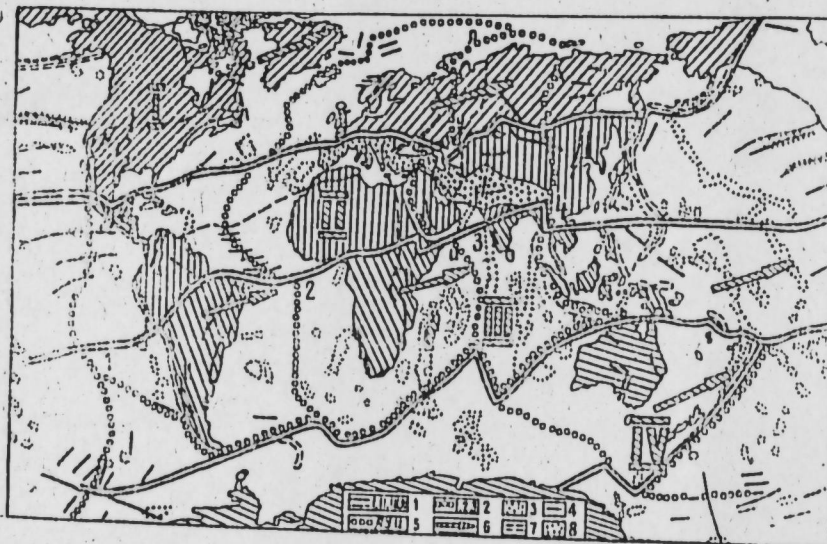


Рис. 1. Схема скручивания Земли:  
1—Субширотные аллохтонные пояса скручивания и нефтегазоносности: I. Северо-Американско-Сибирский; II. Карибско-Средиземноморско-Восточно-Азиатский; III. Южно-Американско-Малайский; IV. Антарктическо-Австралийский;  
2—срединные океанические хребты и субмеридиональные пояса нефтегазоносности: 1—Восточно-Тихоокеанский; 2—Срединный Атлантический; 3—Лено-Байкало-Андаманский; 4—карбиско-Средиземноморско-Гималайская аллохтонно-шарнирная зона; 5—глубинные разломы; 6—АУИ—Северная часть Арктическо-Урало-Срединно-Индийского океанического хребта; 6—направление сдвигов скручивания (стрелки); 7—глубинные желоба; 8—подводные хребты и поднятия.

Пульсация земной коры (планеты), обусловившая неравномерное вращение ее вокруг оси, создает разницу в скоростях движения как первозданного континента—земной коры, так и его (ниже залегающего) подкорового слоя. Все это привело к образованию меридиональных глубинных разломов и впоследствии в этих же местах—Срединных океанических хребтов. Океанические хребты являются лишь инверсионным выражением региональных разломных геосинклиналей.

Строение земной коры здесь, как и следует ожидать, отличается от типичной океанической: мощность ее больше, а под толщей рыхлых осадков залегают слои, отличающиеся повышенными скоростями прохождения сейсмических волн. Все это дает полное основание считать "Срединные океанические хребты" поясами современного горообразования.

"Переходные зоны" от подводных окраин материков к ложу океана являются также геосинклинальными областями—местами интенсивного горообразования. Но эти геосинклинали находятся на более раннем этапе развития по сравнению с "Срединными океаническими хребтами". Их развитие сопровождается также вулканизмом и сильными землетрясениями.

Островные "цепи" и "дуги" с высокими горными вершинами (порообразования суши) обрамляются здесь глубочайшими впадинами—

"глубоководными желобами" с океаническим типом строения земной коры. Эти особенности рассматриваемой зоны как раз и определяют ее переходный характер от континента к океану (например, Алеуто-Филиппинский глубоководный желоб).

Прежде чем перейти к рассмотрению выделенных нами элементов тектоники и геоморфологии дна мирового океана—"широтных сдвиговых разломов скручивания" остановимся на различии механизма формирования "Срединных океанических хребтов" и "переходных зон". Для формирования геосинклиналей "Срединных хребтов" были наиболее благоприятные условия в смысле быстрого приноса осадочного материала и последующей инверсии.

Огромные площади суши, прилегающие к узкой (вначале) полосе разлома (на месте будущего "Срединного океанического хребта") быстро доставляли осадочный материал. Но последующий сравнительно быстрый этап "расхождения" (смещения) континентов уже не создавал аналогичных условий осадконакопления, так как осадки рассеивались на все более и более увеличивающейся в размерах площади новообразующегося дна океана. Такое явление продолжалось до того периода, когда создались предпосылки для формирования нового элемента геоморфологии—"переходных зон" от подводных окраин материков к ложу мирового океана. Лишь тогда, когда движение континентов замедлилось, вдоль их океанических побережий возникли условия для зарождения геосинклинальных депрессий и начал снова интенсивно накапливаться осадочный материал на сравнительно узкой уже "приматериковой" полосе, предопределяя формирование геосинклиналей "переходной зоны".

Этот этап и положил начало еще незакончившемуся в этих местах и в настоящее время этапу горообразования вдоль глубоководных желобов, окаймляющих материки.

В процессе дальнейшего развития, связанныго с вращением Земли, меридиональные хребты\* становятся рубежами последовательного разделения первозданного континента (по направлению с запада на восток) на отдельные блоки-материки, расходящиеся с определенной закономерностью.

Последовательность и направленность непрерывно-прерывистого относительного передвижения на восток в системе "Западный материк—Меридиональный хребет—Восточный континент" с закономерно изменяющейся разницей в скоростях перемещения отдельных частей этой системы—материков и континентов и их подкоровых масс—обуславливают "срединное" положение каждого океанического хребта в завершающую стадию его развития.

Таким же путем происходит формирование и выделенных нами на континенте отрезков—Арктическо-Урало-Срединно-Индийского океанического хребта (Урало-Кавказско-Аравийский пояс разломов) и Лено-Байкало-Андаманского хребта Восточно-Азиатского пояса разломов земной коры.

Например, рифтовая долина озера Байкал служит ярким показателем эмбриональной стадии развития здесь будущего "Срединного океанического хребта" [8].

Расположение упомянутых хребтов на континенте вполне согласуется с природой "Срединных океанических хребтов", механизм формирования которых, как мы упоминали выше, связан с проявлением сил в мантии. Но в континентальных условиях эти элементы регио-

\* Будущие "Срединные Океанические хребты".

нальной тектоники в некоторых местах являются еще погребенными и о их простирации здесь можно судить лишь только по косвенным признакам за земной поверхности или исходя из уже выявленной закономерности размещения на Земном шаре "Срединных океанических хребтов".

Как мы отмечали выше, вследствие неодинаковой скорости замедления вращения земли (вследствие приливного трения) [7] "Океанические хребты" (и их эмбрионы на суше), равно как и сами материками, дугообразно изгибаются с выпуклостью на запад. Это обстоятельство обусловливает различие в морфологии дна, а также и восточных и западных берегов материков, обычно резко очерченных на западе и как бы раздробленных и расползающихся на востоке.

Механизм скручивания северного и в большей степени южного полушарий относительно Срединного "пояса торможения" отчетливо выступает в расположении как Срединного Атлантического и Арктическо-Урало-Срединно-Индийского хребтов, так и Лено-Байкало-Анадаманского, находящегося еще в эмбриональной стадии развития.

Перемещение частей материков по широтным разрывам скручивания Земли подтверждается и геологическим материалом при реконструкции былого простирания (например, в конце герцинской эры тектогенеза) Арктическо-Урало-Срединно-Индийского хребта, вскрывая этим былое пространственное и генетическое единство погружающегося на юг (до Мангышлака) Урала с Ставропольско-Дзириульским (поперечным для Кавказа) выступом, а Эмбенского солянокупольного бассейна—с Приднепровско-Донецким солянокупольным бассейном.

Широтным сдвиговым разломом "пояса скручивания" (протягивающимся через Днепровско-Донецкую впадину, Мангышлак и Устюорт) как Урал, так и северная часть Днепровско-Донецкого бассейна были перемещены на сотни километров на восток вероятнее всего в киммериджское время. В настоящее время южная часть Урала погребена под Мангышлаком, а северная часть Днепровско-Донецкой впадины представляет собой Эмбенский солянокупольный бассейн.

Региональная нефтегазоносность всех перечисленных областей лишь подтверждает их былое генетическое и тектоническое единство.

В равной степени широтным сдвиговым разломом Аденского залива было нарушено единство Срединно-Индийского хребта с рифтовой долиной Красного моря, генетически связанный, в свою очередь, с рифтом Мертвого моря, а следовательно, с погребенными уралидами Малого Кавказа и Ставропольско-Дзириульской глыбой Кавказского перешейка.

Этот вывод находит подтверждение и в исследованиях А. П. Карпинского о связи Черноморско-Каспийского бассейна с водами Арктических и Южных морей, как раз по меридиану Арктическо-Урало-Срединно-Индийского хребта, имея в виду, что этот линеамент является, как мы упоминали выше, лишь инверсионным выражением регионального геосинклинального меридионального прогиба.

В механизме скручивания Земли был сформирован и "Аллохтон-ношариажный Карибско-Средиземноморско-Гималайский складчато-разломный пояс" [6], подтверждающий аллохтонную природу материалов в процессе горизонтального смещения земной коры как важнейшего фактора ее тектонического развития.

Субширотные разломы скручивания Земли и субмеридиональные "срединные океанические хребты" как инверсионное выражение субмеридиональных региональных разломных геосинклиналей сыграли (и

играют в настоящее время) важную роль в радиальной миграции глубинных углеводородов. По пространнию упомянутых субмеридиональных и субширотных разломов расположены пояса и зоны нефтегазо-насыщения во всех стратиграфических горизонтах Земной коры и эти разломы являются определяющими в поисках нефтяных и газовых месторождений земного шара.

#### ЛИТЕРАТУРА

1. Рельеф Земли (морфоструктура и морфоскульптура). Изд. "Наука", 1967.
2. Горин В. А. "Изв. АН Азерб. ССР", № 2 1946.
3. Горин В. А. "ДАН СССР, серия геол." 172, № 4, 1967.
4. Кащакай М. А. "ДАН Азерб. ССР", № 7, 1952.
5. Леонтьев О. К. "Природа", № 8, 1965.
6. Пейве А. В. Тез. докл. на выездной сессии на Кавказе. Изд. "Наук", 1966.
7. Тамразян Г. П. "Природа", № 1, 1964.
8. Флоренсов Н. А. "Природа" № 8, 1967.

Институт геологии

Поступило 21. IX 1968

ЛИТОЛОГИЯ

А. Д. СУЛТАНОВ, Т. К. БАБАЕВА

ОПРЕДЕЛЕНИЕ КОЭФФИЦИЕНТА УПОРЯДОЧЕННОСТИ  
МАЛЫХ ХИМИЧЕСКИХ ЭЛЕМЕНТОВ В НИЖНЕМЕЛОВЫХ  
ОТЛОЖЕНИЯХ ГОБУСТАНО-ШЕМАХИНСКОГО РАЙОНА

В решении таких важных проблем, как приуроченность нефти и других полезных ископаемых к тем или иным комплексам пород, выявление физико-химических свойств отложений и т. д. большую помощь оказывает изучение пород методом спектрального анализа.

В последние годы значительное место уделяется вопросу интерпретации данных спектрального анализа в связи с общими условиями осадконакопления. Распределение элементов увязывается с характером палеобассейна, источниками сноса и геолого-геохимическими условиями осадконакопления.

Для характеристики обстановки мелового бассейна на территории Шемахинско-Гобустанской области нами изучено распределение элементов по литологическому составу пород: песчаники—алевролиты—глины—мергель—известняки.

Использован коэффициент упорядоченности в распределении элементов по литологическому составу.

Коэффициент упорядоченности — это отношение числа элементов, подчиняющихся упорядоченному типу распределения к общему числу рассматриваемых элементов.

К упорядоченному же типу Н. М. Страхов (1959) относит такое распределение элементов по петрографическому составу, при котором у всех элементов содержание растет по мере измельчения размеров кластических зерен.

Для исследования содержания малых элементов в изученных отложениях нами отобраны образцы из разрезов Зорат-Хейбери и Сарыдашчай.

Указанные разрезы исследовались на малые элементы методом количественного спектрального анализа. Съемка спектров производилась на кварцевом спектрографе ИСП-22 средней дисперсии. Ширина щели 0,01 мм. Сеть тока при съемке 14 А. Спектры снимались на фотопластинки, спектральный тип II, чувствительность—0,7 единиц по ГОСТу. Проявление пласгинок производилось в стандартном метол-гидрохиниловом проявителе.

В породах нижнемеловых отложений описываемых разрезов, поми-

мо обычных элементов, как Si, Al, Ca, Na, K, Mg, Fe, установлено наличие, следующих малых химических элементов: барий, титан, ванадий хром, медь, кобальт, никель, марганец, стронций.

Количественные содержания перечисленных элементов изменяются в зависимости от литологического типа пород.

Последние во всех ярусах нижнего мела представлены песками, песчаниками, глинами, алевролитами, мергелями и известняками.

Отложения валанжина изучены только в разрезе Зорат-Хейбери Северного Гобустана. При исследовании распределения малых элементов было установлено, что согласовано ведут себя Ti, V, Ni, Cr, (рис. 1,2,3). Элементы Рl, Cu имеют сглаженную модификацию, т. е. присутствуют в равных количествах в глинах и в карбонатных образованиях.

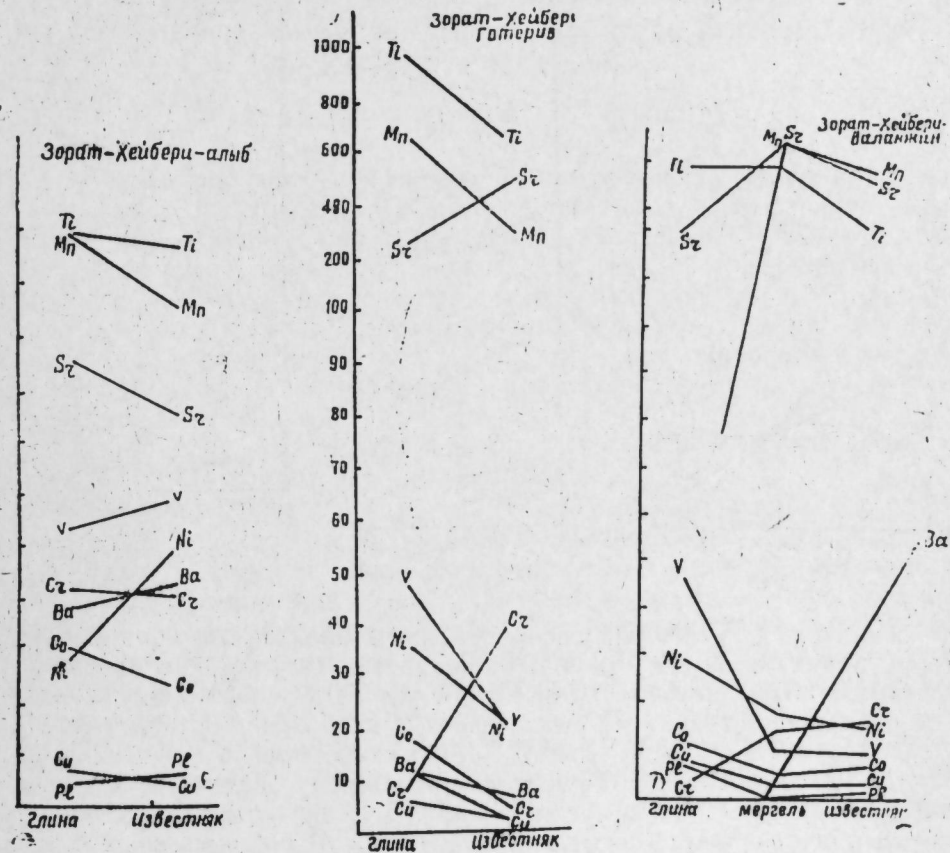


Рис. 1.

Рис. 2.

Рис. 3.

Подобное поведение элементов свидетельствует об интенсивности механического выветривания, близости источников сноса и значительной роли по водосбору химического выветривания, наибольшая концентрация Mn, Sr, Ba, в известняках объясняется кластической природой этих элементов, которые поступали в область сноса с карбонатными минералами в виде стронция и бромита ( $BaCO_3$ ).

Некоторые отложения коэффициента упорядоченности от I в данном случае 0,7 свидетельствуют также о начале некоторого оживления тектонического процесса в области питания, что приводит к оживлению механической денудации.

В отложениях готерива распределение элементов по литологичес-

кому составу глины—мергель—известняк, почти все элементы за исключением Mn, Sr, Ti (рис. 4,5) ведут себя согласованно, коэффициент упорядоченности приближается к 1, что указывает на господство химической денудации на водосборе.

Повышение концентрации Mn, Sr в карбонатных разностях объясняется, как было указано выше, кластической природой этих элементов.

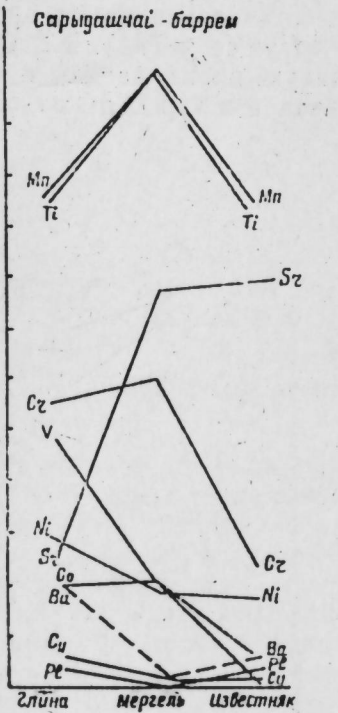


Рис. 4.

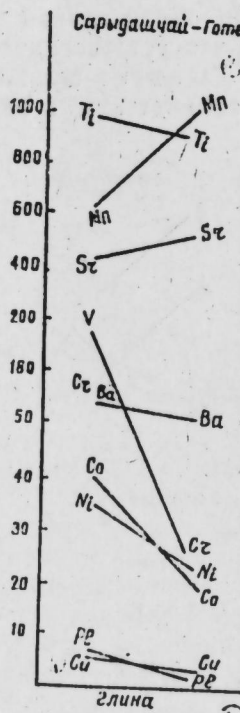


Рис. 5.

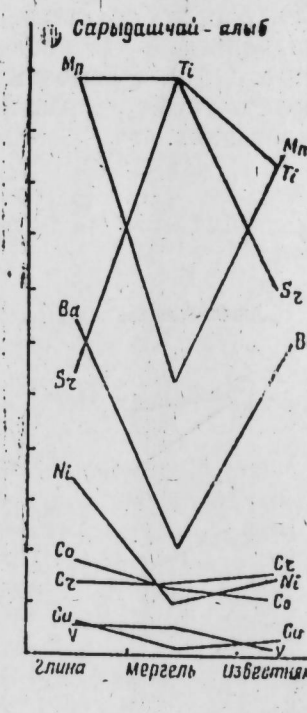


Рис. 6.

В разрезе Сарыдашчай распределение элементов отложений баррем не подчиняется закону упорядоченности. Коэффициент последнего составляет 0,55. Элементы Mn, Sr, Ba, Cz ведут себя не согласованно. Большая концентрация их отмечается в карбонатных образованиях.

Высокое содержание Mn (рис.) в карбонатных образованиях связано, в основном, с относительно грубыми породами (органическо-обломочные известняки). Повышенное содержание Sr в известняках объясняется тем, что оно является постоянным спутником кальция из-за близости ионных радиусов в решетках минералов Ca.

Увеличение содержания Ba в карбонатных разностях объясняется образованием их в прибрежных условиях. Сказанное также подтверждается и низкими значениями коэффициента упорядоченности. Последний может быть свидетелем образования осадков в прибрежных условиях, быстрыми седиментацией и слабой дифференциацией осадков.

Наибольший коэффициент упорядоченности в отложениях антипод отмечается в разрезе Зорат-Хейбери 0,9 в сторону Сарыдашчая последний понижается.

В том же направлении отмечается и понижение соотношения Sr: Ba. Такая же картина наблюдается и в отложениях альба.

Такова примерно характеристика распределения малых элементов в отложениях нижнего мела в районе Сарыдашчая и Зорат-Хейбери.

## ЛИТЕРАТУРА

- Гадиева Т. М. Литология меловых отложений юго-восточного Кавказа. Отчет, 1967 г.
- Катчеков С. М. Малые химические элементы в осадочных породах и в нефтях. Груды ВНИГРИ, вып. 43. 1959.
- Пашалы Н. В. Литология и условия образования четвертичных отложений Западного Азербайджана. Отчет, 1965 г.
- Султанова А. Д. Меловые отложения юго-восточной части Большого Кавказа, 1961.
- Страхов Н. М., Залманзон Э. С. Глаголева М. А. Очерки геохимии верхнепалеозойских отложений гумидного типа. Труды Ин-та геологии, т. 23, 1959.

Институт геологии

Поступило 18. VI 1968

Э. Ч. Султанов, Т. К. Бабаева

Гобустан—Шамахы районунун Алт Тәбашир мәртәбәси чөкүнүләриндә надир тапылалы элементләрни ганунаујғуулуг әмсалынын тә'јин едилмәси

## ХҮЛАСӘ

Тәдгиг олунан районун комплекс чөкүнүләриндә надир вә сәпинти элементләрни өјрәнилмәси сүхурларын чөкмәси просесинин кеокимҗәви шәрантини мүәјјәнләшdirмәјэ имкан верир. Бу мәгсәдлә Гобустан—Шамахы районунун Сарыдашчај вә Зорат Хејбери кәндләриндә Алт Тәбашир чөкүнүләрндән нүмүнәләр көтүрүлмүшдүр.

Мә'лум олдуғу кими, чөкмә сүхурларда надир элементләрни варлығы бір тәрәфдән бу сүхурлары тәшкил едән минераложи тәркибдән, дикәр тәрәфдән исә чөкүнү әмәлә кәлмәси просесинин шәрантиндән асылыдыр.

Тәдгиг едилән сүхур нүмүнәләри там мигдари үсулла спектрал анализ жолу илә тәһлил едилшишdir.

Тәдгигатлар көстәрмишdir ки, өјрәнилән сүхурларда ади элементләрдән Mn, Fe, Si, Na вә Mg, һәмчини Cu, Ti, Ni, Co, надир элементләрдән Lr-үн мигдары олд/гча мұхтәлифdir. Элементләр ганунаујғуулуг әмсалы илә тә'јин олунмушдур ки, бу да һөвзәнин физики-кимҗәви вә сүхурларын чөкмәси шәрантиндән асылыдыр. Бу элементләрни бә'зиси һәмни гануна табе олмур вә ганунаујғуулуг әмсалы 1-ә чатыр ки, бу да кимҗәви деңудасијаны сулу һөвзәдә йүксәклиji илә изал едилir.

Сарыдашчај районунда ганунаујғуулуг әмсалы 0,55-ә ғәдәрdir. Бу, карбонатлы сүхурларын йүксәк концентрасија малик олмасы илә айдынлашдырылыр.

ГЕОХИМИЯ

Э. Т. БАЙРАМАЛИБЕЙЛИ, Т. Н. ГАЛКИНА

**БИТУМЫ И ИХ ИНДИКАТОРНОЕ ЗНАЧЕНИЕ ДЛЯ ПОИСКОВ СКРЫТЫХ КОЛЧЕДАНО-ПОЛИМЕТАЛЛИЧЕСКИХ МЕСТОРОЖДЕНИЙ (НА ПРИМЕРЕ АЗЕРБАЙДЖАНСКОЙ ЧАСТИ ЮЖНОГО СКЛОНА БОЛЬШОГО КАВКАЗА)**

(Представлено академиком АН Азербайджанской ССР А. Д. Султановым)

Вопрос распределения битуминозного вещества на рудных месторождениях — колчеданных [5], полиметаллических [3,4], ртутных [2] привлекает все большее внимание. Поэтому авторами данной статьи в 1964—1967 гг. проводилось изучение распределения битуминозного вещества вrudовмещающих песчано-глинистых породах и рудах Филичайского колчеданно-полиметаллического месторождения с установлением взаимосвязи с процессами оклорудного изменения и генетической связи с элементами первичного ореола рассеяния. С этой целью проводилось люминесцентно-битуминологическое изучение\*\* горных пород, минералов и руд (316 проб), отобранных из керна буровых скважин по разведочным профилям восточного блока месторождения.

Вrudовмещающих породах Филичайского месторождения установлены битумы — легкие, маслянистые, легко-маслянистые и битумы С — смолистые (табл. 1). В массивных медно-пирротиновых и медно-серно-колчеданных рудах тип битума из-за большого содержания серы не установлен. При этом следует отметить, что качественный состав "чистых"rudовмещающих пород характеризуется преобладанием легкого битума, в пиритизированных и окварцованных породах — маслянистого битума, в колчеданно-полиметаллических рудах отмечается присутствие легкого и маслянистого битума. Для характеристики распределения битуминозных веществ в породах песчано-сланцевой свиты аалена за пределами рудного поля (геохимический фон — ГФ) пробы отбирались вкрест простирации литологических разностей пород по опорным разрезам (табл. 2).

Как следует из табл. 2, содержание битума в породах, отобранных

\*Битуминозность пород песчано-сланцевых отложений аалена была установлена авторами в 1960 г. в связи со специальными поисками в пределах южного склона Большого Кавказа.

\*\*Люминесцентно-битуминологический анализ проводился в лаборатории битуминологии АзНИИ ДН под руководством Н. Хацкевич.

Таблица 1

Содержание битума в породах и рудах Филичайского месторождения (по данным люминесцентно-битуминологического анализа 316 проб)

№ группы и проб	Число проб, общее в группу	Место отбора проб	Характеристика проб	Содержание битума, %		Тип битума
				на породу	минимальное	
I	32	Штольная 7 инт. 1,0—94,0 м	Черные, тонкосланцевые глинистые сланцы, местами окелевшиеся с редкими вкрашенниками пирита	0,0001	0,0009	Легкий, маслянистый
II	38	Шт. 7 штр. 1 инт. 1,0—38,0 м	Черные, глинистые сланцы с интегрильными прожилками кварца, пирит-хилькопиритовые руды	0,0004	0,0025	Легкий, маслянистый
III	50	Шт. 7. штр. 1, инт. 20,0—78 м	Глинистые сланцы с полосатым сульфидным оруденением	0,0006	0,005	Не установлен
IV	28	Скв. 41, инт. 60,0—120	Черные, тонкосланцевые глинистые сланцы	0,0001	0,0006	Маслянистый
V	2	Скв. 41, инт. 133—144	Массивная пиритовая руда	—	0,0003	Легкий, маслянистый
—	1	Скв. 41, инт. 165—172	Глинистые сланцы с вкрашенниками и прожилками пирита	—	0,0018	Смолистый
X	6	Скв. 41, инт. 172—231,0 м	Глинистые сланцы сильно окварцованные	0,0012	0,0018	Легкий, маслянистый
VI	21	Скв. 40 50—133	Черные, тонкосланцевые глинистые сланцы	0,0002	0,0009	Легкий, маслянистый
VII	65	Скв. 43, инт. 30—190	Глинистые сланцы, черные, тонкосланцевые	0,0002	0,0012	Легкий, маслянистый
—	1	Скв. 43 195—201	Интенсивно окварцованными глинистые сланцы с вкрашенниками сульфидов	—	0,007	Маслянистый
VIII	6	Скв. 43 240—251	Глинистые сланцы с вкрашенниками сульфидов	—	0,005	Легкий, маслянистый
IX	6	Шт. 11, инт. 5—135	Черные, тонкосланцевые глинистые сланцы	0,0001	0,0012	Легкий, маслянистый
—	1	Шт. 5, инт. 49 м	Массивная колчедано-полиметаллическая руда	—	0,0001	Легкий
X	6	Шт. 5, штр. 1 от 50—27 м	Глинистые сланцы с тонкими прожилками кварца	—	0,0012	Легкий
XI	5	Скв. 38 12,0—75	Песчано-глинистые сланцы с тонкими прожилками руды	—	0,0006	Легкий
XII	2	Скв. 38 70—80	Ожелезненные глинистые сланцы	—	0,0012	Легкий
XIII	8	Шт. 16, инт. 10—50 м	—	0,0009	Не установлен	

Таблица 2  
Содержание битума в породах песчано-сланцевой свиты аалена (ГФ)

Тип пород	Число проб	Содержание битума, %		
		от	до	среднее
Глинистые сланцы	160	0,0001	0,0005	0,0003
Песчаники	40	—	0,0002	0,00015

за пределами рудного поля, незначительно и колеблется от 0,0001 до 0,0005% (глинистые сланцы) и от 0 до 0,0002% (песчаники).

Установление статистических параметров распределения (Сф, Е, СА) битумов вrudовмещающих породах, значительное количество определений предопределило возможность применения статистической обработки результатов люминесцентно-битуминологического анализа путем построения спрямленного графика накопленных частот, применяемого при обработке геохимических данных [6].

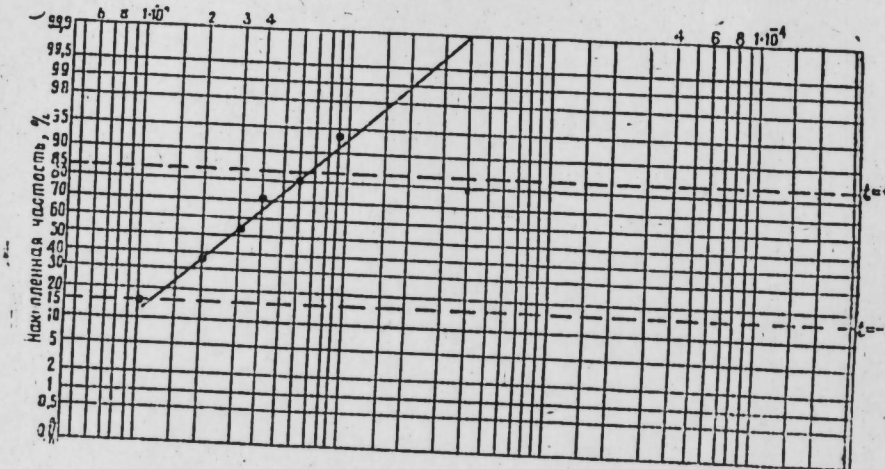


Рис. 1. Диаграмма интегральных частот встречаемости битумов вrudовмещающих породах Филизчайского колчеданно-полиметаллического месторождения (по данным люминесцентно-битуминологического анализа 200 проб).

Построенный прямолинейный график (рис. 1) показал подчинение распределения логнормальному закону — все точки либо попадают на прямую, либо ложатся близ нее при параметрах Сф — 0,00028%, Е — 0,4 и СА — 0,003%. Следовательно, содержание битуминозного вещества в породах песчано-сланцевой свиты аалена за пределами месторождения равнозначно геохимическому фону (ГФ) битумов вrudовмещающих Филизчайское месторождение породах. Непосредственно на месторождении над рудной залежью содержание битумов вrudовмещающих породах, не затронутых гидротермальными процессами, равно или несколько превышает (до 0,0009%) фоновые значения. В то же время максимальные содержания битума ( $C_{\max}$ ) отмечаются в интенсивно окварцованных глинистых сланцах и в сланцах с прожилками и вкралиниками сульфидов. В массивных колчеданных рудах содержание битума колеблется от 0,003 до 0,005%, в колчеданно-полиметаллических — 0,0012%.

Построенные графики (рис. 2,3) распределения битумов вrudовме-

щающих породах и рудах Филизчайского месторождения (шт. 7, штр. 1,2, скв. 43) показали увеличение содержания битумов с интенсивностью проявления процесса сульфидизации (шт. 7 прямой ствол) и максимальное увеличение битумов до 0,005 — 0,006% в массивных колчеданных рудах.

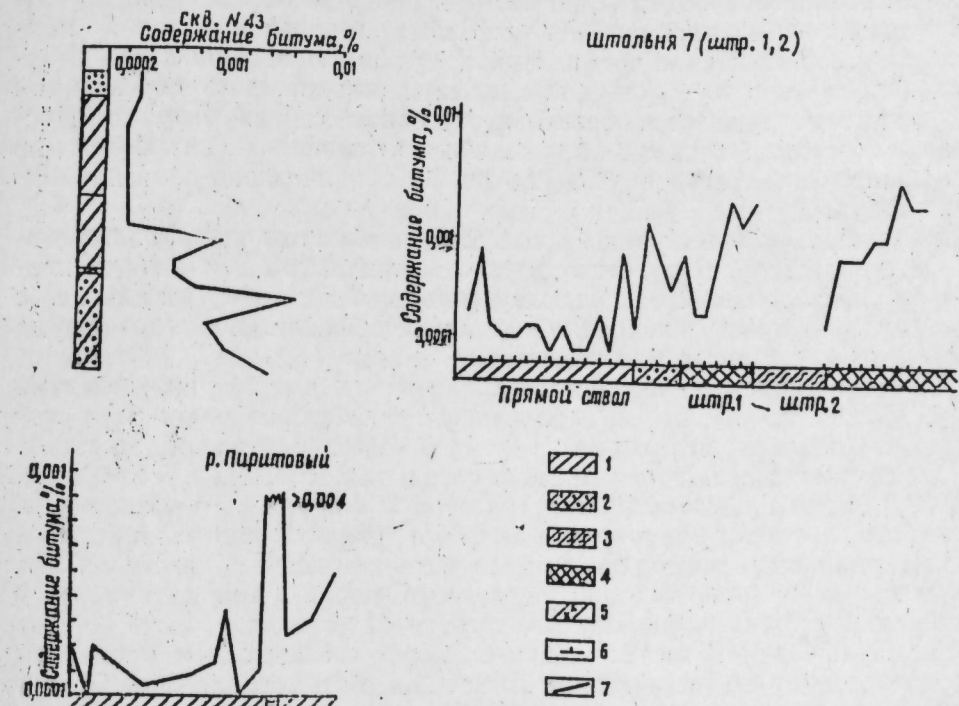


Рис. 2. Распределение битума (%) вrudовмещающих породах и рудах Филизчайского колчеданно-полиметаллического месторождения: 1 — глинистые сланцы; 2 — глинистые сланцы с сульфидной минерализацией; 3 — глинистые сланцы интенсивно-окварцованные; 4 — массивные сульфатные руды; 5 — кварцевая жила; 6 — точка отбора проб; 7 — содержание битума.

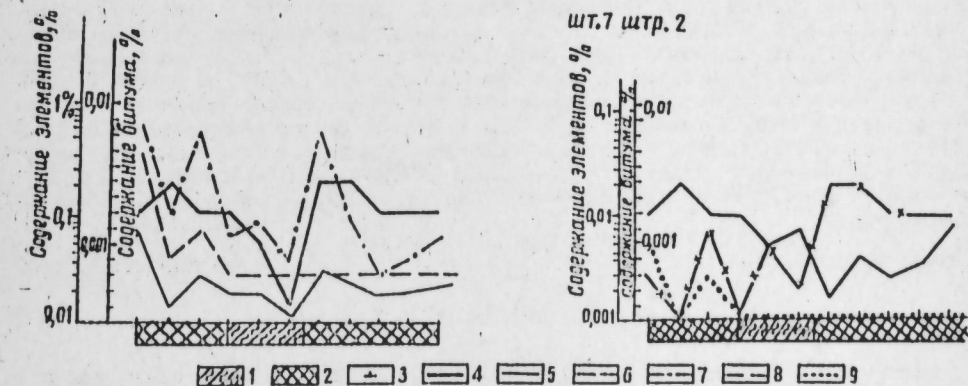


Рис. 3. Распределение содержаний элементов-индикаторов первичного ореола рассеяния и битумов вФилизчайском месторождении: 1 — глинистые сланцы окварцованные; 2 — массивная сульфидная руда; 3 — точки отбора проб; 4 — битум; 5 — Cu; 6 — Pb; 7 — Zn; 8 — Co; 9 — Sn.

Графики распределения содержаний элементов-индикаторов колчеданно-полиметаллических руд — Cu, Pb, Zn, Co, Sn и битумов врудной залежи (рис. 3) показали тождественность характера распределения

битумов и элементов-индикаторов в гидротермальную стадию рудообразовательного процесса — с увеличением содержания элементов-индикаторов увеличивается количество битума и наоборот.

Аналогичное явление устанавливается и для эндогенных ореолов рассеяния.

Незначительное содержание битумов за пределами месторождения, присутствие их в "чистых" неизмененных породах в фоновых концентрациях, повышение содержания битумов с появлением гидротермальных минералов — сульфидов и кварца свидетельствует о наличии на месторождении своеобразного ореола рассеяния битумов. Последнее подтверждается существующей корреляционной связью битумов и элементов-индикаторов ( $\text{Cu}$ ,  $\text{Pb}$ ,  $\text{Zn}$ ,  $\text{Co}$ ) колчеданно-полиметаллических руд.

Изменение количественного содержания битумов дополняется изменением качественного состава: от маслянистого битума А (за пределами месторождения) к легкому битуму А (на месторождении) с присутствием в колчеданно-полиметаллической залежи легкого битума с некоторой примесью маслянистого.

Изучение содержания, состава и характера распределения битума в пределах и за пределами Филичайского месторождения дает возможность сделать некоторые выводы о генезисе этих образований.

1. Битуминозность пород песчано-сланцевых отложений несомненна, причем битумы сингенетичны глинистым сланцевым образованиям. Очевидно, в стадии рудообразовательного процесса под воздействием гидротермальных растворов битумы частично выщелачивались и выносились из вмещающих битуминозных пород, концентрируясь в сульфидных рудах и оклорудноизмененных породах.

2. Данная генетическая связь с рудообразовательным процессом свидетельствует об индикаторном значении битумов для поисков скрытых колчеданно-полиметаллических месторождений в пределах глинисто-сланцевой свиты аалена южного склона Большого Кавказа.

#### ЛИТЕРАТУРА

1. Байрамалибэли Э. Т., Галкина Т. Н. О геохимических поисках по первичным ореолам рассеяния на примере Филичайского медно-полиметаллического месторождения (южный склон Большого Кавказа). Труды КИМС, вып. V (7), 1964.
2. Балицкий В. С. О нахождении битумов в ртутьно-сульфидных месторождениях С—З Кавказа. „Сов. геология“, № 3, 1966. 3. Бочарова Г. И. Битумы в гидротермальных жилах Курултыкенского месторождения. „ДАН СССР“, т. 156, № 3, 1964.
4. Германов А. И. Геохимическое значение органического вещества в гидротермальном процессе. „Геохимия“, № 7, 1965. 5. Флоровская В. Н., Зарайский Г. И., Зеин Р. Б. Кериты и другие соединения углерода Комсомольского месторождения колчеданных руд на Ю. Урале. ДАН СССР, т. 157, № 5, 1964. 6. Мезенин О. К. и др. Статистическая обработка данных геохимических поисков. „Разведка и охрана недр“, 10, 1964.

Институт геологии

Поступило 6. XI 1968

Э. Т. Бајрамәлибәјли, Т. Н. Галкина

Гапалы колчедан-полиметал жатагларынын ахтарышында битумлар  
вә онларынын индикаторларынын әһәмијјәти  
(Бөјүк Гафгазын чәнуб јамачынын Азәрбајҹан һиссәси)

#### ХУЛАСЭ

Филиз јерләшән шист вә гумдашыларындан ибарәт олан сүхурларда вә Филичай колчедан-полиметал жатағы филизинде битум маддәләринин сәпәләнмәсдинин өјрәнилмәси нәтичәсендә јүнкүл (тәмиз шистли гум-

дашылары чөкүнтуләриндә), јағлы (пиритләшиш вә кварслашмыш сүхурларда), јүнкүл вә јағлы (колчедан-полиметал филизинде) битумлар тә'жин едилмишdir.

Луминесант-битумологи анализ нәтичәләринин статистик һесабланмасы нәтичәсендә тә'жин едилмишdir ки, битумларын вә индикаторларын ( $\text{Cu}$ ,  $\text{Pb}$ ,  $\text{Zn}$ ) илк һидротермал сәпәләнмәси логонормал ганунуна табедир.

Битумларын јерләшмә графики филиз сахлајан сүхурларда, колчедан филизинде вә филиздә сульфидләшмә просесинин интенсив тәзәңүрү илә әлагәдар олараг битумларын мигдарынын максимал артмасыны көстәрир.

Филиз әмәләкәлмә просесинин һидротермал мәрһәләсендә, колчедан полиметал филизләшмә просесинде битумларын вә элемент индикаторларын —  $\text{Cu}$ ,  $\text{Pb}$ ,  $\text{Zn}$  сәпәләнмәсендә еңиллик хүсусијәти гејд олунур.

Колчедан-полиметал жатымы үзәринде битумларын өзүнәмәхсүс јаялмасы онларын һидротермләрин тә'сирилә әтраф сүхурлардан ју-јулараг сульфид филизләринде вә филизэтрафы дәјишилмиш сүхурларда җығылмасыны көстәрир.

БИОЛОГИЯ

А. И. МАИЛОВ

НОВЫЙ ПРЕПАРАТ ПО БОРЬБЕ С СОРНИКАМИ  
СЕНОКОСОВ И ПАСТБИЩ

(Представлено академиком АН Азербайджанской ССР Д. М. Гусейновым)

На сенокосах и пастбищах Большого Кавказа Азербайджанской ССР имеются участки в тысячи гектаров с высокотравной растительностью, где во многих случаях их эдификаторами являются сорные виды растений как крапива, орляки, борщевики, короставник, чистец, щавель и многие другие. Среди этих сорных видов много растений с жесткими и грубыми стеблями, ядовитые, вонючие и т. д.

Из-за грубоści стеблей в сезон косьбы заросли высокотравья почти во всех районах республики не скашиваются на сене. Поэтому хозяйствственные организации чаще предпочитают уничтожать их заросли, чтобы данные площади превратились ценные кормовые угодья.

На естественных сенокосах и пастбищах одной из экономически выгодных мер борьбы с сорняками являются химические методы. Однако пестициды-ядохимикаты из гербицидов, инсектицидов, акарицидов, фунгицидов и другие считаются сильными ядами для животных и людей.

1966 г. нами изучены гербицидные свойства аммиачной селитры с водным раствором НРВ\* (нефтяное ростовое вещество) в больших дозах, которые на растения оказывали губительное действие. В малых дозах аммиачная селитра является удобрением, а НРВ — стимулятором роста растений.

Опыты проводились на участках горного послелесного луга Б. Кильязи на высоте 1450 м над ур. моря, в окрестностях сел. Хулуг Кумского района Азербайджанской ССР.

Варианты опытов были заложены на двух смешанных бобово-злаково-разнотравных фитоценозах, где в одних случаях наблюдалось преобладание зарослей крапивы двудомной, а в других — зарослей чистца замечательного.

Опыты проводились в 6-ти вариантах. Препарят изготовлен в соотношении растворов 1 : 1.

1) 5%-ный раствор аммиачной селитры с 20%-ным раствором НРВ;  
2) 10%-ный раствор аммиачной селитры с 20%-ным раствором НРВ;

\* Препарят был предложен академиком АН Азерб. ССР Д. М. Гусейновым.

- 3) 20%-ный раствор аммиачной селитры с 20%-ным раствором НРВ;  
4) 10%-ный раствор аммиачной селитры; 5) 20%-ный раствор НРВ;  
6) вода — контроль.

Каждый вариант опытов был заложен на площади в 500 м<sup>2</sup> в двухкратных повторностях. Опрыскивания препаратом производились в 10 ч утра, после испарения росы с травостоя, из расчета 800 л/га при ясной солнечной погоде с температурой воздуха на уровне травостоя 24° С (12 ч дня). В последующие два дня была такая же погода.

В момент опрыскивания в обеих засорениях большинство растений находилось в стадии вегетации и бутонизации.

Наблюдения за токсичностью и избирательностью препаратов, а также за изменением ботанического состава травостоя проводились с момента опрыскивания до конца вегетации растений.

Во всех вариантах опытов препарат на растения действует пагубно, а 20%-ный раствор НРВ без аммиачной селитры оказывает более слабое действие. Сильный ожог растения получают от 10%-ного раствора аммиачной селитры без НРВ. Однако она наиболее эффективно обжигает растения в смеси с НРВ. Следовательно, НРВ в препарате кроме губительного действия в основном играет пенообразующую роль.

В результате губительного действия препарата сильный ожог получают все нежные части растений (точки роста, верхние участки стеблей, листья и т. д.), которые в дальнейшем отмирают. Поэтому после опрыскивания у растений останавливаются рост и развитие в высоту. Злаки мало реагировали на препарат, т. к. в момент опрыскивания они находились в стадии вегетации и кущения. Вследствие этого их точки роста остались невредимыми, а растения продолжали вегетацию, рост и развитие в высоту. Следовательно, препарат обладает большой избирательной способностью.

В результате действия препарата (10% и более концентрированных растворов аммиачной селитры с 20%-ным раствором НРВ) высокотравные бобово-злаково-разнотравные фитоценозы становятся разнотравно-злаковыми почти без участия бобовых растений, которых первоначально в травостоях и так было очень мало (см. таблицу).

Из таблицы видно, что по сравнению с контролем при однократном опрыскивании количество крапивы в крапивном травостое в среднем уменьшается на 60%, а чистца на чистецовой ассоциации — на 30%. По сравнению с крапивой двудомной чистец замечательный — сильно опущенное растение, поэтому на него препарат слабо действовал. Наоборот, количество злаков на опытных участках в среднем возросло, в крапивных ассоциациях на 48%, а в чистецовых — на 44%.

Из таблицы также видно, что под влиянием различных концентраций препарата максимальный эффект достигнут в варианте с 10%-ной аммиачной селитрой и 20%-ным НРВ, т. к. в этих случаях максимальный урожай травостоя координируется с максимальным процентом участия злаков в травостое, что подтверждает высокие кормовые качества сена. Несмотря на высокий урожай сена контрольных участков и некоторых вариантов опыта 26 июля (в период сенокошения лугов) это почти совершенно непригодно для кормовых целей из-за одревеснения стеблей разнотравных растений. Наоборот, сено опытных участков (особенно в опыте 10%-ной аммиачной селитры с 20%-ным НРВ), где больше участают злаки, хорошо пригодно для корма.

Результаты опытов дают возможность сделать следующие выводы:

1. Препарят, изготовленный из смесей концентрированных растворов аммиачной селитры с НРВ, имеет гербицидное свойство в борьбе с сорняками лугов и пастбищ. Им можно уничтожить скопление сорня-

Влияние различных концентраций препарата смеси аммиачной селитры с НРВ на урожай сена и соотношение кормовых групп растений фитоценозов

Варианты опытов	Соотношение кормовых групп растений, %										Средний урожай сена травостоя на 26—VII в 1/га (в период сенокоса)			
	через месяц после опрыскивания (24—V)					через месяц после опрыскивания (24—VI)								
	фракции разнотравья		бобовые		злаки	фракции разнотравья		все разнотравные		злаки				
крапив.	чистец	остальные	крапив.	чистец	злаки	крапив.	чистец	остальные	злаки	чистец	злаки			
20% $\text{NH}_4\text{NO}_3 + 20\%$ НРВ	—	—	—	—	—	8	—	17	25	75	—	32,0		
10% $\text{NH}_4\text{NO}_3 + 20\%$ НРВ	80	—	10	90	8	2	27	—	20	35	65	—	66,3	
5% $\text{NH}_4\text{NO}_3 + 20\%$ НРВ	—	—	—	—	—	—	—	36	63	37	—	78,1		
10% $\text{NH}_4\text{NO}_3$	—	—	—	—	—	—	—	19	79	20	1	80,7		
20% НРВ	—	—	—	—	—	—	—	10	81	19	—	83,2		
Вода—контроль	—	—	—	—	—	75	—	7	82	17	1	87,0		
20% $\text{NH}_4\text{NO}_3 + 20\%$ НРВ	—	—	—	—	—	—	—	12	10	22	78	—	24,1	
10% $\text{NH}_4\text{NO}_3 + 20\%$ НРВ	—	—	52	33	85	14	1	—	18	13	31	69	—	59,0
5% $\text{NH}_4\text{NO}_3 + 20\%$ НРВ	—	—	—	—	—	—	—	33	40	73	27	1	64,8	
10% $\text{NH}_4\text{NO}_3$	—	—	—	—	—	—	—	35	32	67	33	1	68,4	
20% НРВ	—	—	—	—	—	—	—	43	28	71	29	1	70,0	
Вода—контроль	—	—	—	—	—	—	—	48	26	74	25	1	72,0	

ков и других вредных растений лугов и пастбищ и изменить ботанический состав их зарослей.

2. Препарат смеси этих двух растворов ядовит как гербицид, однако из-за легкой растворимости в воде он первым дождем смыкается и попадает в почву, где в малых дозах играет роль удобрения. Поэтому после первого дождя препарат снижает свое ядовитое свойство (токсичность) быстрее, чем гербицид.

3. В горных условиях Б. Кавказа для уничтожения скоплений сорных растений сенокосов и пастбищ наиболее эффективно действует смесь, состоящая из 10%-ного раствора аммиачной селитры с 20%-ным раствором НРВ. НРВ, кроме гербицидного значения, в основном играет пенообразующую роль.

4. Препарат имеет высокую избирательную способность между группами растений бобовых, разнотравных и злаков. К препарату наиболее чувствительны бобовые, меньше — разнотравные и еще меньше — злаки.

5. Под влиянием препарата в течение 20—30 дней значительно изменяется ботанический состав травостоев. При этом наблюдается преобладание злаков. Однако подобное изменение ботанического состава препаратом происходит только в том случае, если в момент опрыскивания в зарослях злаки находятся в стадии вегетации или кущения, т. е. их точки роста закрыты листовыми пластинками.

6. Для более разностороннего и глубокого изучения влияния препарата смеси аммиачной селитры с раствором НРВ против сорняков, ядовитых и др. растений лугов и пастбищ, необходимо вести опыты с различными концентрациями в различных растительных ассоциациях и экологических средах.

Институт ботаники

Поступило 15. XII 1967

Э. И. Маылов

Бичэнэк вэ отлагларын алаг отлары илэ мүбаризээдэ  
жеи препарат

#### ХУЛАСЭ

Мэггалэдэ Азэрбајчан ССР-ийн (Бөјүк Гафгазын) даг чэмэнлэрийдэки алаг отлары илэ кимжэви үсулла апарылмыш мүбаризэ тэчрүбэсиний нэтичэлэри шэрх олунмушдур.

Тэчрүбэ кичиткэн вэ поруг битки ассоциацийна мүхтэлиф концентрасијалы аммониум шорасынын 20%-ли НБМ (нефт бој маддэсн) гарышығы мэһилулларынын тэ'сири илэ апарылмышдыр.

Мэлүм олмушдур ки, Азэрбајчан ССР-ийн (Бөјүк Гафгазын) даг шэрантиндэ концентрасијасы 10%-дэн артыг олан аммониум шорасы илэ 20%-ли НБМ гарышығындан албана препаратлар нербисид хассээж маликдир. Бу препаратла даг чэмэнлэрийдэки алаг от группалы илэ мүбаризэ апармаг мүмкүндүр. Препаратын нербисиддэн үстүнлүүж чилэндикдэн сонра Яраф биринчи Яраф сујууда һэлл олраг торпага нопмасы вэ орада өз зэһэрлилг тэ'сирини итиurmэсидир. Онун торпага нопан зэифлэмиш мэһилуул биткилэр тэрэфиндэн гејри-үзви күбрэ кими истифадэ олунур. Бу препаратда нефт бој маддэсн өлдүрүүч тэ'сириндэн башга, көпүк эмэлэкэтиричи ролуну ојнајыр.

Препарат мүхтэлиф битки группалына мүхтэлиф дэрэчэдэ өлдүрүүч тэ'сир көстэрир. Бу препаратларын тэ'сиринэ пахлалы биткилэр чох, мүхтэлифтул битки группу нүмајэндэлэри бир гэдэр аз, тахылотлуулар исэ чох аз мэ'рүз галыр.

СИСТЕМАТИКА РАСТЕНИЙ

С. А. ЗЕЙНАЛОВА

НОВЫЕ ВИДЫ РОДА *SATUREIA L.* ИЗ АЗЕРБАЙДЖАНА  
SPECIES NOVAE *SATUREIAE L.* IN AZERBAJDZHANIA INVENTAE

(Представлено академиком АН Азербайджанской ССР М. Г. Абуталибовым)

Род *Satureia L.* во Флоре Азербайджана содержит 6 видов [1,2,3]. Целью нашей работы было выявление систематического состава азербайджанских видов этого рода.

В связи с этим в течение 1965—1968 гг. нами были совершены поездки в Лерикский район, Нах. АССР, Нагорный Карабах. Собранный материал (30 экз.) был изучен в Ботаническом Институте АН СССР (г. Ленинград) под руководством А. Г. Борисовой. В результате тщательной обработки выявлены два новых вида *Satureia densiflora Zeinali sp. nova.* и *Satureia borissovae Zeinali sp. nova*, характеристика которых приводится ниже.

*Satureia densiflora Zeinali sp. nova.* Planta annua. Radix tenuis recta subcylindrica, 10—20 см длины. Caules recti tenuis valde ramosi 15—20 (45) см longi. Folia linearia vel lineariblonga, 5—10 mm longa, 1—2 mm lata, utrinque dense alloplosa et glandulosa. Flores in verticillastris axillaribus approximatis inflorescentian densam formantibus quaternioctoni, superiores sessiles inferiores breviter pedicellati; pedicellis 1—3—5 mm longis. Bracteae lineares, dense pilosae, breves (1—2 mm longea), pedicellis breviores. Calyx campanulatus, extus pilosus, glandulosus, 3 mm longus, dentatus, dentibus linearibus ciliatus; quorum tribus 1 mm longis (duplo-triplo tubo brevioribus), duobus 1,5 mm longis (sesqui tubo brevioribus). Corolla 5—6 mm longa, pallide lilacina, pallide galandulosa, extus, caprose pilosa, fauce intus, glaberrimo.

Stamine 4, alla duo labio inferiori aequilonga alla eo breviora. Nuculae orbiculariovatae, pentaedrae, 1,3 mm longae, 0,8 mm latae nigrae, atrostriatae, glabrae. Fl. VI—IX; fr. VII—X. Habitat: in declivibus promontoriorum siccis schistosis et lapidosis, ad rupes 700—800 м. s. m. Typus: Caucasus, distr. Lerikensis, in vicinüs pagi Cala, in declivibus australibus schistosis promontoriorum 28. IX 1966 Zeinalova S. A. legit; in herbario Instituti botanicae Acad. Sci. Azerbajdzhaniae (Baku) conservatur. Affinitas: A. S. laxiflora C. Koch, foliis linearibus vel lineariblongis, 5—10 mm longis, 1—2 mm latulis (nec lanceolatis 10—25 mm longis, 2—4 mm latis), inflorescentia densa e verticillastris approximatis formata

(nec laxa elongata), floribus quaternis octonis, breviter pedicellates; pedicellis 1—5 mm longis (nec singulis binis longe pedicellates, pedicellis 5—15 mm longis), calyce campanula to longe dentato (nec infundibuliformis), corolla 5—6 mm longa (nec 8—10 mm longa) fauce glabra (nec dense pilosa) nucula orbiculariovata, 1,3 mm longa, 0,8 mm lata, (nec oblonga 1 mm longa, 0,5 mm lata) неспон оecologia differt.

*Species jugi Zuvand endemica.*

Однолетнее растение; корень тонкий, прямой, почти цилиндрический, 10—20 см длины. Стебли прямые тонкие, сильно разветвленные 15—20 (45) см длины. Листья линейные или линейнопродолговатые 5—10 мм длины, 1—2 мм шириной с обеих сторон густо волосистые и железнитые.

Цветки по 4—8 в пазушных густых сближенных ложных мутовках, верхние сидячие, нижние на коротких 1—3—5 мм длины, цветоножках образуют густое соцветие. Прилистники линейные, густо опущенные, короткие 2 мм длины, короче цветоножек. Чашечка колокольчатая, снаружи опущенная, железнитая 3 мм длины, с линейными, ресинитчатыми зубцами, из них 3 зубца в 2—3 раза короче трубки, 1 мм длины, 2 зубца в 1,5 раза короче трубки, 1,5 мм длины. Венчик 5—6 мм длины светло-лиловый, железнитый со светлыми железками, снаружи обильно опущенный. Зев внутри совершенно голый. Тычинки две по длине равны нижней губе, две короче.

Орешки округло-яйцевидные, пятногранные, 1,3 мм длины, 0,8 мм шириной. Черные с более темными полосками голые. Местообитание: на сухих, щебнистых и каменистых склонах, скалах. На высоте 700—800 м над ур. моря. Цв. VI—IX. плод. VII—X.

Тип. Кавказ. Лерикский р-н, в окрестности сел. Кала, на горных щебнистых южных склонах предгорий. 28. IX—1966. Соб. С. А. Зейналова. Хранится в Гербарии Института ботаники АН Азерб. ССР (Баку).

Родство. От *S. laxiflora C. Koch.* отличается листьями густо волосистыми и железнитыми с двух сторон, линейными или линейнопродолговатыми 5—10 мм, длины, 1—2 мм шириной (а не ланцетными 10—25 мм дл., 2—4 мм шириной), густым соцветием из сближенных мутовоек (а не рыхлым вытянутым соцветием), цветками по 4—8 в мутовке, на коротких цветоножках 1—5 мм длины (а не по 1—2 цветка в мутовке, на цветоножках 5—15 мм длины), колокольчатой чашечкой и длиной ее зубцов (а не ворончатой), в зеве голым (а не густо опущенным) венчиком 5—6 мм длины (а не 5—10 мм длины); формой и величиной орешка, округло-яйцевидным 1,3 мм длины, 0,8 мм шириной (а не продолговатым 1 мм длины, 0,5 мм шириной). Эндем Зуванд.

*Satureia borissovae Zeinali sp. nova.*

Planta annua. Radix pectoralis, 4—10 см длины. Caulis 8—20 см longus prostratus, parce pilosus. Folia linearia 3—9 mm longa, 1 mm lata, griseolo-viridia, supra sparse longe pilosa et glandulosa, subtus subglabra. Flores in verticillastris axillaribus inflorescentias compactas formantibus, 5—6 mm longi, terniquini, superiores sessiles, inferiores breviter pedicellati, pedicellis 3—5 mm longis.

Bracteae basi calycis sitae, lineares, margine ciliatae, 1—2 mm longae. Calyx infundibuliformis 3 mm longus sparse appresso pilosus, glandulosus (glandulis eis *Satureiae laxiflorae C. Koch.* et *Satureiae densiflorae Zeinali majoribus) dentatus, dentibus lanceolatis subulatis ciliatis, altis duobus tubo longioribus 2 mm longis, aliis tribus tubo sesqui brevioribus 1 mm longis.*

Corolla 5—6 mm longa, pallide lilacina, extus et fauce parce pilosa, ad

3—4 mm e calyce exserta, labio inferiore trilobo superiore bilobo longiore, marginibus aequalibus.  
Stamina 4, alia duo labio superiori aequilinga, alia eo breviora. Nuculae ovatae, 1,1 mm longae, 0,6 mm latae, basi rotundatae, nigrae, nervis tribus obscuris brunnescensibus diuergentibus percursae.  
Floret . . . . .  
Habitatio: In declivibus promontoriorum non arduis arenosis 700—800 m. s. m.

Typus: Caucasus, distr. Lerikensis, in vicinus pagi Kosmoljan, in declivibus australibus arenosis, 18. IX 1966 Zeinalova S. A. legit; in herbario Instituti botanicae Acad. Sci. Azerbaijdzhanae (Baku) conservatur.  
Affinitas: A. S. laxiflora C. Koch. foliis linearibus 3—9 mm longis, ca 1 mm latis (nec lanceolatis 10—25 mm longis, 2—4 mm latis) inflorescentia compacta e verticillastris approximatis formata (nec laxa), floribus ternis-quadratis, breviter pedicellatis, pedicellis 3—5 mm longis (nec singulis-binis, longe pedicellatis, pedicellis 5—15 mm longis), dentibus calycinis longis, corolla 5—6 mm (nec 8—10 mm) longa, nucula ovata (nec oblonga) differt. S. densiflora Zeinal. foliis supra longius pilosis, subtus subglabris (nec utrinque dense pilosis), calyce infundibulliformi (nec campanulato) aliter dentato, amplius glanduloso, corolla extus et in fauce parce pilosa (nec extus et copiose, fauce parce pilosa) neconon nucularum forma et dimensionibus differt.

*Species jugi Zuvand endemica.*

Однолетнее растение. Корень стержневой, 4—10 см длины. Стебель 8—20 см длины, распластанный стелющийся мало опущенный. Листья линейные 3—9 мм длины 1 мм ширины, серовато-зеленые сверху, редко длинно-волосистые и железистые, снизу почти голые. Ложная мутовка цветков расположена в пазухах листьев, образуют плотные соцветия. Цветки 5—6 мм длины, в ложных мутовках по 3—5; верхние цветки сидячие, нижние на коротких цветоножках, 3—5 мм длины. Прицветники расположены у основания чашечки, линейные по краям ресниччатые, 1—2 мм длины. Чашечка ворончатая 3 мм длины с редкими прижатыми волосками, железистая, с железами более крупными, чем у *Satureia laxiflora* C. Koch. и *Satureia densiflora* Zeinal. sp. nova с ланцетными шиловидными ресниччатыми зубцами, из которых 2 зубца длиннее трубки, чашечки 2 мм длины, 3 зубца в 1,5 раза короче трубки, 1 мм длины. Венчик 5—6 мм длины, светло-лиловый, снаружи в зеве скучно опущенный, выставляется на 3—4 мм из чашечки; нижняя трехлопастная губа длиннее верхней двухполостной с ровными краями.

Тычинки 2 по длине равны верхней губе, две короче.

Орешки яйцевидные, 1,1 мм длины, 0,6 мм ширины с округлыми основаниями, черные с тремя более темными коричневатыми расходящимися жилками.

Местообитание. На песчаных пологих ровных склонах предгорий. На высоте 700—800 м над ур. моря. Эндем. Зуванд.

Тип. Кавказ, Лерикский р-н, в окрестности сел. Космолян на песчаных южных склонах. 18. IX 1966. Собр. С. А. Зейналова. Хранится в Гербарии Института ботаники АН Азерб. ССР (Баку).

Родство. От *S. laxiflora* C. Koch. отличается: листьями линейными 3—9 мм длины, около 1 мм ширины (а не ланцетными 10—25 мм длины, 2—4 мм ширины); густым и плотным соцветием из сближенных мутовок (а не рыхлым соцветием), цветками по 3—5 в мутовке, на коротких цветоножках 3—5 мм длины (а не по 1—2 цветка в мутовке, на цветоножках 5—15 мм длины), длиной зубцов чашечки, венчиком 5—6 мм (а не 8—10 мм длины), яйцевидными орешками (а не про-

долговатыми). От *S. densiflora* Zeinal. sp. nova отличается (*S. borissovae* Zeinal. sp. nova) опушением листьев, более длинными волосками, снизу почти голыми (а не густо-волосистыми с двух сторон), ворончатой (а не колокольчатой) чашечкой формой и длиной ее зубцов, с более крупными железами, венчиком снаружи и в зеве скучно опущенным (а не обильно снаружи опущенным, а в зеве скучно опущенным), формой и величиной орешков.

## ЛИТЕРАТУРА

- Гроссгер А. А. Флора Кавказа, т. III, Баку, АзФАН СССР, 1932.
- Флора СССР, т. XXI. Изд-во АН СССР, М.—Л., 1954.
- Флора Азербайджана, т. VII. Изд-во АН Азерб. ССР, 1957.

Институт ботаники

Поступило 23. I 1969

С. Э. Зейналова

Азэрбајҹан флорасының јени мәрзә нөвү һаггында

## ХУЛАСӘ

Мүэллиф тәрәфиндән 1965—1968-чи илләрдә топланылмыш мәрзә нөвләрини ишләјәркән јени ики мәрзә нөвү *Satureia densiflora* Zeinal. sp. nova və *Satureia borissovae* Zeinal. sp. nova мүэлҗән едишлишидир. *Satureia densiflora* Zeinal. sp. nova нөвү *Satureia laxiflora* C. Koch мәрзә нөвүндән јарпағының сыйтүклю вә ja хәтвари-узунсов олмасы (5—10 мм уз., 1—2 мм ен.), тохумунун даирәви—јумуртавары (1,3 мм уз., 0,8 мм ен.) олмасы илә фәргләнир.

*Satureia borissovae* Zeinal. sp. nova нөвү исә *Satureia densiflora* Zeinal. sp. nova мәрзә нөвүндән јарпағының түклю олмасы, чичәк группун сых, чичәкләринин 3—5, саплағының гыса олмасы, касачыг дишчикләринин узун олмасы илә фәргләнир.

*Satureia laxiflora* C. Koch -да исә јарпаглары лайсетвари (10—25 мм уз., 2—4 мм ен.), чичәк группу дағыныг, hәр дәстәдә 1—2 әдәд чичәк олур, чичәк саплағы 5—10 мм уз., касачыгы фываридир. Тачы 8—10 мм уз., тохуму узунсовдур.(1 мм уз., 0,5 мм ен.)

ЕТНОГРАФИЯ

Г. Э. ГЕЙБУЛЛАЈЕВ

АЗӘРБАЙЧАНДА ЕНДОГАМИЈАНЫН МӘНШӘЈИНӘ ДАИР

(Азәрбајҹан ССР ЕА академику Ә. Ә. Әлизадә тәгдим етмишdir)

Дүнjanын эксэр халгларында екзогамија гајdasына әмәл олундуғу һалда, Гафгаз, Орта Асија халгларынын эксәрийјатиндә, о чүмләдән Азәрбајчандың ендогамија гајdasы, јә'ни гоһумларындан евләмә адәти кениш яјылмыштыр<sup>1</sup>. Бунун сәбәби иеники Азәрбајҹан етнографијасында, умумијјэтла етнографија елминдә бу вахта гәдәр аյдынлашдырылыштыр.

Ингилаба гәдәрки рус етнографлары: М. Ковалевски [1], Н. Харузин [2], Џ. Кагаров [3], С. Џ. Волфсон [4], харичи етнографлардан Џ. Вестермарк [5], Џ. Вест [6], Рапп [7], З. Шпикел [8], Џ. Јусти [9], К. Н. Старке [10] вә башгалары ендогам никәһ гајdasынын мәншәјини дүзкүн изаһ етмәмишләр. Онлар гоһумдан евләмә адәтинин сәбәбини бә'зи халгларын „өз гапларынын тәмизлигини сахламаг сә'јиндә“, „бә'зи халгларын егоизминдә“, „зәрдүшт вә ислам динләринин тә'сириндә“ вә „бә'зи халгларын пәракәндә јашамаларында“ вә бу кими амилләрдә көрүрдүләр. Шубһесиз ки, бу нөгтеји-нәзәрләриң һәр бир наисәнин, адәтин мәншәјини халгын ичтиман иниши шафынын мүәјжән мәрхәләсинин хүсусијјэтләриндә, халгын тәсәррүфат һәјатында ахтармаг һаггында тарихи материалист методда әлагәси јохдур.

С. А. Токаревин [11], М. О. Косвенин [12], А. И. Першитсин [13], Д. А. Олдероггенин [14], Х. М. Хашајевин [15], С. Ш. Һачыјеванын [16], Л. И. Лавровун [17] әсәрләrinde бу мәсәләnin бә'зи чәһәтләри нә тохунулса да, бүтүнлүкдә ендогамијанын мәншәјине хүсуси тәдигигат әсәри һәср едилмәмишdir.

Ендогамијанын мәншәјин вә мәнијјетине илк дәфә Ф. Енкелс диггәт ятиришишdir. Енкелс [18] көрә „...ата һүгугу тәтбиг едиләндән соңра варлы вәрәсә гадынын әмлакы әрә кетдији адама, демәли—башга гәбиләје кечә би әдијине көрә бүтүн гәбилә һүгугунун әсасыны сарсытдылар вә гызын әмлакынын өз гәбиләсindә галмасы үчүн онун өз гәбиләси дахилиндә әрә кетмәсini иеники јол вердиләр, һәтта ону белә етмәје мәчбур етдиләр“ (сәh. 25!). Көрүндују кими, бу адәт ата нәсли дөврүндәki иғтисади мұлаһизәләрдән, әмлакын гәбиләдән чыхма-

<sup>1</sup> Сөз јох ки, иници мә'насында ендогамија илә ибтидан ичма гурулушу дөврүндә гәбиләнин екзогам, тајфанин ендогам олмасы һеч бир яхының тәшкүл етмири. Чүники ендогамијанын мұасир анилашы гоһумдан евләмәни нәзәрдә туттугу һалда, тајфа ендогамијасы яланыз тајфа дахилиндә евләмәни нәзәрдә туттурdu. Бир-бириңе гоһум адамлары әнате әдән гәбилә дахилиндә исә никәһа кирмәк гәти гадаған иди.

масыны тә'мин етмәк сә'јиндән ирәли қәлмишdir. Бу методоложи көстәришә әсасланараг ики мәсәләни мүәјжән етмәк лазымдыр: биринчиси, вариатын гоһум группадахилиндә сахламасыны тә'мин едән бу никәһ формасы һансы иди; икничиси, бу гајда һансы айлә формасы дахилиндә мөвчуд ола биләрди.

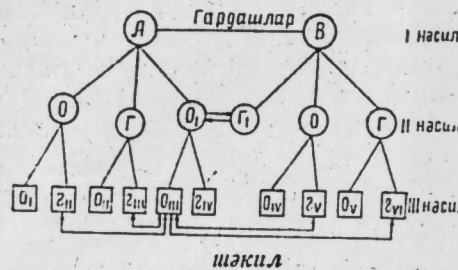
Эввәлән гејд етмәк лазымдыр ки, ендогамија дедикдә умумијјэтлә, гоһумдан евләмә нәзәрдә тутулур. Лакин әмлакын кәнара чыхмамасы үчүн вәрәсә гыз үчүн әр яланыз яхын гоһумлар ичәрисиндә сечилә биләрди. Белә яхын никәһлар исә дәрд формада мүмкүндүр. Әмиофлу илә әмигызы, халаофлу илә халагызы арасында (ортокузени-каһлар) вә дајыофлу илә бибигызы, бибиофлу илә дајыгызы арасында никәһлар (кресскузен никәһлар). Лакин кросскузен никәһлар екзогам гајdasына әмәл әдән халгларда да мүшәнидә олундуғундан онлар ендогамијанын мәншәји үчүн истисна едилмәлиdir. Она көрә ки, гызын мәсәлән, дајысы оғлуна әрә верилмәси илә әмлак башга нәслә—дајысынын мәңсүб олдуғу нәслә кечәрди. Ортокузен никәһлар—әмиофлу илә әмигызынын никәһ формасы исә айчаг ендогам халгларда раст кәлинир вә һәм дә чох кениш яјылмыштыр. Бизә, ендогамијанын мәншәјини мәһз бу никәһ адәтинин мејдана чыхмасына сәбәб олан амилләрдә ахтармаг лазымдыр. Әмиофлу илә әмигызы евләндикдә вәриdat бир гоһум группадахилиндә галыр. Чүники евләнәнләrin бир-бириңе гардаш олан аталары бир гоһум група мәхсус иди.

Инди дә ортокузен никәһынын һансы тарихи айлә формасы дахилиндә мүмкүн олдуғуну нәзәрдән кечирәк. Мә'лумдур ки, тарихән мөвчуд айлә формаларындан яланыз икиси—патриархал вә моногам айләләр хүсүси мүлкијјэтә әсасланаырды вә буна көрә дә тәсәррүфат өзәкләри идиләр. Һәр бир айләнин вәридата малик олмасы вә умумијјэтлә вәрәсәлик һүгугу әввәлчә патриархал айлә формасы үчүн характерик иди. Ф. Енкелс [19] бөյүк патриархал айләләrin мәһз ата нәсли дөврүнә тәсадүф етдијини дәфәләрлә гејд етмишdi (сәh 212—214). Әмлакын парчаланмамасы үчүн гызлары өз әмиси оғланларына әрә вермәк лүзуму да бир нечә гардашын вә онун айләләрини әнате едән бөйүк айләләрдә мејдана чыхмашы. Онда, чөнзү вә кәнардан гыз кәтириләчәји тәгдирдә вериләчәк башлыг формасында вәридатын мүәјжән һиссәси һәмин бөйүк айләдә вә ја бир гоһум группадахилиндә галырды.

Жухарыда гејд етдијләrimiz Азәрбајҹан материаллары илә тәсдиғ олунмушдуur. Бөйүк патриархал айләләр кечмишдә бүтүн халгларын, о чүмләдән азәрбајчанлыларын да кечмишине хас айлә формасы олмушдур. XIX әсрин ахырларына гәләр Азәрбајҹан гәзаларында 2—3 нәслин нұмајәндәләрини әнате едән вә бә'зән сајы 35—40 нәфәрә чатан бөйүк айләләр галыг һалында сахламашы. Белә айләләrin бә'зиләrinde гызлары һәмин айләнин оғланларына әрә веририләр [20]. Әмиофлу илә әмигызынын никәһа кирмәси адәти азәриләрдә гәдимдән мә'лумдур. Агуен кильсәсиин гәбул етдији гануинамәнин 8-чи бәндиде гоһум илә евләнмәни гадаған елир (21, сәh. 67). Һәмин бәнддән белә нәтичә чыхыр ки, о дөврдә Албацијада гоһумуна евләмә, јә'ни күзен никәһлар кениши яјылдыры үчүн кильсә ону рәсмән гадаған етмәје чалышырды. Бундан әлавә, М. Кағанкатватсинин [22] „Албан тарихи“ндә албан кијазы Варасминин нәвәси Варасын өз әмиси гызы Вартануха евләнидијине көрә кешиш Михайл тәрәфиндән лә'нәтләндирлидији гејд едилмишdir (сәh 255). Ејни илә белә мә'лumatы Дағыстанын Саинар гәбиләси үчүн Товма Арсруни дә вермишdir.

Азәрбајчанын шифаһи халг әдәбијатында, мәсәлән, бајатыларда (23 сәh. 60, 70, 188, 214, 220, 244), нағылларда [24] әмиофлу илә әмигызынын никәһи бәјәнилир вә мүгәддәс һесаб едилir. Кечән әсрин орта-

ларында азәриләрин никәһ формаларындан бәһс едән А. Захаров [25] җазырды: „татарларда (азәриләрдә—Г. Г.) никәһ чох һалларда йаҳын гоһумлар арасында гуруулур, әмигызына евләнир вә гыз мәмнунийјәтлә әмиси оғлуна әрә кедир“ (сәх. 125). Вайид тәсәррүфатын дағылмамасы үчүн бөյүк патриархал айләләр дахилиндә чаванлары евләндирмәк адә-



ти Сасаниләр дәврүндә Иранда вә бә'зи Шәрг өлкәләриндә дә кенишјајымышды [26, 27].

Жұхарыда деңгеләнләрдән белә нәтичәјә кәлмәк олар ки, гоһум групп дахилиндә әмлакын саҳланмасы хатиринә ичра едилән никәһ формасы орто-кузен, бу никәһ формасының ичра едилдији айлә форма-

сы исә бөјүк патриархал аиләолмушдуру

Гејд етмәк лазыымдыр ки, ортоқузен никәһын бир хүсусијјети дәвардыр. Мәсәлә бурасындадыр ки, 3—4 нәслин нұмајәндәләрини әнатә едән бөйүк аиләләрдә иккінчи нәслин нұмајәндәләрін арасында жалныз әмиөғлу илә әмігзы арасындақы никәһ мүмкүндүр. Лакин белә никәһ әсасында гурулмуш аиләнин ушаглары, жәни бөйүк аиләнин үчүнчү нәслинин нұмајәндәләри евләндикдә исә куゼн никәхларын истәнилән формасы мөвчуд олур. Нәзәрі үәһәтдән бу, ашағыдақы схемә белә ифадә едилір (шәкил). Иккінчи нәслин нұмајәндәләри арасындақы никәх ортоқузен никәхдыр ( $O_1 - \Gamma_1$ ). Лакин үчүнчү нәслин нұмајәндәләріндән биринин мәсәлән,  $O_{11}$  — һәм ин нәсилдән олан гызларын бири илә никәхы исә истәнилән форманы верир. Белә ки,  $O_{11}$ -ын  $g_{11}$  вә  $g_{11}$  илә никәхы ортоқузен (она көрә ки,  $O_{11}$  — үчүн  $g_{11}$  әмігзы,  $g_{11}$  исә халагызыдыр),  $g_{11}$  вә  $g_{11}$  илә никәхы кросскузен никәх формаларыдыр (чүнки  $O_{11}$  үчүн  $g_{11}$  бибигызы,  $g_{11}$  исә дајыгызыдыр).

Демәли, күзен никәһлар бир-бири илә сых сурәтдә әлагәдардыр. Ортоказын никәһ формасы күзен никәһларын дикәр формаларыны әмәлә кәтирир вә беләликлә дә бөյүк аилә ендогам група чеврилир.

Патриархал аилә формасы моногам аилә формасы, илә әвәз олундугдан соңра күзен никәhlар арадан галхымыр. Игтисади мұлаһизәләрә көрә белә гоһум никәhlар бир нәслә мәнсуб кичик аиләләр арасында давам етдирилмишdir. Евләнәnlәr бир нәслә, яхуд група мәхсус олдуғуна көрә әмлак һәмин нәсиIdәn кәнара чыхмырды. XIX әсрин орталарына гәдәр Азәрбајчаның бә'зи Јерләринде гыз өз гардашы илә аиләнин әмлакындан бәрабәр паj алмасы, киши варис олмадығда исә мирасын там саһиби олмасы адәти һәлә дә галырды (28, сәh. 54; 29, сәh. 107—108). Она көрә дә гызын өз гоһумларындан биринә әрә кетмәсінә чалышырдылар. Геjd етмәк лазымдыр ки, мирасын гоһум гр, пдан, бир нәсиIdәn кәнара чыхмамасы хатиринә гызын өз әмиси оғлуна әрә верилмәсі адәти һазырда ендогамија гајдасына әмәл едән—Шимали Африка халгларында (сәh. 30), Һиндистанда (сәh. 31), Орта Асијада (сәh. 32) вә башга халгларда да кечмишдә мәвчуд олмушруд.

Тәдгигатлардан ашағыдақы інтичәләр чыхарылмышдыры.

1. Хүсуси мүлкийжетин мејдана чыхмасы вэ ата нэслинин бэргэрар олмасындан соңра, эмлакын башга гоһум группа кечмэмэси үчүн бэ'зи халгларда бөյүк аиләләр дахилиндэ орткузен никайы тэтбиг едилмиш, бунуунла да өкзогамија гајдасы позулмуш вэ өндөгамија тәшәккүл тап-мышдыр.

2. Бөйүк патриархал айлелэр кичик айлеләрә парчаландыглан сон-

ра күзен никандар ахырынчылар арасында ичра едилмишdir. Бунун сәбәбини гызын, өз гардашы илә ата мирасынын бәрабәр пајчысы вә гардашы олмадыгда исә бу мирасын там саһиби олмасында көрмәк лазымдыр.

3. Эмиоғлу илә әмігзызының никәһы әсасында јаранмыш айләннің ушаглары да кәләчәкдә өз гоһумлары илә евләндикдә күзәт никәхлар дикәр формаларда әмәлә қелир вә беләлликлә һәмин группа ендогам группа чеврилир. Бу һал һәм бәлүк, һәм дә кичик айләләр учун анддир.

4. Ендогамијанын мејдана чыхмасы вә јаылмасында етник мұхтәлиф-  
лик, кәндләриң әразиңде дағыныглығы, дил вә хүсусилә дин мұхтәлиф-  
лиji вә башга икинчи дәрәчәли амилләр дә рол ојнамышдыр. Шубә-  
сиз ки, буилар ендогамијанын мәнишәйиндә мұхтәлиф халгларда спе-  
цифик шәрайтдән ирәли кәлән башга амилләрин дә олмасыны инкар-  
етмир.

ЭДЭБИЙЛТ

1. Ковалевский. Родовой быт в настоящем, недавнем и отдаленном прошлом. М., 1905. 2. Н. Харузин. Этнография, вып. II, Семья и род. СПб. 1930; 3. Е. Кагаоров. Пережитки первобытного коммунизма в общественном строе древних греков и германцев, ч. I. М.—Л., 1937; 4. С. Я. Вольфсон. Семья и брак в их историческом развитии. М.—Л., 1937; 5. Е. Вестермарк. История человеческой семьи, М., 1976; 6. E. W. West. Pahlavi texts. II. Oksford; 1882. 7. Rapp. Die Religion und sitte des Perses und ubtigen Frantir nash den grieschen und romischen Quellen. zpmg, XX. 1866; 8. Z. F. Spiegel. Iranische Alterthumskunde, III Lelpzig, 1876; 9. F. Jystl geschichtete irans voden alteste nez iten bis zum Hasgangoler Sasaniden, Ciph, III 1882; 10. К. Н. Старке. Первобытная семья, ее возникновение и развитие. СПб 1901; 11. С. А. Токарев. Ранние формы религии и их развитие. М., 1964; 12. М. О. Косян. Авункулат, СЭ, 1948, № 1; 13. А. И. Першиц. Из истории патриархальных форм брака (Нахва—ортокузенный брак у арабов). КСИЭ, № XXIV. 1955; 14. Д. А. Олдерогге. Из истории семьи и брака, СЭ, 1947, № 1; 15. М. Х. Хашаев. К вопросу о тухумах и сельских общинах и „вольных обществах“ Дагестана в XIX в. Уч. записки Института истории, языка и литературы Дагестана. том III. 1956; 16. С. Ш. Гаджиева К вопросу о тухуме и большой семье у каякентских кумыков КСИЭ, № XIV. 17. Л. И. Лавров. О причинах многоязычия в Дагестане, СЭ, 1950, № 2. 18. Енкелс. Аиләнин, хүсүси мүлкийәтин вә дөвләттүн мәнишәји; К. Маркс вә Ф. Енкелс. Икничилдлик сечилмиш эсәрләри. II чилд, Бакы, 1958; 19. Ф. Енкелс. Көстәрилән эсәри, 20. Г. А. Гейбуллаев. О пережитках большой семьи в Азербайджане, АЭЗ, том II. Баку, 1966; 21. М. Каган и катави. История Агван. СПб, 1865; 22. М. Каган катави. Көстәрилән эсәри. 23. Бајатылар. Бакы, 1956; 24. һәсәи Гаркалы (Азәрбајҹан нағыллары, III чилд, Бакы, 1962), Лә’лии нағылы (Jenä oрада), үч гардаш (Jenä орада), Молтаны гызы (Азәрбајҹан нағыллары, IV чилд, Бакы, 1963) вә башгаллары, 25. А. Захаров. Домашний и социальный быт женщин у закавказских татар, СМОМПК, в. XX. 26. Сулейман и. Семья в Сасанидском государстве. Изв. АН Азобр. ССР, 1962—2; 27. К. А. Иностранцев. Сасанидские этюды. СПб. 1903. Э. Матье. Из истории семьи и рода в древнем Египте. ВДИ, 1954, № 3; А. И. Першиц, көстәрилән эсәри; 28. А. Ф. Гакстгаузен. Закавказский край, ч. I, СПб, 1857; 29. Б. Вениаминов. Селение Салахлу. СМОМПК, вып. I; 30. Д. А. Олдерогге. Көстәрилән эсәри; 31. Ж. Каравов. Көстәрилән эсәри; 32. Н. А. Кисляков. Семья и брак у таджиков. М.—Л., 1959.

## Тарих институту

Г. А. Гейбуллаев

## Об эндогамии в Азербайджане

PE3IOME

В статье затрагивается вопрос происхождения эндогамии, т. е. брак в пределах родственной группы, который также широко распространен как среди азербайджанцев, так и этнических групп. Для выяснения

этого вопроса важны высказывания Ф. Энгельса о том, что после введения отцовского права наследница должна была выходить замуж внутри своего рода в интересах сохранения за последним ее имущества.

По азербайджанским материалам делается вывод, что форма брака, которая обеспечивала сохранение этого имущества, был брак между детьми братьев, а форма семьи, в которой впервые появилась эта форма брака, была большая патриархальная семья.

С разложением больших семей и появлением малых, кузенные браки практиковались между малыми семьями, входящими в одну родственную группу, в силу тех же причин. В XIX в. в пережиточных формах в Азербайджане сохранялся обычай, по которому девушка была равноправным пайщиком отцовского имущества, а при отсутствии мужских наследников—полноправной хозяйкой. Поэтому их выдавали замуж за родственников, в первую очередь за двоюродных братьев.

В происхождении и распространении эндогамии в Азербайджане, определенную, но второстепенную роль играли также этническая пестрота, замкнутый образ жизни, языковые и религиозные, а также другие факторы.

## УКАЗАТЕЛЬ

статьей, опубликованных в «Докладах Академии наук Азербайджанской ССР» в 1969 году

### Математика

Абдуллаев С. К. Некоторые свойства сингулярного оператора в пространстве Орлича, № 3, стр. 7.

Агакишиева С. Я. О к-сплетаемых классах и о компонентах связности графа, № 8, стр. 8.

Акперова О. А.  $m$ -кратная полнота некоторой части множества собственных и присоединенных функций обыкновенного дифференциального оператора 2  $m$ -го порядка с переменными коэффициентами, № 2, стр. 2.

Алиев Р. М., Новрузов Г. Дж. Некоторые теоремы об интегральных неравенствах, № 6, стр. 3.

Алиханова Р. И. О гладкости слабых решений одной краевой задачи для квазилинейного эллиптического уравнения второго порядка с разрывными коэффициентами, № 9, стр. 3.

Ахмедов А. М. О полноте системы собственных и присоединенных элементов вполне непрерывных операторов, рационально зависящих от спектрального параметра в пространстве Банаха, № 4, стр. 3.

Ахмедов Т. К. О нулях частичных сумм рядов Тейлора—Дирихле, № 9, стр. 7.

Ахуидов Д. А., Якубов С. Я. Равномерно корректная задача Коши для абстрактных квазилинейных дифференциальных уравнений первого порядка в банаховом пространстве, № 2, стр. 3.

Бабаев Ахмед. О полноте системы собственных и присоединенных элементов одного класса вполне непрерывных операторов в пространстве Банаха, № 3, стр. 3.

Вагабов А. И. Решение смешанных задач для областей с угловыми линиями, № 1, стр. 3.

Искендеров Б. А. Поведение решений задачи Коши при  $t \rightarrow +\infty$  для уравнений Соболева—Гальперина, № 10, стр. 3.

Максудов Ф. Г. Кратное разложение по собственным функциям дифференциальных операторов с непрерывной частью спектра, № 12, стр. 3.

Махмудов А. П., Мусаев В. М. К теории решений нелинейных интегральных уравнений типа Вольтерра—Урысона, № 5, стр. 3.

Мурадов Р. И., Намазов Г. К. Краевая задача для уравнений смешанного типа с разрывными коэффициентами, № 8, стр. 3.

Мусаев Самандар. Об одной задаче оптимизации систем, описываемых монотонно-рекурсивными функциями, № 11, стр. 3.

Насибов Ф. Г. Об одной экстремальной задаче в классе целых функций конечной степени, № 10, стр. 7.

### Механика

Гусейнов Н. М., Гамрекели С. И. Об одном способе определения скоростей ведомых звеньев пространственных четырехзначных стержневых механизмов, № 8, стр. 15.

## Нефтепромысловая механика

Керимов З. Г., Копейкин М. Г. Исследование крутильных автоколебаний бурильной колонны, № 12, стр. 8.

## Небесная механика

Аразов Т. Г. Движение спутника сфероидальной планеты в случае малых эксцентриситетов и малых наклонностей, № 6, стр. 10.

## Техника

Гусейнова З. И., Керимов Н. А., Джадаров Т. Р. Экспериментальное исследование влияния температуры поступающего воздуха на показатели работы автомобильного карбюраторного двигателя, № 2, стр. 26.

## Вычислительные методы и техника

Азимов Б. А., Гаджибалаев Г. Ш. Численное решение задачи истощения природного газа при плоско-радиальном течении, № 2, стр. 18.

Азимов Б. А., Рагимов Ш. М. Применение метода параметрического программирования к одной задаче перемещения водонефтяного контакта, № 4, стр. 7.

## Энергетика

Гусейнов Ф. Г., Халилов Ч. С., Рахимов Н. Р., Абдуллаев А. Я. Исследование влияния демпферных моментов на динамическую устойчивость энергосистемы, № 7, стр. 6.

Джуварлы Ч. М., Мурадов А. М. Учет влияния шунтирующего сопротивления на отключающую способность выключателя, № 8, стр. 12.

Джуварлы Ч. М., Дмитриев Е. В. О целесообразности использования для сверхдальнних передач несимметричной двухфазной системы, № 6, стр. 15.

Джуварлы Ч. М. Некоторые проблемы эксплуатации развивающихся электрических сетей, № 5, стр. 7.

Джуварлы Ч. М., Нурмамедов Т. А. Вопросы выбора изоляции высоковольтных линий при полевых загрязнениях, № 4, стр. 12.

Джуварлы Ч. М., Вечхайзер Г. В., Штейншрайбер В. Я. К вопросу о зарядке частиц в поле с объемным зарядом при большой их концентрации, № 2, стр. 23.

Джуварлы Ч. М., Вечхайзер Г. В., Горюн Ю. В. Свечение тонких проводов при коронном разряде, № 9, стр. 10.

## Полупроводниковая электроника

Дьяконов В. П., Ализаде Д. Г. Выходной импеданс транзистора при налипании ударной ионизации в коллекторном переходе, № 7, стр. 11.

## Электрохимия

Касимзаде М. С. Исследование электроэнергетической эффективности ацетона, № 11, стр. 21.

## Физика

Алиев Н. А., Магеррамова Ф. Г., Ахмедов Б. А. Рентгенографическое исследование термически упрочненных труб, № 8, стр. 16.

Зульфугарзаде К. Э., Гулиев Л. А., Имаков Л. М. О молекулярном движении в твердом хлорбензоле, № 11, стр. 8.

Керимов З. Г., Копейкин М. Г. Автомодельные задачи продольных колебаний стержней, № 2, стр. 13.

Насиров Я. Н., Нагиев В. Н. Влияние малых замещений германия ртутью на термоэлектрические свойства GeFe, № 1, стр. 7.

Тагиев Б. Г., Гусейнова Э. С. Электропроводность GdFe в сильных электрических полях, № 5, стр. 11.

Эфендиев Г. А., Казинец М. М. Электропографическое исследование кинетики фазового превращения  $\text{CuC} \rightarrow \text{Si}_2\text{-xS}$ , № 3, стр. 12.

## Химия

Агаева Э. А., Курносова Н. П., Шахгельдиев М. А. Передача электронных эффектов заместителя через атом кислорода. ИК- и УФ-спектры алкилфениловых эфиров, № 10, стр. 31.

Алиева Ш. А., Караваев З. Ш., Гамидов Р. С. Выращивание монокристаллов  $\text{VInS}_3$  методом газотранспортной реакции, № 3, стр. 22.

Ашиков М. А., Мурсалова М. А., Канзакели С. Е., Бабаева С. А. Алкилирование бензола широкой фракцией  $\alpha$ -олефинов (30–250°C) продукта крекинга нормальных парафинов трансформаторного масла, № 7, стр. 20.

Гусейнов М. М., Камбарова Т. А., Мехтиева З. К., Джадарова М. Т. Концентрация трихлорэтилена с этилбензолом, № 8, стр. 37.

Исмайлова Р. Г., Алиев С. М., Рзаев Н. К. Алкилирование  $\pi$ - и  $\omega$ -ксиола хлоркеросином в присутствии синтетических алюмосиликатов, № 3, стр. 25.

Исмайлова Р. Г., Алиев С. М., Мамедалиев Г. М., Майстер Э. И. Хроматографические исследования продуктов алкилирования фенола, крезолов олефинами и превращения алкиловых эфиров фенола, № 4, стр. 17.

Исмайлова Р. Г., Мамедов Шамхал, Геворкиян А. Н., Гаджизаде Ф. С., Хыдыров Д. Н. Этерификация нафтеновых кислот непредельными углеводородами, № 5, стр. 16.

Исмайлова Р. Г., Мамедалиев Г. М., Токарев Ю. И., Скамейкина Т. И. Каталитическое алкилирование метаксиола метанолом под давлением, № 11, стр. 17.

Касимов Т. М., Данилова Н. А., Буниятзаде А. А., Даляни М. А. Модификация свойств полиэтилена на хромникельокисных катализаторах, № 6, стр. 22.

Кязимов Э. А. К вопросу о влиянии коэффициента распределения на размещение в газовой хроматографии, № 12, стр. 17.

Лемберанский Р. А., Алиев В. С., Кязимов Ш. К., Эфендиев Р. М. Изучение стабильной активности фосфор-висмут-молибденовых катализаторов на основе корунда, № 2, стр. 38.

Мамедалиев Г. М., Исмайлова Р. Г., Токарев Ю. И. Каталитическое алкилирование толуола метанолом под давлением, № 4, стр. 23.

Мамедалиев Г. М., Исмайлова Р. Г., Токарев Ю. И. Синтез trimethylbenzenolov на основе реакции метаксиола метаном, № 8, стр. 26.

Мамедов З. М., Мехтиев С. Д., Гаджиев Т. А., Мкртычева Э. М. О взаимодействии гидроксилиамина с изопреном в окислительно-восстановительной системе, № 5, стр. 27.

Мамедов А. М., Ахуйдов Т. С., Таиров А. Д. Экспериментальное исследование вязкости ксиолов при высоких давлениях и температурах, № 5, стр. 31.

Мамедов Шамхал, Мамедов Э. Ш., Агаронов А. Б., Раджабова Д. А. Исследование в области эфиров гликолов, № 7, стр. 17.

Мехтиев С. Д., Исмайлова Л. Х., Нариманбеков О. А. Конденсация метилметакрилата с этилмеркаптаном, № 3, стр. 17.

Мехтиев С. И., Даляни М. А., Расулбекова Т. Н., Гусейнов А. Г. Некоторые закономерности окислительного аммонолиза изобутилена, № 3, стр. 37.

Мехтиев С. Д., Мусаев М. Р., Сахновская Е. Б. Синтез арилзамещенных циклогексилицианов, № 8, стр. 40.

Мовсумзаде М. М., Шабанов А. Л., Кязимов А. С., Агаев Ф. Х. Эпоксидирование тетрагидробензойного альдегида, № 10, стр. 27.

Мусаев И. Р., Сулейманова Э. Т., Касумов Л., Миргасанова М. И., Мехтиев С. Д. О конденсации изопрена и пиперилена с окисью мезитила, № 7, стр. 27.

Рапопорт В. О., Гуревич В. Р., Гришкан И. А., Гасанова Х. Г. Исследование реакции полимеризации этилвинилового эфира методом многофакторного эксперимента, № 7, стр. 24.

Садыхзаде С. И., Ашурев Д. А. Окисление непредельных бициклических винилкетонов, № 5, стр. 19.

Пишиамазаде Б. Ф., Гусейнов И. А. Ацилирование циклических олефинов, содержащих электрофильные группы —  $\text{COOC}_2\text{H}_5$  —  $\text{CN}$ , № 5, стр. 24.

## Органическая химия

Алекперова С. А., Азарян Д. Т., Мамедова З. И. Исследование адсорбции из многокомпонентных систем с неполярной средой на бентонитовой глине, № 3, стр. 32.

Исмайлова А. Г., Гусейнов М. М., Джавадов Ф. Э., Мусаева Н. Ф. Взаимодействие циклогексил- $\beta$ -хлорванилкетона с фенолом и нафтолом, № 4, стр. 37.

Мамедов Шамхал, Мамедов Э. Ш., Агаронов А. Б., Усейнова С. В. Синтез и исследование сложных эфиров 1-фенил-2-циклогексоксистана-1, № 4, стр. 33.

Мамедов Шамхал, Хыдыров Д. В., Геворкиян А. Н., Рустамов В. Р., Исмайлова Р. Г. Малоновоэфирный синтез на основе  $\gamma$ -хлорэфиров ароматического ряда, № 1, стр. 10.

Мамедов Шамхал, Хыдыров Д. Н., Геворкиян А. Н., Кутов В. М., Исмайлова Р. Г. Синтез 1,4 ( $\alpha,\alpha'$ -дихлор,  $\alpha,\alpha'$ -диметокси) дипропенилбензола, № 6, стр. 18.

Мовсумзаде М. М., Шабанов А. Л., Керимова Н. Г., Агаев Ф. Х. Конденсация  $\alpha$ -окисей со сложными эфирами органических кислот, № 2, стр. 49.  
Садыхзаде С., Мамедова Л. Г. Синтез и реакции глицид  $\alpha$ -фурфурилового эфира и его производные, № 7, стр. 30.  
Пишиамазаде Б. Ф., Дадашева Т. Г. Синтез сложных виниловых эфиров 2-алкоксиметилциклогексил и 5-метил-2-алкоксиметилциклогексилкарбоновых кислот, № 11, стр. 12.

#### Неорганическая химия

Мамбетов А. А., Набиев М. И. Исследование условий образования, состава и физико-химических свойств висмутовых кислот, образующихся при pH-9,3 и 11,5, № 12, стр. 20.

Мамедов Шамхал, Мамедов Э. Ш., Мустафаев А. М., Сулейманова Ш. А. Синтез алкоксиметиловых и сложных эфиров диэтиленгликоля, № 10, стр. 22.

#### Физическая химия

Агаев А. Б., Джалилов Н. З., Аббасов А. С. Выращивание монокристаллов  $Gd_2Se_3$  методом газотранспортных реакций и исследование некоторых физических свойств, № 10, стр. 11.

Афузова А. О., Рза-заде П. Ф. Изотерма растворимости системы  $CaO-B_2O_3-MgCl_2-H_2O$  при 70°C, № 10, стр. 18.

Гусейнзаде С. М., Сулейманов А. С., Мустафаев Н. М. Рентгеноспектральное исследование валентного состояния хрома в окисно-хромовых катализаторах полимеризации этилена, № 6, стр. 27.

Дадашев Б. А., Алиева С. М., Котов Е. И., Худиев А. Т. Влияние температуры прокаливания на спектры поглощения алюмохромовых катализаторов, № 6, стр. 31.

Зейналов Б. К., Мехтиева Ф. А., Хромушкина Э. И. Синтез амилоксигликоловых эфиров жирных кислот, № 9, стр. 23.

Касумова А. С., Ханимамедов К. М., Алиев А. М. Исследование влияния пропитки раствором пентахлорфенола на основные физико-механические свойства древесины сосны, № 7, стр. 35.

Мамедов Магерам, Гусейнов М. М., Мамедов Н. Н. Синтез перхлораллиловых эфиров глицидола, № 9, стр. 27.

Мехтиев С. Д., Мусаев М. Р., Сахновская Е. Б. Синтез алкилциклических фенолов и их эфиров, № 9, стр. 31.

#### Коллоидная химия

Гуревич В. Р., Сафаралиева Ф. Д., Арутюнова К. М. К вопросу о механической прочности силикатов и алюносиликатов, № 1, стр. 13.

#### Химия нефти

Кулиев А. М., Алиев З. Э., Агаева С. М., Билалов С. Б. Синтез аминометильных производных *p*-метоксифенола, № 2, стр. 43.

#### Химия присадок

Кулиев А. М., Намазов И. И., Гаджиева М. А., Ибрагимова Г. М. Микробиологическое окисление различных фракций дизельных топлив, № 3, стр. 28.

#### Переработка, химия нефти и газа

Мугалинский Ф. Ф., Исмайлова Р. Г., Гухман Л. А., Корнеев М. И. Облагораживание бензинов высокотемпературного риформинга, № 2, стр. 35.

#### Кристаллохимия

Агаев А. М., Абдуллаев Т. К., Мамедов Х. С. Кристаллическая структура тетраакво-дименоэтаноламина-купросульфата  $[Cu(HOCH_2CH_2NH_2)_2(H_2O)_4]O_4$ , № 8, стр. 45.  
Султанов А. Д., Алиев Ф. С. О современных осадках юго-западного Каспия и условиях их формирования, № 8, стр. 49.

#### Геология

Абдуллаев М. Р., Мамедъярова Г. С. К вопросу перспектив нефтегазоносности миоценовых отложений юго-восточного Азербайджана, № 10, стр. 57.  
Алиев А. А., Тер-Карапетян Ж. Н., Шабанов С. Ф. О геотермии месторождения Кюровдаг, № 4, стр. 55.

Ахуидов Ф. А., Гамзаев О. Д. Некоторые новые данные о щелочных габроидах бассейна рр. Тутхун (Кельбаджарский район), № 3, стр. 45.  
Будагов Б. А. Неотектоническое районирование азербайджанской части Большого Кавказа, № 10, стр. 40.

Овнатанов С. Т., Тамразян Г. П. Интенсивность развития Сураханского и Карабахур-Зыхского поднятий в плиоцен-четвертичное время, № 2, стр. 60.

Овнатанов С. Т., Тамразян Г. П. К вопросу палеоструктурного развития Рамана-Сураханы-Карабахур-Зыхской антиклинальной зоны, № 3, стр. 49.

Симханов В. З., Самедов С. С. О гидрогеологических критериях поисков нефтяных, газовых и газоконденсатных месторождений в условиях Северного Дагестана, № 4, стр. 52.

Султанов А. Д., Шейдаева-Кулиева Х. М. О литофацальной и фаунистической характеристики акчагыльских отложений Азербайджана, № 10, стр. 47.

#### Геохимия

Байрамалибейли Э. Т., Галкина Т. Н. Битумы и их индикаторное значение для поисков скрытых колчедано-полиметаллических (на примере Азербайджанской части Большого Кавказа), № 12, стр. 40.

Зульфугарлы Д. И., Абдуллаев З. Б., Зульфугарлы Н. Д., Мадатов М. И. К геохимии марганца в ультрабазитах Малого Кавказа, № 8, стр. 32.

Кашкай М. А., Гаджиев С. М. «Азербайджанская нафтуся» и сравнение ее с «нафтуся» Трусковцев в Украинской ССР, № 4, стр. 48.

Кашкай М. А., Гаджиев С. М. и Салманов М. А. К биогеохимической характеристике минеральных вод северо-восточного склона Большого Кавказа, № 3, стр. 66.

Сулейманов Э. С. Распределение кобальта и никеля в магматических образованиях Кедабека, № 10, стр. 43.

Сулейманов Д. М., Багирова Р. И. Распределение засоленности грунтов Кировабад-Казахского массива с глубиной, № 2, стр. 77.

Султанов А. Д., Эфендиева Э. Н. О некоторых геохимических особенностях малых и редких элементов верхнисюрских отложений юго-восточной части Малого Кавказа, № 4, стр. 42.

#### Геохимия нефти

Мамедов А. М. Геохимическая характеристика углеводородных газов плиоценовых отложений Бакинского архипелага и прилегающих районов, № 3, стр. 55.

#### Петрохимия

Махмудов Х. И. К геохимической характеристике перлитов и обсидианов Кельбаджарского района, № 10, стр. 50.

#### Геофизика

Агамирзоев Р. А., Вейсов А. Б. Лагичское землетрясение 6 декабря 1965 г., № 3, стр. 41.

Гаджиев А. Н., Самедов С. С. Строение и условия формирования мезозойских структур Куринской впадины по новейшим геолого-геофизическим данным, № 6, стр. 107.

Керимов И. Г. К вопросу об определении строения земной коры подстанцией по поляризации сейсмических волн, № 6, стр. 56.

Кулиев Ф. Т., Анаильин И. В., Бабаев О. Б. К вопросу изучения разломов земной коры по макросейсмическим данным, № 12, стр. 25.

#### Геология нефти

Ализаде С. А. Сопоставление среднисюрских отложений Кусаро-Дивичинской наложенной мульды с разрезами соседних регионов, № 6, стр. 46.

Зейналов М. М., Каграманов К. С., Зейналов А. М., Магеррамов Ф. С. Извержение грязевого вулкана Меликчобанлы № 5, стр. 43.

Султанов А. Б., Дадашев Р. М., Мехтиев У. Ш. Характеристика коллектиров свиты VII горизонтов (свита «Перерыва») продуктивной толщи месторождения Сангачалы-море — о. Дуваний — о. Булла, № 7, стр. 54.

Тер-Карапетянц Ж. Н., Шабанов С. Ф. О температурном режиме месторождения Бузовы-Маштаги, № 1, стр. 17.

#### Геология нефти и газа

Мустафаев М. Г. Газы грязевых вулканов Прикаспийско-Кубинской области, № 11, стр. 38.

#### Региональная геология

Али-заде А. А., Рыбина О. И. Сарматские представители *Replidacna* в Азербайджане, № 7, стр. 60.

Али-заде А. А., Рыбина О. И. Еще раз о сарматских представителях *Replidacna* в Азербайджане, № 8, стр. 53.

Аллахвердиев Р. А. О грязевулканических проявлениях на площади Шейтануд (Центральный Кобыстан), № 7, стр. 40.

#### Инженерная геология

Исмайлов Г. А., Багиров Т. У. О зарождении и механике развития оползней Бакинского амфитеатра, № 2, стр. 72.

#### Нефтепромысловая геология

Мехтиев Ш. Ф., Ахундов А. Р., Ворошилов Е. А. К вопросу прогнозирования межпластовых перетоков при искусственном воздействии, № 6, стр. 39.

#### Разработка нефтяных и газовых месторождений

Абасов М. Т., Кулиев А. М., Оруджалиев Ф. Г. Вытеснение газоконденсатной смеси водой при углеводородном режиме, № 10, стр. 35.

#### Гидрогеология

Гаджиев Р. А. Оползни на склонах бакинского амфитеатра и условия строительства, № 9, стр. 35.

Мусаев А. А., Расулов С. О. К вопросу влияния орошения на режим уровня грунтовых вод Ширванской степи, № 2, стр. 69.

#### Стратиграфия

Алиев Х. Ш. и Порошина Л. А. Валанжинский ярус Кешчай-Бегимдагской площади, № 3, стр. 62.

Иманов А. М., Сенцов А. Г. Структурные разновидности пепловых туфов юго-восточной части Малого Кавказа, № 6, стр. 63.

Касимова У. К., Алиева Д. Г. Новые представители миллиолид из юрских отложений Азербайджана, № 5, стр. 39.

Меликов О. Г., Мамедзаде Р. Н., Мехтиев Г. Г. Новые данные по стратиграфии верхнего мела района Молладжалинского рудопроявления, № 9, стр. 52.

Халилов А. Г., Абдулкасумзаде М. Р. О возрасте известняков Талыстан-Диаллинского утеса, № 5, стр. 49.

#### Тектоника

Будагов Б. А. Погребенные структуры и их роль в формировании рельефа западного побережья Каспийского моря, № 7, стр. 44.

Гаджиев Н. Д. О характере проявления новейших тектонических движений в Ленгебиз-Алятской гряде, № 8, стр. 63.

#### Палеотектоника

Махмудов Р. А. О характере геологического развития Бинагады-Чахнагляр-Сулутепинской зоны, № 8, стр. 58.

#### Геотектоника

Горин В. А. Горизонтальные движения земной коры и рельеф дна мирового океана, № 6, стр. 36.

#### Минералогия

Джадаров И. Д., Мамедов Т. С. Фотогониометрическое исследование кристаллов граната из Дашкесанского месторождения, № 7, стр. 49.

#### Литология

Султанов А. Д., Сараджалинская Т. М. Содержание малых элементов в различных литологических типах пород в отложениях южной части Каспийского моря в пределах Азербайджана, № 1, стр. 21.

Султанов А. Д., Бабаева Т. К. Определение коэффициента упорядоченности малых химических элементов в нижнемеловых отложениях Гобустано-Шемахинского района, № 11, стр. 69.

#### Палеонтология

Али-заде А. А., Алекскеров Дж. А. Новые виды апшеронской фауны из апшеронских отложений Азербайджана, № 9, стр. 45.

Алиев Г. А. Новые представители брюхоногих моллюсков из титонских отложений Малого Кавказа, № 2, стр. 63.

Мамедъярова Г. М. К вопросу о происхождении и развитии рода *Arschepolina Andrus*, № 4, стр. 60.

#### Бурение скважин

Шахмалиев Г. М., Коган Р. Н. К вопросу оптимальности режима спуска колонн труб в скважину, № 2, стр. 55.

#### Геотермия

Бедер Б. А. Схема геотермальных вод Средней Азии, № 5, стр. 34.

#### Ботаника

Джавадова Р. К. Морфологические особенности андроцея и гинеции некоторых представителей *leguminosae* флоры Азербайджана, № 11, стр. 47.

Джавадова Р. К. Морфологические особенности венчика некоторых представителей *leguminosae* флоры Азербайджана, № 9, стр. 67.

Новрузов В. С. Предварительные данные о мерах борьбы против эпифитных лишайников, распространенных на плодовых деревьях Куба-Кусарского района, № 6, стр. 68.

#### Палеоботаника

Фаталиев Р. А. Вид *Alnus schmalhausenii* Grub в сарматской флоре центрального Закавказья, № 11, стр. 49.

#### Биология

Майлов А. И. Новый препарат по борьбе с сорняками сенокосов и пастбищ, № 12, стр. 46.

#### Молекулярная биология

Гусейнов Р. Д. Рецепторная специфичность при взаимодействии бактерий групп *Escherichia coli* с «тенями» фага T4, № 7, стр. 72.

Мекшеникова М. И. и Гусейнов Р. Д. Влияние модификаторов в АТФ-АЗЫ и мышечного сокращения на процесс внедрения генетического материала, № 9, стр. 73.

#### Биохимия

Абдуллаев Ф. И. К вопросу изучения содержания сахаров и протеина в листьях сортов винограда Тавриз и Изабелла, № 10, стр. 70.

#### Микробиология

Кулиев А. М., Намазов И. И., Гаджиева М. А., Керимова Я. М. Влияние pH среды на биосинтез белка из парафина трансформаторного масла, № 4, стр. 29.

Селимбекова Д. Д. Противолучевая активность аскорбиновой кислоты, № 6, стр. 78.

## Гидробиология

Абасов З. М. К изучению зообентоса Большого Кызылагачского залива Каспийского моря, № 5, стр. 65.

## Биометрия

Задерман Д. М., Каплан Б. Г. Математическая формализация интуитивных оценок коагулирующей способности крови по биохимическим и тромбоэластографическим показателям с применением анализа по главным компонентам, № 7, стр. 68.

## Агрохимия

Гриценко Е. Н., Литвиненко В. И., Ковалев И. П. Флавониды пикульника ладинникова, № 10, стр. 62.

Гусейнов Д. М., Гасанов М. А. Влияние больших доз минеральных удобрений на урожай хлопчатника, № 8, стр. 67.

Ибрагимов И. А. Экономическая эффективность форм азотных удобрений под хлопчатник, № 7, стр. 77.

Исмайлова Г. М. Влияние минеральных удобрений на урожай и качество озимой пшеницы, № 2, стр. 81.

Мусабеков Э. С., Мугунян В. А. Растворимость фосфатов в зависимости от поглощенных оснований почвы, № 1, стр. 27.

## Агрохимия растений

Джадарова Ф. С., Рзаев Г. А. Влияние удобрений на рост и развитие хлопчатника при различных водоснабжениях, № 4, стр. 73.

## Методика

Марданов А. А. Нож для отбора проб из растущих зон корешка, № 2, стр. 85.

## Генетика

Али-заде М. А., Ахундова Э. М. Изменение содержания ДНК в соматической клетке и хромосоме у полиплоидных форм шелковицы, № 9, стр. 78.

Гасанов Г. Г. и Велиев Ш. Г. Влияние висцеро-механического воздействия на выделение уропептина, № 9, стр. 82.

Микаилов М. А. Биология вегетативного размножения хны, № 4, стр. 76.

Мустафаев А. С. Изучение влияния качества листа экспериментально полученных триполидных форм шелковицы на технологические показатели тутового шелкопряда, № 1, стр. 30.

## Почвоведение

Буяновский Г. А. О содержании щелочноземельных карбонатов в почвах Мугано-Сальянского массива, № 4, стр. 66.

Джадарова И. М. Элементарный состав гуминовых кислот горно-лесных и горно-степных почв южного склона Большого Кавказа, № 3, стр. 71.

Кулиев Ф. С. Основные микроморфологические особенности почв Ленкоранской области, № 3, стр. 80.

## Почвоведение и агрохимия

Гусейнов Р. К., Годжаманов А. Б. Передвижение калия в почве, № 5, стр. 73.

## Лесные почвы

Алиев Г. А., Мирзоев Ш. И. Биологический круговорот зольных элементов некоторых дубовых и грабовых лесов Малого Кавказа, № 1, стр. 33.

## Селекция

Абдуллаев И. К., Тагиев С. Б. Влияние гиббереллина на урожайность и технологические свойства сорта винограда Таваквери, № 8, стр. 72.

Мустафа-заде А. Г., Саркаров Б. А. Новые высокопродуктивные породы тутового шелкопряда «Шеки 1», «Шеки 2», № 5, стр. 65.

Саркисян Я. П. Влияние условий выравнивания на химический состав сортов, форм и гибридов кукурузы, № 6, стр. 59.  
Шихиева Ф. И. Новый сорт груши Лятифа, № 6, стр. 81.

## Физиология и биохимия растений

Кулиев А. А. Ферментативная активность листьев и плодов яблони, № 2, стр. 95.

## Физиология растений

Азизбекова З. С., Гусейнова С. Г. Влияние разнокачественного засоления на содержание сахаров в листьях и корнях хлопчатника, № 11, стр. 43.

Азизбекова З. С., Гусейнова С. Г. Изменение содержания калия и фосфора в листьях и корнях хлопчатника в зависимости от условий питания на разнокачественном засолении, № 7, стр. 64.

Азизбекова З. С., Гусейнова С. Г. Влияние условий питания на сухой вес, содержание белкового азота в различных органах хлопчатника при разнокачественном засолении, № 10, стр. 86.

Зейналов С. А. Новые виды рода из Азербайджана, № 12, стр. 50.

## Морфология растений

Капинос Г. Е. и Гусейнова С. О. О секреции цветка и эмбриологических особенностях *Danae racemosa* Moench, № 5, стр. 53.

## Растениеводство

Мусаев С. Г. О новом для флоры СССР виде овса *Avena* L. № 10, стр. 68.  
Стребкова А. Д., Насачева Е. П. Новые сорта граната в Азербайджане, № 8, стр. 86.

## Систематика растений

Казанфарова В. Г. О распространении подорожника блошиного в Армении, № 4, стр. 70.

Масиев А. М. и Рзаев Г. А. Влияние влажности почвы на водный режим, рост хурмы кавказской и дуба кашталистического, № 3, стр. 77.

## Цитология и эмбриология

Расизаде Г. М. Изучение стерильности пыльцы у семенных и бессемянных сортов винограда, № 3, стр. 74.

Расизаде Г. М. Изучение стерильности зародышевого мешка у семенных и бессемянных сортов винограда, № 9, стр. 85.

## Цитоэмбриология

Гамбарова Р. К. Развитие мужского гаметофита у гиацинта, № 4, стр. 82.

## Энтомология

Абдинбекова А. А. Новые виды браконид (*Hymenoptera, Braconidae*) из фауны Азербайджана, № 6, стр. 72.

Абдинбекова А. А. К познанию браконид (*Hymenoptera, Braconidae*) Ленкоранской зоны Азербайджанской ССР, № 9, стр. 59.

## Гельминтология

Пашаев Г. А. Гельминты сезона и их эпизоотологическое значение в перестово-выростных хозяйствах Азербайджана, № 11, стр. 50.

## Паразитофауна

Медведев Л. Н., Мирзоев Б. Н. Новый вид из рода *Galeruca* Geoffr. (*Chrysomelidae, Colocoptera*) из Азербайджана, № 9, стр. 56.

## Зоология

Микаилов Т. К. Новый вид trematodes у рыб в Азербайджане, № 10, стр. 66.

## Физиология

Алиева М. К. Влияние раздражения костных рецепторов рентгеновскими лучами на морфологический состав периферической крови, № 8, стр. 75.

Караев А. И., Гасанов Г. И. и Назаров И. И. Влияние электрической стимуляции гиппокампа на интероцептивный гликемический рефлекс с желудка, № 2, стр. 90.  
Караев А. И., Беленский Л. И., Гаджиева С. Г. Корреляция интероцептивных гликемических рефлексов и некоторых электрофизиологических показателей при действии этаминал натрия, № 6, стр. 85.

#### Ветеринария

Джабаров Дж. А., Ганиев М. Г., Кулиев А. М., Ширинов Н. М.,  
Мамедов Ф. Н., Байрамова А. Г., Алекскерова Ф. М., Мирзабеков Д. А.  
Изучение действия препарата «46» против подкожного овода крупного рогатого скота,  
№ 6, стр. 92.

#### Медицина

Абдуллаев Д. М., Ашурев Б. М. Некоторые показатели водно-солевого обмена при циррозах печени, № 10, стр. 73.

Аббасов И. Т., Абдуллаев В. М., Алиев К. Г. К вопросу о взаимосвязи между аденомой поджелудочной железы и язвенной болезнью, № 8, стр. 79.

Амирджанов К. А., Алиев Ю. М. О роли метеорологических факторов в заболеваемости скарлатиной в условиях гор. Баку, № 8, стр. 81.

Гусейнова Р. А. Изменение первичного аппарата надпочечников при гипертонической болезни, № 2, стр. 100.

Мустафаев А. Н. Об одном ткацком станке, № 10, стр. 77.

#### Фармакология

Шукюров Д. З. Некоторые данные о лекарственных средствах народной медицины Азербайджана, применяемых при лечении сахарного диабета, № 3, стр. 84.

#### История

Гусейнзаде Али. Почему Ибрагим-Халил-Хан оставил Шушу в 1797 г., № 1, стр. 38.

Самедов В. Ю. Волонтер кубинской революции Н. Г. Мелентьев в бакинском революционном подполье, № 3, стр. 90.

Мамедов Т. М. «Истории» Киракоса Гандзакеци и их отношение к «Истории страны Албанской» Моисея Каланкайтукского, № 9, стр. 96.

#### Археология

Алиев В. Г., Абубуллаев О. А. Новые археологические находки из Нахичевани, № 8, стр. 94.

Гейбуллаев Г. А. Об эндогамии в Азербайджане, № 12, стр. 54.

Джидди Г. А. О глазурованных сосудах со штампами, обнаруженных в окрестностях средневековой Шемахи, № 11, стр. 57.

Исмаилов Г. С. Древнее поселение Шекерджик, № 1, стр. 42.

Нуриев А. Б., Кулиев Н. М. Стеклянный кувшин из Торпагала, № 6, стр. 96.

#### Эпиграфика

Кулиев М. М. Азербайджанские ковры на двух полотнах европейских художников XV века, № 7, стр. 89.

Насирова С., Курдустани А. М. Расшифровка Банловских камней, № 4, стр. 89.

#### Этнография

Джафаров Г. Дж. О форме взаимопомощи и ортаглыг, № 7, стр. 84.

#### История литературы

Алекскерова Т. Рукопись азербайджанского ученого Абдулкерим Эревани Табrizi, № 9, стр. 88.

Джамшидов Ш. А. О рукописи «Шархе-Дибаче-и-Гулистан», № 1, стр. 47.

Каграманов Дж. В. Азербайджанская газель Ахмеда иби-Вейса, № 4, стр. 95.

#### Востоковедение

Рагимов А. Г. Неизвестная рукопись Султана Мухаммеда Нура, № 2, стр. 104.

#### Языкоизнание

Сейдов Мирали. Опыт этимологического анализа слова бунтург//бунтурк, № 8, стр. 91.

#### Философия

Сейдзаде А. А. Зюльфигар Ширвани, № 4, стр. 86.

Сейдзаде А. А. Азербайджанские антиимпериалистические книги 20-х годов XIX в., № 10, стр. 81.

#### Искусство

Якубова Таира. Тематизм как основа развития музыки, № 11, стр. 62.

#### Архитектура

Алиев М. А. Архитектурно-творческая жизнь дореволюционного Баку, № 5, стр. 76.

Гадиров Ф., Мамедзаде К. Айдынбулагская башня, № 7, стр. 81.

#### Экономика

Абдулсалымзаде Г. Я. Об электровооружении дореволюционного Азербайджана, № 9, стр. 92.

Мусаев М. А. Размещение торговых предприятий города Баку в дореволюционный период, № 6, стр. 100.

## МҮНДЭРИЧАТ

### Ријазијјат

Ф. Г. Магсудов. Қәсилемәз спектрә малик олар дифференциал операторларының мәхсүс функцияларына көрә айрылыш . . . . .	3
Нерт-мә'дән механикасы	
З. Ә. Қәримов, М. Г. Қопейкис. Газыма кәмәринин буручу авторәгстәринин тәдгиги . . . . .	8
Қимжа вә технолокија	
Р. Н. Исмайлова, Н. М. Мамедалиев, С. М. Элиев, Ф. Ч. Рзаева, Н. А. Полякова. Маје-пиролиз мәңсулларының тәркибиң дахил олар дојмамыш карбонидроксиларин инициатор иштиракы илә тәэзиг алтында полимерләшмәси . . . . .	14
Физики қимжа	
Е. Ә. Казымов. Газ-хроматографијасында айрылмаја йајылма әмсалының тә'сирі һагында . . . . .	17
Гејри-ұзви қимжа	
Ә. А. Мамбетов, М. И. Набиев. Мүһиттің pH-ы 9,3 вә 11,5 олдуғуда әмәлә қәлән бисмут туршуларының тәркиби вә физики-қимјәви хасселәринин тәдгиги	20
Кеофизика	
Ф. Т. Гулиев, И. В. Ананин, О. Б. Бабазадә. Макросейсмик мәтуматларда әсасән Іер габығында чатларын өңренилмәси мәсәләсинә даир . . . . .	25
Нефт қеолокијасы	
В. А. Горин. Аллохтонлар гуршагы вә јерин дәјишилмә чатлары . . . . .	31
Литолокија	
Ә. Ч. Султанов, Т. Қ. Бабаев. Гобустан—Шамахы рајонунун Алт Табашир мәртәбәсінің чөкүнтуләрнің надир тапылан элементларының ганунаујгуилуг әмсалының тә'жин едилмәси . . . . .	36
Кеокимја	
Ә. Т. Бајрамәлибәйли, Т. Н. Галкина. Гапалы колчедан-полиметал жатагларының ахтарышында битумлар вә онларын индикаторларының әһәмијәти (Бөյүк Гафгазын қанын јамачының Азәрбајҹан һиссәсін) . . . . .	40
Биолокија	
Ә. И. Мајылов. Бичәнәк вә отлагларын алған отлары илә мүбаризәде жени препарат . . . . .	46
Биткиләрин систематикасы	
С. Ә. Зеинарова. Азәрбајҹан флорасының жени мәрәз нөвү һагында . . . . .	50
Етнографија	
Г. Ә. Гейбуллаев. Азәрбајҹанда эндогамияның мәншәјинә даир . . . . .	54

## СОДЕРЖАНИЕ

### Математика

Ф. Г. Максудов. Кратное разложение по собственным функциям дифференциальных операторов с непрерывной частью спектра . . . . .	3
---	---

### Нефтепромысловая механика

З. Г. Қеримов, М. Г. Қопейкис. Исследование крутильных автоколебаний бурильной колонны . . . . .	8
--	---

### Химия и технология

Р. Г. Исмайлов, Г. М. Мамедалиев, С. М. Алиев, Ф. Д. Рзаева, Н. А. Полякова. Полимеризация непредельных соединений жидких продуктов пиролиза в присутствии инициаторов под давлением . . . . .	14
--	----

### Физическая химия

Ә. А. Қязимов. К вопросу о влиянии коэффициента распределения на разделение в газовой хроматографии . . . . .	17
---	----

### Неорганическая химия

А. А. Мамбетов, М. И. Набиев. Исследование условий образования, состава и физико-химических свойств висмутовых кислот, образующихся при pH-9,3 и 11,5 . . . . .	20
---	----

### Геофизика

Ф. Т. Кулиев, И. В. Ананин, О. Б. Бабазаде. К вопросу изучения разломов земной коры по макросейсмическим данным . . . . .	25
---	----

### Геология нефти

В. А. Горин. Пояса аллохтонов и разломы скручивания земли . . . . .	31
---	----

### Литология

А. Д. Султанов, Т. Қ. Бабаева. Определение коэффициента упорядоченности малых химических элементов в нижнемеловых отложениях Гобустано-Шемахинского района . . . . .	36
--	----

### Геохимия

Ә. Т. Бајрамалибейли, Т. Н. Галкина. Битумы и их индикаторное значение для поисков скрытых колчеданно-полиметаллических месторождений (на примере азербайджанской части южного склона Большого Кавказа) . . . . .	40
---	----

### Биология

А. И. Майлова. Новый препарат по борьбе с сорняками сенокосов и пастбищ . . . . .	46
---	----

### Систематика растений

С. А. Зейналова. Новые виды рода <i>Satureja L.</i> из Азербайджана Species novae <i>Satureiae L.</i> in Azerbajdzhania Inventac . . . . .	50
--	----

### Этнография

Г. А. Гейбуллаев. Об эндогамии в Азербайджане . . . . .	54
---	----

Сдано в набор 25/XI 1969 г. Подписано к печати 17/II 1970 г. Формат бумаги  
70×108<sup>1</sup>/<sub>16</sub>. Бум. лист. 2,25. Печ. лист. 6,17. Уч.-изд. лист. 5,3. ФГ 00057. Заказ 706.  
Тираж 1040. Цена 40 коп.

Типография им. Рухуллы Ахундова Государственного Комитета Совета  
Министров Азербайджанской ССР по печати. Баку, Рабочий, проспект, 96.

**40 коп.**

**Индекс**  
**76355**